

4102 U  
4103 U

**TELEVISNÍ  
PŘIJIMAČ**

**O B S A H :**

01	Technické údaje . . . . .	5
02	Návod k obsluze . . . . .	6
03	Blokové schema a činnost přijimače . . . . .	8
04	Rozložení součástek a postup při demontáži . . . . .	9
05	Popis činnosti jednotlivých obvodů . . . . .	11
06	Postup při nastavení obrazu prvky, které se neovládají knoflíky . . . . .	25
07	Postup při vyvažování jednotlivých obvodů . . . . .	26
08	Tabulka naměřených hodnot . . . . .	31
09	Elektrická kontrola jednotlivých obvodů . . . . .	32
10	Příčiny poruch a jejich odstranění . . . . .	33
11	Změny provedené během výroby . . . . .	36
12	Seznam náhradních dílů . . . . .	37
13	Všeobecné pokyny pro výměnu dílů . . . . .	42
14	Rozmístění hlavních dílů . . . . .	43
15	Závěr . . . . .	47

**OBRÁZKY V TEXTU**

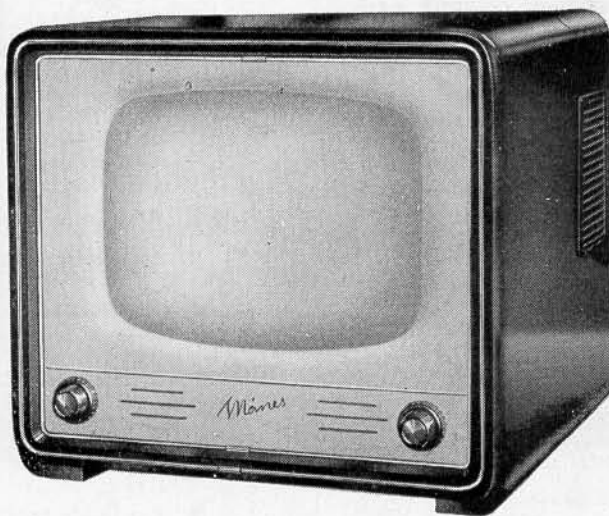
Obr. 1. Pohled na přijimač 4102 U . . . . .	5	Obr. 35. Koncový stupeň rádkového rozkladu . . . . .	21
Obr. 2. Rozmístění elektronek . . . . .	6	Obr. 36. Náhradní schema koncového stupně rádkového rozkladu . . . . .	21
Obr. 3. Rozmístění ovládacích prvků . . . . .	7	Obr. 37. Rozmístění součástí koncového stupně . . . . .	21
Obr. 4. Symetrisační člen 3PN 050 22 . . . . .	7	Obr. 38. Principiální schema koncového stupně rádkového rozkladu . . . . .	22
Obr. 5. Blokové schema televizního přijimače 4102U a 4103U . . . . .	8	Obr. 39. Ideální průběh proudů a napětí ve vodorovných vychyl. cívkách . . . . .	22
Obr. 6. Demontáž a prvky pro seřízení obrazu . . . . .	9	Obr. 40. Skutečný průběhy proudů a napěti v koncovém stupni rádkového rozkladu . . . . .	22
Obr. 7. Rozmístění důležitých částí na chassis . . . . .	10	Obr. 41. Skutečný průběh proudu vychyl. cívkami . . . . .	22
Obr. 8. Chassis částečně vysunuté ze skříně . . . . .	10	Obr. 42. Zakřivení proudového průběhu vlivem reálného odporu vychylovacích cívek . . . . .	22
Obr. 9. Schema vysokofrekvenčního dílu . . . . .	11	Obr. 43. Průběhy proudů a napěti v různých bodech koncového stupně rádkového rozkladu . . . . .	24
Obr. 10. Neutralisace vf dílu . . . . .	11	Obr. 44. Vychylovací jednotka . . . . .	25
Obr. 11. Hrubé doladování oscilátoru po sejmoutí knoflíků . . . . .	12	Obr. 45. Vychylovací cívky vysunuty z krytu . . . . .	25
Obr. 12. Vyjmutý vysokofrekvenční díl . . . . .	13	Obr. 46. Kmitočtová charakteristika pásmového filtru pro druhý kanál . . . . .	26
Obr. 13. Rozložený vf díl . . . . .	13	Obr. 47. Kmitočtová charakteristika pásmového filtru pro třetí kanál . . . . .	26
Obr. 14. Zjednodušené schema poměrového detektoru . . . . .	14	Obr. 48. Zapojení přístrojů při snímání kmitočtové charakteristiky rozmitačem . . . . .	27
Obr. 15. Obvod diody poměrového detektoru d1 . . . . .	15	Obr. 49. Odporný symetr. člen . . . . .	27
Obr. 16. Obvod diody poměrového detektoru d2 . . . . .	15	Obr. 50. Kmitočtová charakteristika vf dílu pro druhý kanál . . . . .	28
Obr. 17. Vektorový diagram napětí poměrového detektoru při nosné vlně bez modulace . . . . .	15	Obr. 51. Cívky oscilátoru a pásmového filtru na držáku . . . . .	28
Obr. 18. Vektorový diagram napětí poměrového detektoru při kmitočtu vyšším než resonanční . . . . .	15	Obr. 52. Kmitočtová charakteristika vf dílu pro třetí kanál . . . . .	28
Obr. 19. Vektorový diagram napětí poměrového detektoru při kmitočtu nižším než resonanční . . . . .	15	Obr. 53. Umístění vstupních cívek na držáku . . . . .	28
Obr. 20. Princip detekce kmitočtově modulovaného signálu poměrovým detektorem . . . . .	16	Obr. 54. Kmitočtová charakteristika pásm. filtru obrazové mezifrekvence »OMF2« . . . . .	29
Obr. 21. Omezovací účinek poměrového detektoru . . . . .	16	Obr. 55. Kmitočtová charakteristika obrazové mezifrekvence při snímání podle návodu . . . . .	29
Obr. 22. Kmitočtová charakteristika nf stupně . . . . .	16	Obr. 56. Kmitočtová charakteristika vf a mf dílu pro druhý kanál . . . . .	29
Obr. 23. Schema oddělovače synchronizačních impulsů . . . . .	17	Obr. 57. Kmitočtová charakteristika vf i mf dílu pro třetí kanál . . . . .	29
Obr. 24. Oddělení synchr. impulsu na převodové charakteristice oddělovače . . . . .	17	Obr. 58. Vyvažování poměrového detektoru . . . . .	30
Obr. 25. Integrované napětí k synchronizaci snímkového rozkladu . . . . .	17	Obr. 59. Charakteristika poměrového detektoru . . . . .	30
Obr. 26. Budicí stupeň snímkového rozkladu . . . . .	17	Obr. 60. Připojení elektronkového voltmetru při měření citlivosti obrazové mezifrekvence . . . . .	32
Obr. 27. Průběh napětí na vybíjecím kondensátoru C112 rázového generátoru . . . . .	17	Obr. 61. Kontrola obrazového zesilovače napětím obdélníkového průběhu . . . . .	32
Obr. 28. Koncový stupeň snímkového rozkladu . . . . .	18	Obr. 62. Kontrola citlivosti a omezení zvukové části . . . . .	33
Obr. 29. Průběhy velikostí napětí a proudů synchr. impulsů snímkového rozkladu . . . . .	19	Obr. 63. Rozmístění součástek na chassis . . . . .	43
Obr. 30. Budicí stupeň a samočinné řízení kmitočtu rádkového rozkladu . . . . .	19	Obr. 64. Rozmístění součástek pod chassis . . . . .	43
Obr. 31. Průběh napětí rázového generátoru proložené napětím sinus. průběhu . . . . .	20	Obr. 65. Rozmístění odporek pod chassis . . . . .	44
Obr. 32. Průběh napětí na mřížce řidící elektronky při shodném kmitočtu pilovitého napětí i synchr. impulsů . . . . .	20	Obr. 66. Rozmístění kondensátorů pod chassis . . . . .	45
Obr. 33. Průběh napětí na mřížce řidící elektronky při nižším kmitočtu pilovitého napětí nežli synchr. impulsů . . . . .	20	Obr. 67. Rozmístění součástek vf dílu (pohled z boku) . . . . .	46
Obr. 34. Průběh napětí na mřížce řidící elektronky při vyšším kmitočtu pilovitého napětí nežli synchr. impulsů . . . . .	20	Obr. 68. Rozmístění součástek vf dílu (pohled zepodу) . . . . .	46
		Obr. 69. Rozmístění součástí obrazového detektoru . . . . .	47

**PŘÍLOHY**

I. Theoretické schema zapojení televizních přijimačů 4102U - 4103U.

II. Theoretické schema zapojení televizních přijimačů 4102U - 4103U (první výroby)

# TELEVISNÍ PŘIJIMAČ TESLA 4102 U a 4103 U



Obr. 1. Pohled na přijimač 4102 U

Popis slouží k usnadnění údržby televizních přijimačů 4102 U a 4103 U školenými televizními techniky a nevysvětluje proto základní principy, vlastnosti a funkce obvodů televizního přijimače.

Televizní přijimače 4102 U a 4103 U se liší pouze rozměry obrazových elektronek a rozměry skříní. Veškeré údaje, obsažené v tomto návodu, se vztahují na oba druhy přijimačů.

## 01 TECHNICKÉ ÚDAJE

- 01.1** **Princip:** Oba přijimače jsou zapojením superheterodynu. Příjem zvuku je uskutečněn metodou mezinoznámého kmitočtu.
- 01.2** **Přijimače 4102 U a 4103 U** jsou určeny pro příjem televizních pořadů, vysílaných podle normy ČSN 36 7505 v kanálech, odpovídajících normě ČSN 36 7506, uvedených v tabulce.

kanál číslo	kmitočtový rozsah MHz	nosný kmitočet (MHz)		pásma
		obrazu	zvuku	
2	48,5 – 56,5	49,75	56,25	I
3	58 – 66	59,25	65,75	
4	174 – 182	175,25	181,75	
5	182 – 190	183,25	189,75	
6	190 – 198	191,25	197,75	
7	198 – 206	199,25	205,75	III
8	206 – 214	207,25	213,75	
9	214 – 222	215,25	221,75	
10	222 – 230	223,25	229,75	

Než výstavba televizní vysilací sítě pokročí natolik, že bude účelně osazovat televizory soupravami cívek pro více kanálů, budou oba typy televizorů osazovány jen cívkami pro příjem v kanálu č. 2 a č. 3 podle tabulky. Podle potřeby lze přijimač dodatečně osadit cívkovými soupravami pro 6 kanálů.

- 01.3** **Laděné obvody:**  
 Vf na přijímaném kmitočtu . . . 2 obvody  
 Oscilátor pomocného kmitočtu . . 1 obvod  
 Obrazový mezifrekvenční zesilovač . 4 obvody  
 Zvukový mezifrekvenční zesilovač . 1 obvod  
 Detekce zvuku (poměrový detektor) 1 obvod

- 01.4** **Potlačení nosného kmitočtu** zvuku proti nosnému kmitočtu obrazu je nejméně 18 dB.
- 01.5** **Vstupní impedance** – 300 ohmů symetr. proti zemi.
- 01.6** **Citlivost.**  
 Průměrná citlivost pro kanály I. pásma je lepší než 250  $\mu$ V.  
 Průměrná citlivost pro kanály III. pásma je lepší než 500  $\mu$ V.  
 Naměřené hodnoty se vztahují k vrcholu křivky propustnosti pro napětí 1 V detekovaného ne-modulovaného signálu na řídící mřížce elektronky obrazového zesilovače.
- 01.7** **Šíře přenášeného pásma** 4,5 MHz, při poklesu napětí –6 dB.
- 01.8** **Rozměr obrazu:**  
 Televizor 4102 U má rozměr obrazu 210×280 mm.  
 Televizor 4103 U má rozměr obrazu 270×360 mm.
- 01.9** **Vychylování** je provedeno magneticky, vychylovací cívky jsou nízkoimpedanční, výstupní transformátor vodorovného (rádkového) rozkladu je opatřen ferritovým jádrem.
- 01.10** **Urychlovací napětí** obrazovky je 12 až 14 kV.
- 01.11** **Výstupní výkon** zvukové části činí 1,2 W (při kmitočtu 800 Hz a skreslení 10%).
- 01.12** **Potlačení** vysokých zvukových kmitočtů je 50  $\mu$ s.
- 01.13** **Reprodukтор** je dynamický s permanentním magnetem průměru 160 mm.

Rozmístění jednotlivých elektronek je zakresleno v obr. 2.

- E<sub>1</sub> = PCC 84 Vf předzesilovač
- E<sub>2</sub> = PCF 82 Oscilátor a smešovač
- E<sub>3</sub> = EF 80 První zesilovač obrazové mezinárodní frekvence
- E<sub>4</sub> = EF 80 Druhý zesilovač obrazové mezinárodní frekvence
- E<sub>5</sub> = EF 80 Obrazový zesilovač
- E<sub>6</sub> = PCF 82 Zesilovač zvukové mezifrekvence + oddělovač synchronizačních impulsů
- E<sub>7</sub> = PABC 80 Poměrový detektor a nízkofrekvenční předzesilovač
- E<sub>8</sub> = PL 82 Koncový nf stupeň
- E<sub>9</sub> = PCF 82 Oddělovač synchronizační směsi a rázový generátor svislého (snímkového) rozkladu
- E<sub>10</sub> = PL 82 Koncový stupeň svislého (snímkového) rozkladu
- E<sub>11</sub> = ECC 82 Rázový generátor vodorovného (rádkového) rozkladu
- E<sub>12</sub> = PL 81 Koncový stupeň vodorovného (rádkového) rozkladu
- E<sub>13</sub> = PY 83 Účinnostní dioda (bustr-dioda)

## 01.15

- E<sub>14</sub> = DY 86 Vysokonapěťový usměrňovač
- E<sub>15</sub> = 351 QP 44 Obrazovka pro 4102 U  
430 QP 44 Obrazovka pro 4103 U
- D<sub>1</sub> = 1 NN 40 Detektor obrazového signálu

Selenový usměrňovač 40 VS 380 – usměrňovač síťového napětí.

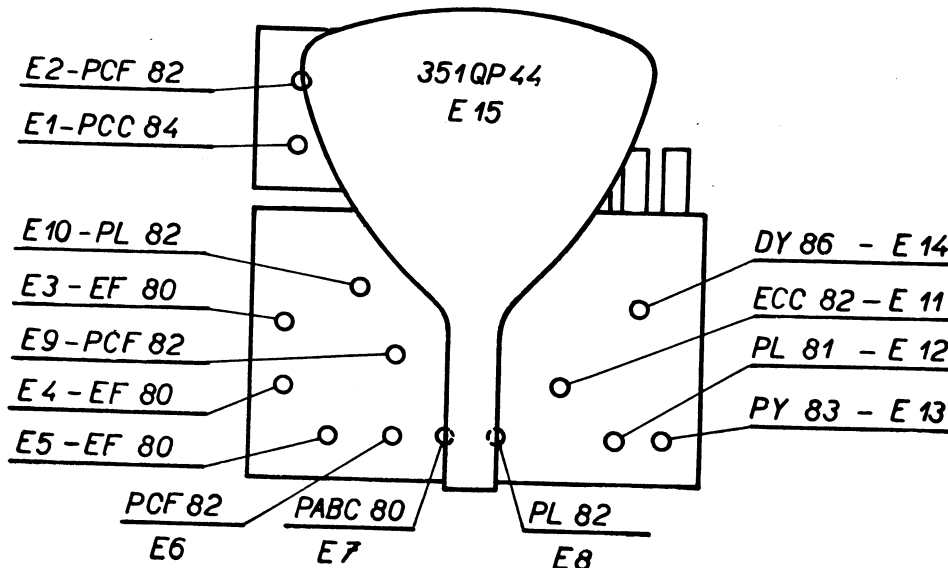
## 01.16

## Napájení a příkon:

Oba přijímače jsou určeny pro napájení ze střídavé sítě 220 V, 50 Hz; povolené výkyvy síťového napětí jsou  $\pm 10\%$ . Celkový příkon činí při jmenovitém napětí 130 W.

## Rozměry a váha:

a) televizor 4102 U	šířka . . . . .	440 mm
	výška . . . . .	400 mm
	hloubka . . . . .	450 mm
	váha . . . . .	22 kg
b) televizor 4103 U	šířka . . . . .	520 mm
	výška . . . . .	465 mm
	hloubka . . . . .	450 mm
	váha . . . . .	30 kg



Obr. 2. Rozmístění elektronek

## 02 NÁVOD K OBSLUZE

## 02.1

## Upozornění!

Televizor 4102 U i 4103 U je přímo napájen ze sítě a proto chassis přijímače má životu nebezpečné napětí proti zemi. Nezasouvejte proto nikdy vidlici přívodní šnury do síťové zásuvky, pokud není zadní i spodní stěna připevněna na patřičném místě. Při opravách je bezpodmínečně nutno zapojit mezi televizní přijímač a síť oddělovací transformátor dostatečného výkonu (cca 150 W) s dobrou izolací mezi primárním a sekundárním vinutím. Televizor je ve výrobním závodě pečlivě vyvážen a jeho ladící obvody zajištěny proti samovolnému rozladění. Hledejte tedy závadu především mimo laděné obvody.

## 02.2

Umístění ovládacích prvků, určených pro nastavení správného chodu televizoru zákazníkem, je patrné z obr. 3.

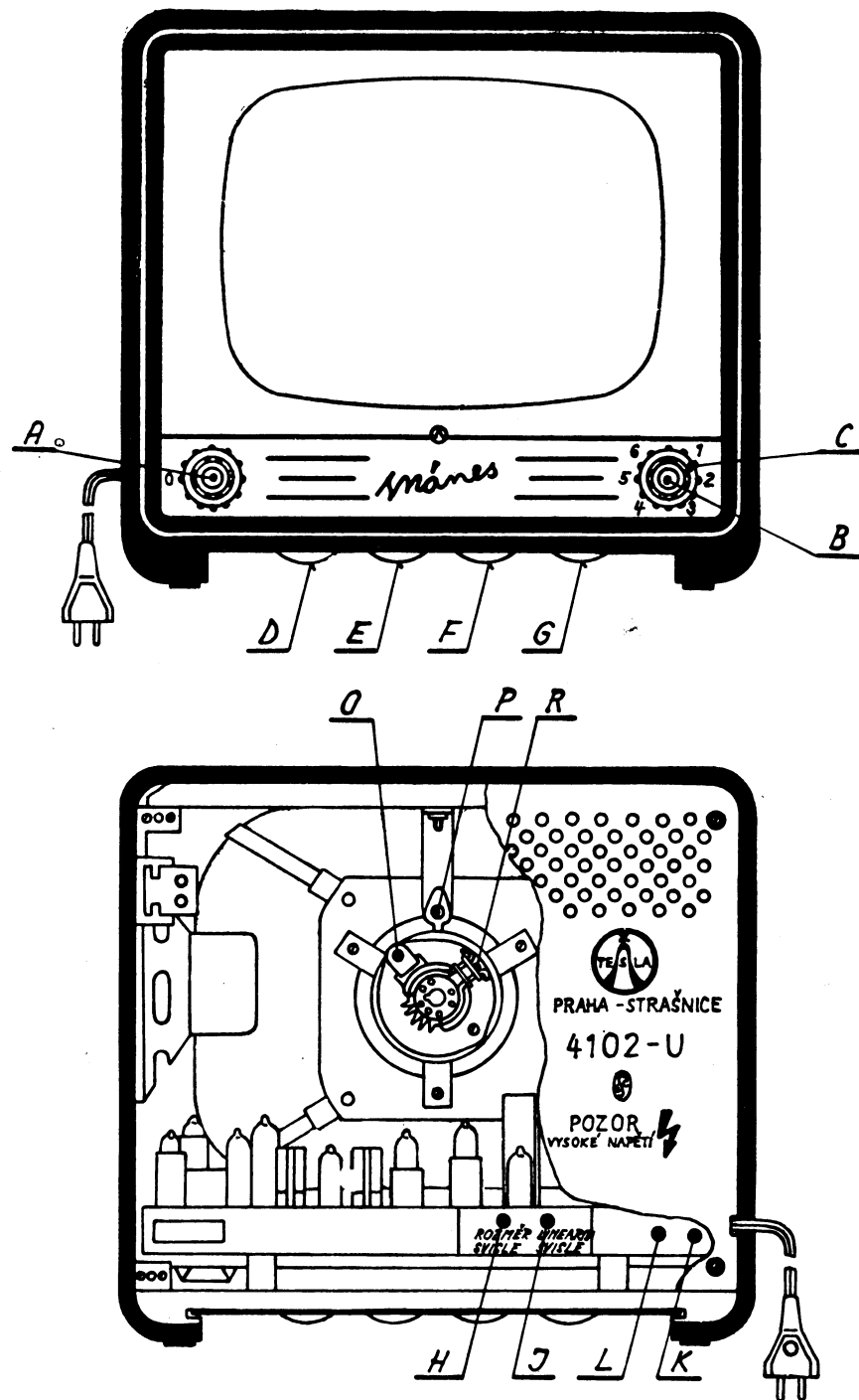
Účel jednotlivých ovládacích prvků:

- A – Řízení hlasitosti reprodukce a vypínání sítě
- B – Přepínání kanálů
- C – Doladění oscilátoru

- D – Řízení kontrastu
- E – Ovládání snímkové synchronisace
- F – Ovládání rádkové synchronisace
- G – Řízení jasu
- H – Nařízení rozměru obrazu svisle
- J – Nařízení linearity obrazu svisle
- K – Nařízení rozměru obrazu vodorovně
- L – Nařízení linearity obrazu vodorovně
- O – Zaostřování obrazu
- P – Středění obrazu
- R – Ovládání iontové pasti

K ovládání prvků H, J, O je určen nastavovací kolík 3PA 013 03, dodávaný ke každému televizoru.

Ovládací prvky K, L, O a P jsou přístupny jen po odejmutí zadní stěny. Nastavení těchto prvků se provede jednorázově při uvádění do chodu. K tomuto účelu, jakož i při seřizování iontové pasti R, je technik povinen použít na oddělení televizoru od napájecí sítě oddělovacího transformátoru (viz upozornění). Tyto prvky nemá obsluhovat zákazník.



Obr. 3. Rozmístění ovládacích prvků

## 02.3

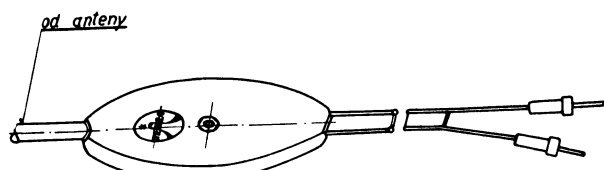
**Uvedení nového přijímače do provozu.**

Má-li být televizor uveden do provozu v místě, v němž není bezpečně zjištěno, že má dostatečně silné pole, použijte zásadně schváleného typu průmyslově vyráběné kvalitní víceprvkové antény. Nespokojujte se s náhražkami. Jako napaječe použijte pokud možno 300ohmové dvoulinky s alka-tent-opalenovou izolací.

Dvoulinka musí být instalována velmi pečlivě a upevněna ve vzdálenosti alespoň 10 cm jak od nosné konstrukce antény, tak od střechy a zdi, i uvnitř budovy. Je-li zapotřebí napaječe delšího než 18 m a musí-li být veden uvnitř budovy na př. světlíkem, ventilací atd., je výhodnější použít koaxiální kabel o vlnovém odporu 70 ohmů. Pak je nutno provést symetrisaci jak na straně vstupu do přijímače, tak na straně antény. U antény s charakteristikou impedancí 300 ohmů provedeme symetrisaci půlvlnnou symetrisační smyčkou

a u antény se vstupní impedancí 70 ohmů čtvrtvlnným symetrisačním členem. U přijímače provedeme symetrisaci půlvlnnou smyčkou jako u antény, nebo lépe symetrisačním členem TESLA 3PN 050 22, viz obr. 4. Bez dobré symetrisace byl obraz rozmazený a neostrý.

Nelze-li po připojení antény k televizoru dosáhnout dostatečně kontrastního obrazu, ověřte správ-

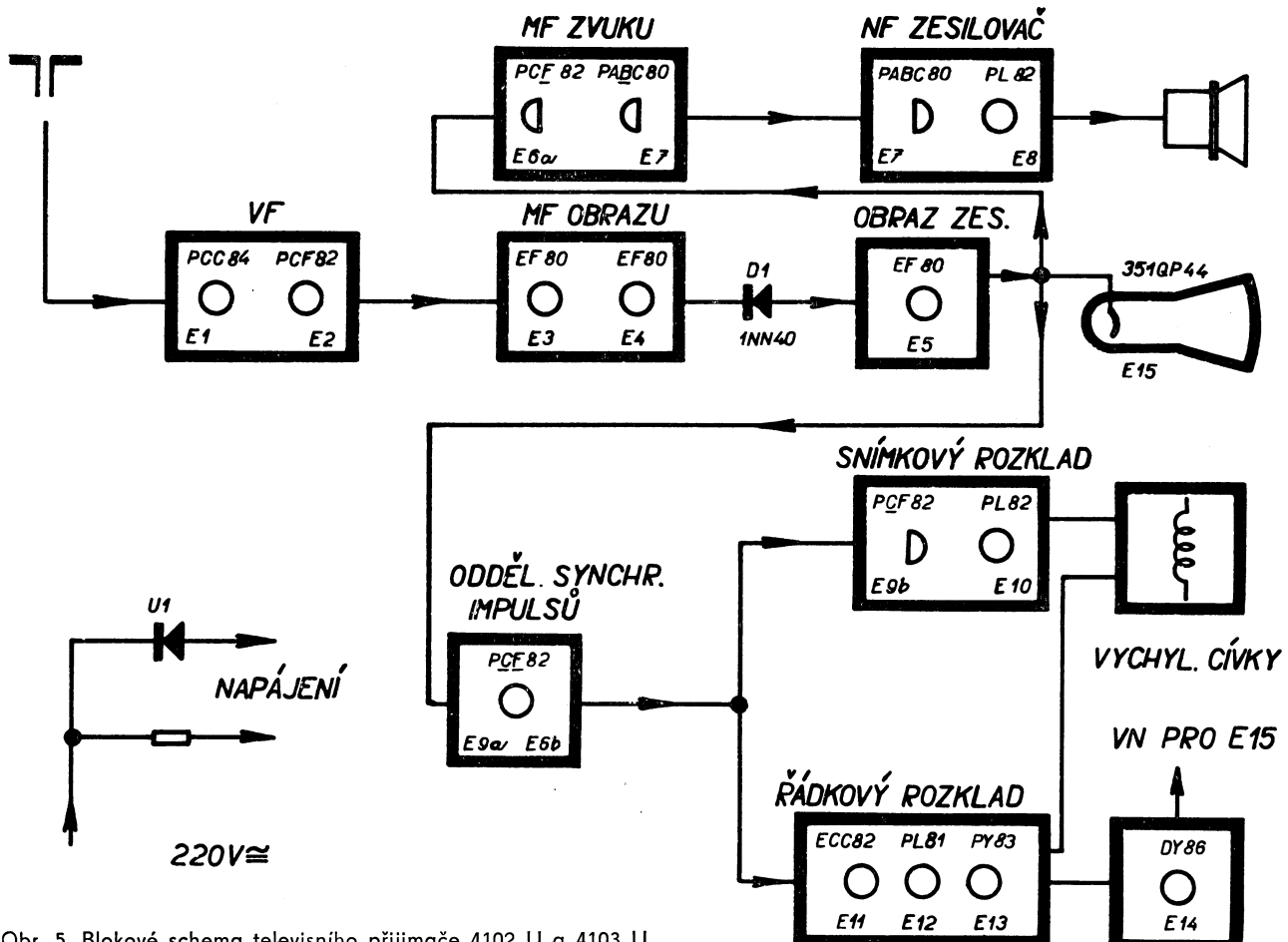


Obr. 4. Symetrisační člen 3PN 050 22

nou činnost antény a její nasměrování. Zkouška se provádí antenním zkušebním přístrojem nebo pomocným indikátorem, na př. přímo zesilujícím jednovodovým přijimačem. Lze samozřejmě použít též jiného bezvadného pracujícího televizního přijimače.

Výrobní závod Tesla-Strašnice požaduje od televizního technika, aby zejména při uvádění nového televizoru do provozu ochotně odpověděl zákazníkovi na veškeré dotazy technického rázu a aby zákazník pravidle instruoval, aby tak zákazník nabyl k novému přijimači důvěru a naučil se jej podle předpisů ovládat. Při uvádění do chodu je technik povinen dokonale přezkoušet celý televizní přijimač, aby odpadly pozdější reklamace závad

domněle vzniklých ve výrobním závodě či během dopravy. Při zkoušení nastaví technik nejen obvody synchronisace, nýbrž zejména iontovou past a zaostření obrazu. Iontová past se nastavuje na maximální jas obrazovky bez ohledu na stín v rozích. Ty se odstraní středním obrazu (bližší viz 06.1). Zaostření se provádí nejlépe bez obrazového signálu a při středním jasu obrazovky. K ovládání zaostřovacích magnetů použijte nastavovacího kolíku 3PA 013 03. Po správném zaostření musí být rádý – ostře ohrazené – patrný pokud možno po celém stínítku. Není-li tomu tak, je nutno zjistit příčiny (viz: Příčiny poruch a jejich odstraňování).



Obr. 5. Blokové schema televizního přijimače 4102 U a 4103 U

### 03 BLOKOVÉ SCHEMA A ČINNOST PŘIJIMAČE

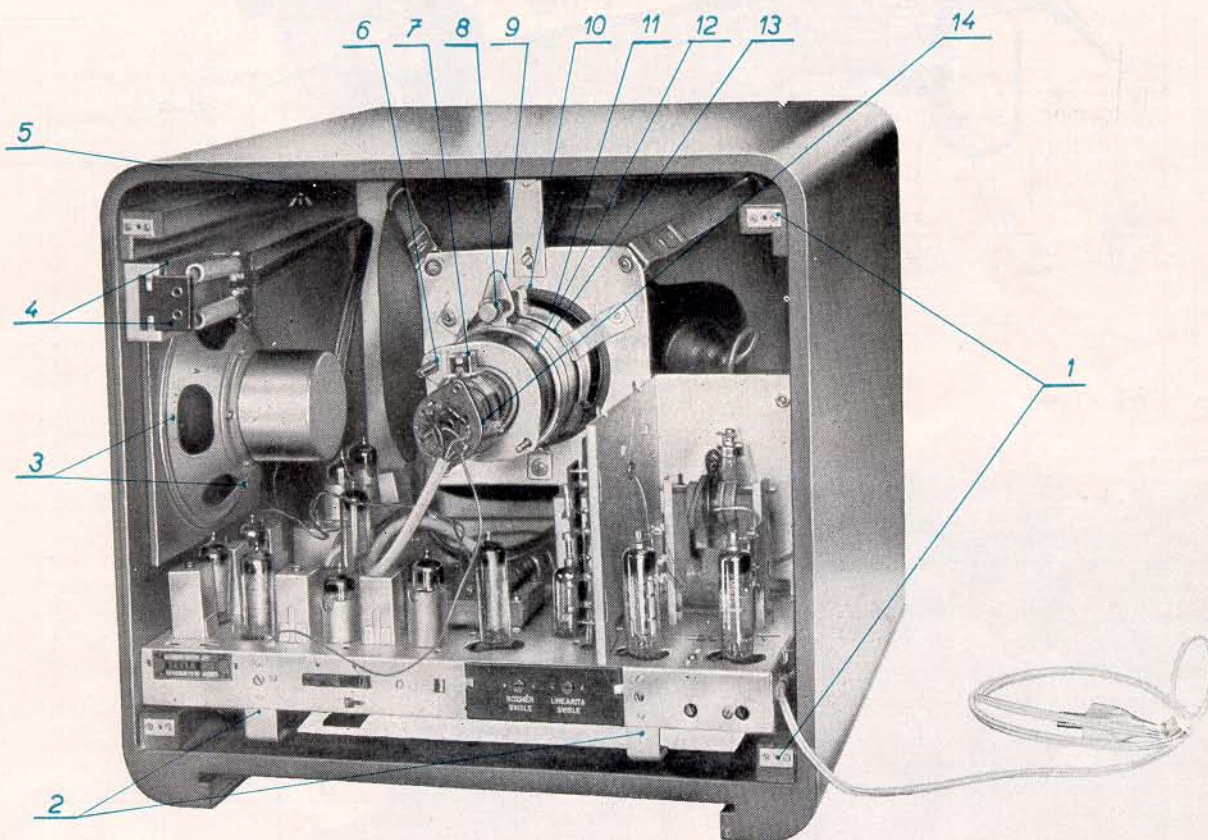
**03.1 Blokové schema přijimače** je zakresleno v obr. 5. Televizní signál z antény se přiveze napaječem na vstupní svorky televizoru a odtud přes oddělovací kondenzátory do vf dílu. Oddělovací kondenzátory chrání televizor před přepětím a oddělují napaječ a antenní soustavu od světelné sítě, jež je vzhledem k přímému napájení galvanicky spojena s chassis. Ve vf dílu se zachycený signál zesílí elektronkou E 1 a v elektronce E 2 se přemění kmitočet signálu na kmitočet mezifrekvenční. Z vf dílu je mezifrekvenční signál veden do dvoustupňového mezifrekvenčního zesilovače (E 3, E 4). Zeštílený mezifrekvenční signál je demodulován diodou D 1. Demodulovaný obrazový signál se přivádí na vstup obrazového zesilovače (E 5). Z výstupu obrazového zesilovače se vede zesílený obrazový signál k modulační elektrodě obrazové elektronky (E 15) a k oddělovači synchronizačních impulsů (E 9a + E 6b). Záznějový kmitočet nosné frekvence zvuku a nosné frekvence obrazu (6,5 MHz), vzniklý při demodulaci a zesílený v obrazovém zesilovači, se vede na vstup mezifrekvenčního zesilovače zvuku (E 6a). Na výstupu tohoto

zesilovače je zapojen poměrový detektor (E 7a), jenž demoduluje zvukový doprovod. Vzniklý nízko-frekvenční signál se zesílí v předzesilovači (E 7b). Nízko-frekvenční signál budí koncový nízko-frekvenční zesilovač (E 8), na jehož výstup je připojen reproduktor.

Synchronizační impulsy, oddělené od obrazového signálu v oddělovači (E 9a), se amplitudově omezí v elektronce E 6b a po integraci synchronisují rázový generátor snímkového rozkladu. Pro rádkový rozklad se vedou synchronizační impulsy z anody elektronky E 6b na mřížku elektronky E 11a, která pracuje jako setrvačníkový obvod. Výstupní stejnosměrné napětí této elektronky řídí rázový generátor rádkového rozkladu (E 11b). Vzniklé napětí pilovitého průběhu budí koncový stupeň rádkového rozkladu (E 12, E 13). Koncové stupně vyhýlovacích obvodů jsou na vyhýlovací cívky vázány transformátory. Vysoké napětí, potřebné pro obrazovku, se získává z proudových špiček při zpětném běhu rádkového rozkladu a usměrnuje se elektronkou E 14.

## 04 ROZLOŽENÍ SOUČÁSTEK A POSTUP PŘI DEMONTÁŽI

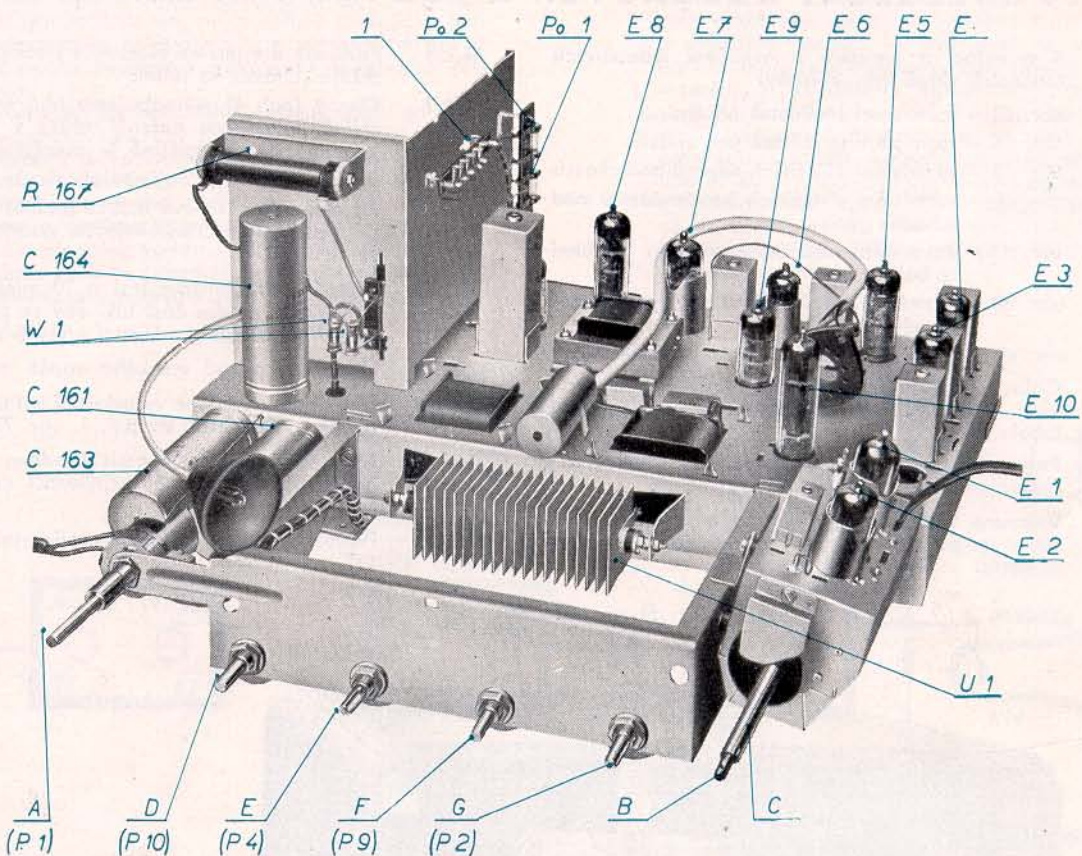
- 04.1** K orientaci o umístění a označení jednotlivých součástek slouží tyto obrázky:
- obr. 63 – rozmístění součástek na chassis
  - obr. 64 – rozmístění součástek pod chassis
  - obr. 65 – rozmístění důležitých odporů pod chassis
  - obr. 66 – rozmístění důležitých kondensátorů pod chassis
  - obr. 67 – rozmístění součástek vč dílu (pohled z boku)
  - obr. 68 – rozmístění součástek vč dílu (pohled ze spodu)
  - obr. 69 – rozmístění součástí obrazového detektoru  
Číslování součástek odpovídá číslování, uvedenému v theoretickém schematu, které je součástí tohoto popisu.
- 04.2 Postup při demontáži přijimače.**  
Postup při demontáži je zřejmý z obr. 6.
- 04.2.1** Vyjmeme vidlici síťové šnury ze zásuvky světelné sítě a po povolení šroubů (pol. 1) odejmeme zadní stěnu.
- 04.2.6** Povolíme a vyjmeme všechny 4 šrouby (pol. 2), přidržující chassis ve skříně.
- 04.2.7** Otvory (pol. 4) vyšroubujeme oba vruty ze stěny skříně, odejmeme antenní zdířky s oddělovacími kondensátory a opatrně je položíme na chassis. Sejmeme opatrně objímku obrazovky (pol. 14).
- 04.2.8**
- 04.2.9** Povolíme obě křídlové matice (pol. 5) a obrazovku, připevněnou na dřevěné desce, vysuneme částečně ze skříně.
- 04.2.10** Chassis povytáhneme (asi o 70 mm) a nadzvedneme jeho přední část tak, aby se při dalším vytázení nepoškodily ovládací prvky (viz obr. 3).
- 04.2.11** Odpojíme přívod vysokého napětí od obrazovky.
- 04.2.12** Je-li třeba, odpojíme vychylovací jednotku od chassis (na pájecí liště, viz pol. 1, obr. 7).
- 04.2.13** Má-li být vyjmuté chassis uvedeno do provozu, ponecháme připojené vychylovací cívky a povolíme šroub. (Pol. 10.)
- 04.2.14** Po jeho povolení odejmeme příchytný pásek (pol. 11).



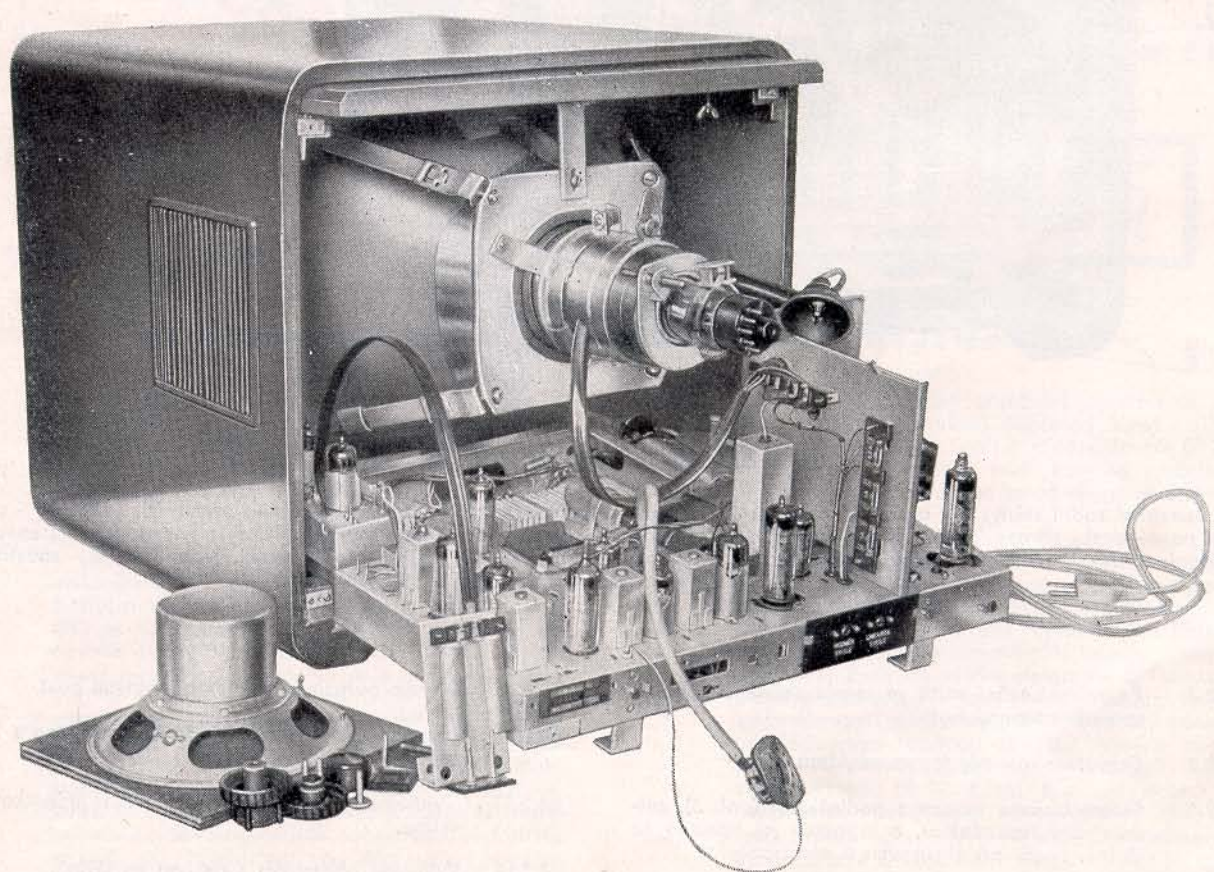
Obr. 6. Demontáž a prvky pro seřízení obrazu

1 - upevnění zadní stěny; 2 - upevnění chassis; 3 - upevnění reproduktoru; 4 - upevnění držáku antenních zdírek; 5 - upevnění nosné desky obrazovky; 6 - šroub pro ostření; 7 - iontová past; 8 - aretační šroub středicího prstence; 9 - prstenec pro středění obrazu; 10 - šroub příchytného pásku vychylovací jednotky; 11 - příchytný pásek vychyl. jednotky; 12 - zaostřovací prstenec; 13 - kryt vychylovacích cívek; 14 - objímka obrazovky

- 04.2.2** Po vyšroubování vrutů ze spodu skříně odejmeme spodní ochranný kryt.
- 04.2.3** Odpojíme přívody k reproduktoru.
- 04.2.4** Odšroubujeme matice s podložkami (pol. 3), přidržujícími reproduktor, a vyjmeme jej opatrně ze skříně. Pozor na obrazovku a elektronky!
- 04.2.5** Odejmeme knoflíky k obsluze na přední stěně skříně.
- 04.2.15** S hrdla obrazovky sejmeme iontovou past.
- 04.2.16** Uvolněnou vychylovací jednotku sejmeme s hrdlem obrazovky.
- 04.2.17** Vyjmeme chassis i s vychylovací jednotkou ze skříně.
- 04.2.18** Vyjmeme obrazovku s deskou ze skříně.  
Pohled na demontovaný přijímač s částečně vysunutým chassis je na obrázku 8.



Obr. 7. Rozmístění důležitých částí na chassis  
1 - pájecí lišta pro vývody vychylovacích cívek



Obr. 8. Chassis částečně vysunuté ze skříně

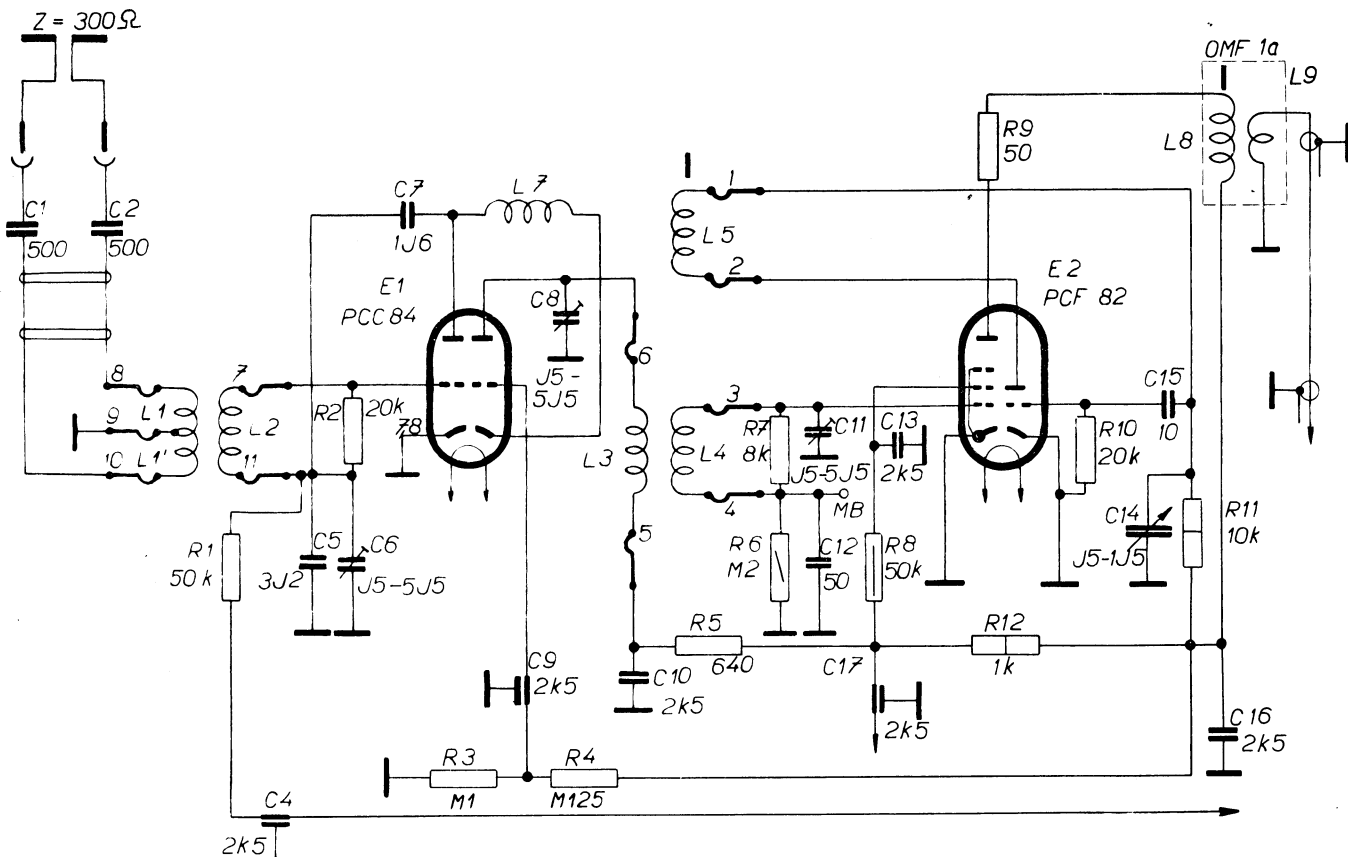
## 05 POPIS ČINNOSTI JEDNOTLIVÝCH OBVODŮ

05.1

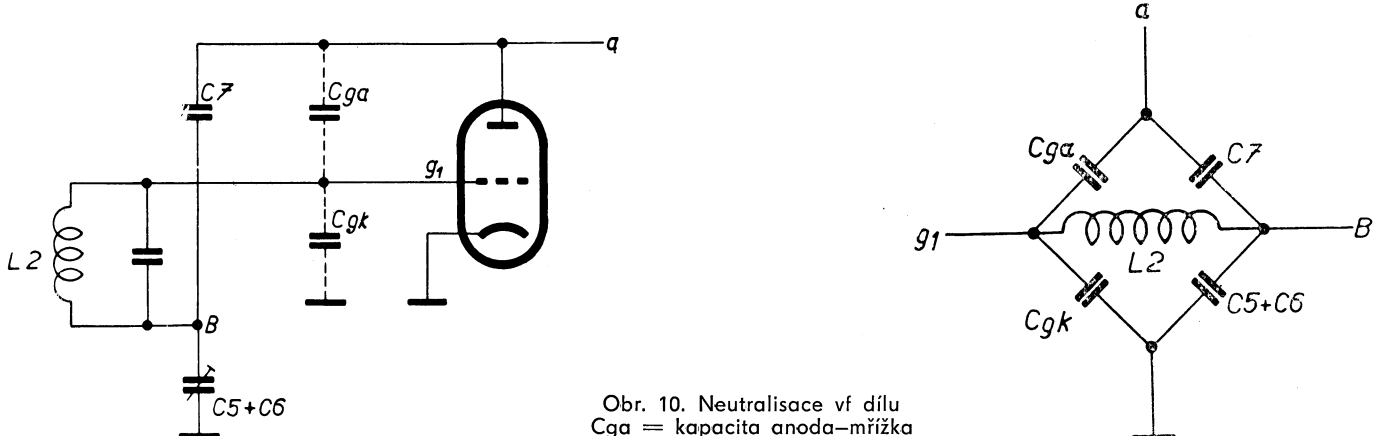
**Vysokofrekvenční díl:**

Vstupní zesilovač tvoří dvojitá trioda PCC 84 v kaskádovém zapojení. Toto zapojení při zisku jako pentoda má asi 3X menší ekvivalentní šumový odpor. Snižení šumu a velký zisk umožňuje dosažení velké citlivosti televizoru při malém počtu elektronek.

oddělují chassis přijimače od obvodu napaječe a antény. (Důvody viz 03.) Přes oddělovací kondenzátory se přivádí vf energie na vazební vinutí ( $L_1$ ,  $L_1'$ ) vstupního obvodu, který je řešen jako  $\pi$ -článek. Vzhledem k symetrii je třeba, aby vazební cívka ležela uprostřed mřížkové cívky. V opačném případě vnáší napaječ značné jalové



Obr. 9. Schema vysokofrekvenčního dílu



Obr. 10. Neutralisace vf dílu  
 $C_{ga}$  = kapacita anoda-mřížka  
 $C_{gk}$  = kapacita-mřížka -  $g_1$  = řídící mřížka

Směšovač je osazen elektronkou PCF 82, která má na tomto místě velmi výhodné vlastnosti, zejména malou průnikovou kapacitu, nutnou k omezení vazby mezi vstupními a mezifrekvenčními obvody. Zapojení vf dílu je na obr. 9.

Prvý systém elektronky PCC 84 je zapojen jako zesilovač s uzemněnou katodou a druhý jako zesilovač s uzemněnou mřížkou. Oddělovací kondenzátory  $C_1$  a  $C_2$ , zapojené na vstupní svorky,

složky do vstupního obvodu a rozložuje jej. Totéž nastane, zatíží-li se vstupní obvod nesymetrickým napaječem, t. j. koaxiálním kabelem. Je proto nezbytné, používateli jako napaječe koaxiálního kabelu, vřadit před vstup do přijimače symetrický člen. (Viz obr. 4.) Neutralisací podle obr. 10 zamezíme vyzařování oscilátoru do antény a snížíme šum.

Kapacity  $C_7$  a  $C_5 + C_6$  a kapacity elektronky

C<sub>ga</sub> a C<sub>gk</sub> tvoří vyvážený Wheatstoneův můstek. Je-li poměr C 7 : C 5 + C 6 týž jako poměr C<sub>ga</sub> : C<sub>gk</sub>, pak signál, jenž na mřížku g<sub>1</sub> pronikne průnikovou kapacitou vstupní triody, je stejně veliký, ale fázově o 180° otočený proti signálu, jenž na mřížku g<sub>1</sub> pronikne přes kapacitu C 7 a  $\pi$ -filtr, tvořený indukčností L 2 a vstupními a výstupními kapacitami. Pak se toto napětí ruší, nedochází k vyzařování a zvýšení šumu. Umístění vazebních závitů a jejich počet je kritický, protože je tím dáná i vstupní impedance přijímače, značně důležitá pro bezodrazový přenos energie. Převodem z vazebních závitů na mřížku vstupní elektronky se zvýší vstupní napětí asi 5X.

Jako anodová zátěž triody s uzemněnou katodou se uplatňuje vstupní impedance druhé triody (1/S), a proto zisk I. stupně bez vstupního převodu je asi S . Ra = S . 1/S = 1\*. Paralelně k vstupní impedance (1/S) je přiřazena ještě kapacita »anoda - katoda« prvé triody a »mřížka - katoda« druhé triody, t. j. asi celkem 6 pF.

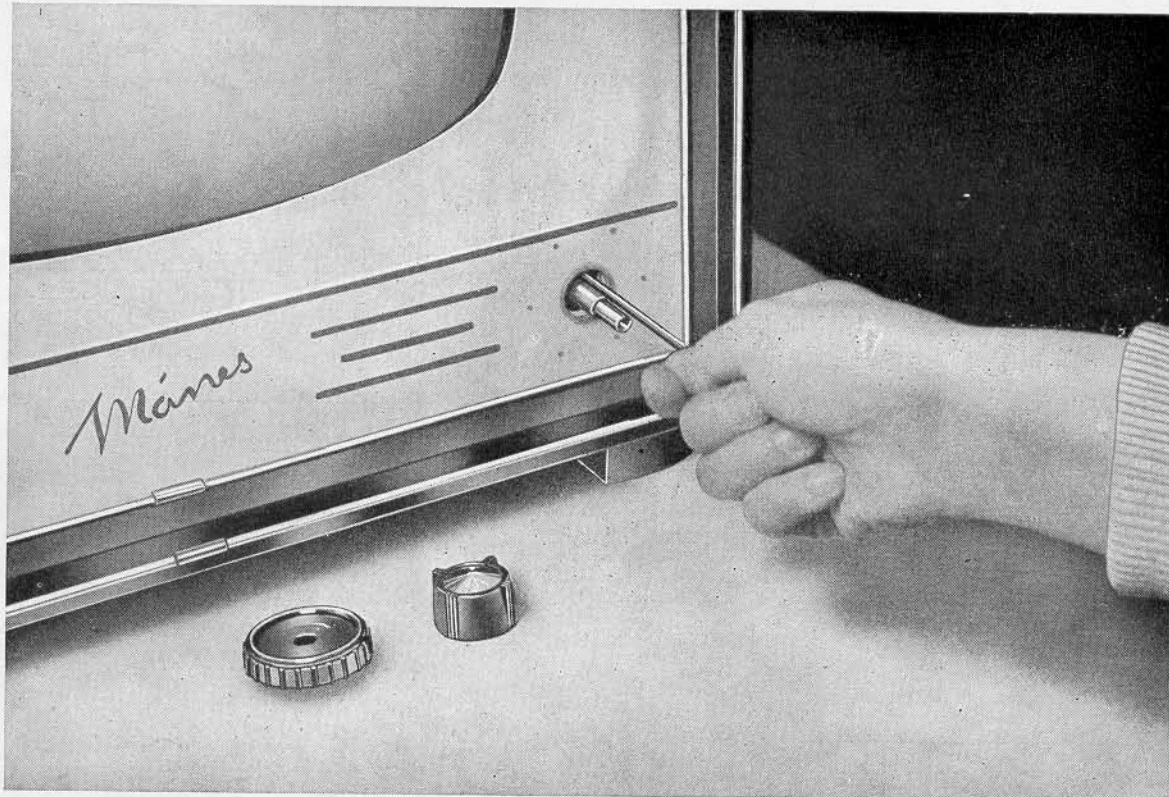
Pro 200 MHz to znamená odpor asi 133 ohmů, takže anodová zátěž prvé elektronky je pro 200 MHz podstatně nižší než 1/S. Proto je vazba mezi oběma triodami provedena opět  $\pi$ -článkem, tvo-

Zisk vf dílu se řídí velikostí předpětí, přiváděného přes odpor R 1 na mřížku prvé triody. Toto předpětí se získává na mřížkovém svodu elektronky E 12 (R 141, P 10, R 146) a reguluje se ručně potenciometrem P 10. Mimo to má na toto předpětí vliv velikost demodulovaného signálu (přes R 29), takže je přímo závislé na úrovni vstupního signálu. Tím se automaticky reguluje zisk. Bude-li vstupní signál větší, bude i záporné předpětí prvé triody větší a zvětší se i napětí anody prvé triody a současně i katody druhé triody. Tak se samozřejmě zvětší i záporné předpětí mřížky druhé triody, protože její pevné předpětí z děliče je proti zemi konstantní. Zvětšením záporného předpětí mřížek triod se zmenší zesílení vf stupně.

## 05.2

### Oscilátor a směšovač:

Jako oscilátor v Colpittsově zapojení pracuje triodová část elektronky E 2. Doladovací kondensátor oscilátorového obvodu je umístěn na čele vf dílu. Tvoří jej izolovaný polep, připevněný na pertinaxové destičce a odnímatelný kovový kryt rotoru. Rotor tvoří pertinaxový segment, takže změna kapacity se vlastně provádí změnou dielektrika mezi oběma polepy. Hrubé nastavení kmitočtu



Obr. 11. Hrubé doladování oscilátoru po sejmoutí knoflíků

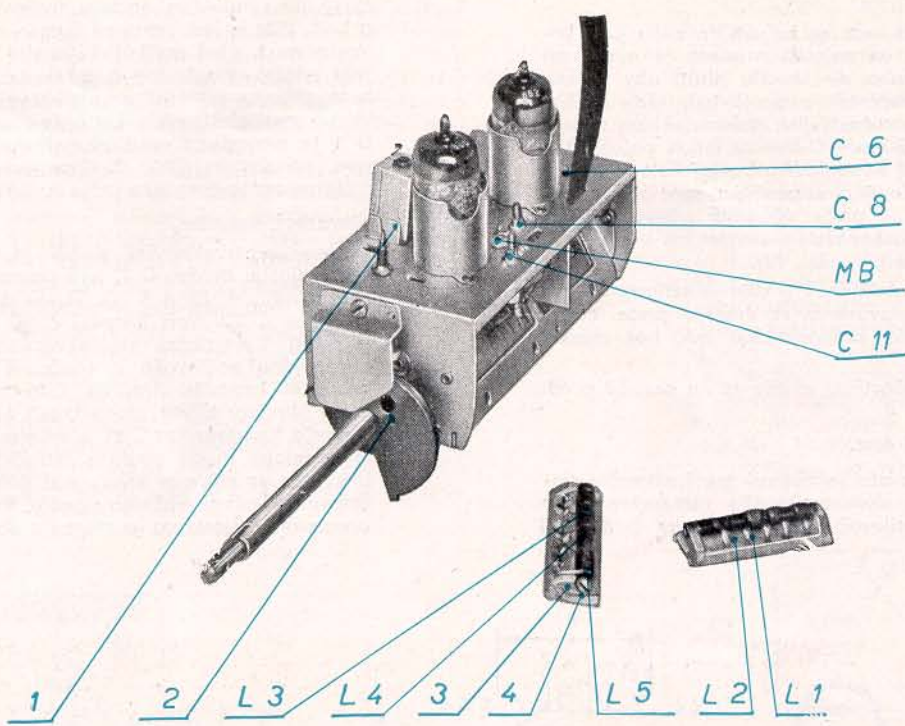
řeným anodovou kapacitou vstupní triody, kapacitou katody druhé triody a indukčností cívky L 7. Tento filtr má velmi plohou resonanční křivku a je laděn asi na 200 MHz. Tím se kompenzuje nižší zisk vf dílu na kanálech s vyššími kmitočty. Protože obě triody jsou napájeny anodovým proudem v řadě a obě jsou stejné, je na každé triodě polovina anodového napětí, t. j. zhruba asi 100 V. Aby bylo možno nastavit pracovní bod obou triod, je mřížka druhé triody napájena z děliče (R 3, R 4). Dělič je zapojen mezi zdroj anodového napětí a chassis a dodává řídící mřížce druhé triody takové napětí, aby mezi ní a katodou bylo zhruba -1,5 V předpětí.

\* ) S = strmost, Ra = zatěžovací odpor elektronky.

oscilátoru se provádí mosazným šroubkem, který zasahuje do oscilátorové cívky a je přístupný z přední strany vf dílu stěnou skříně po sejmoutí knoflíku (viz obr. 11, 12).

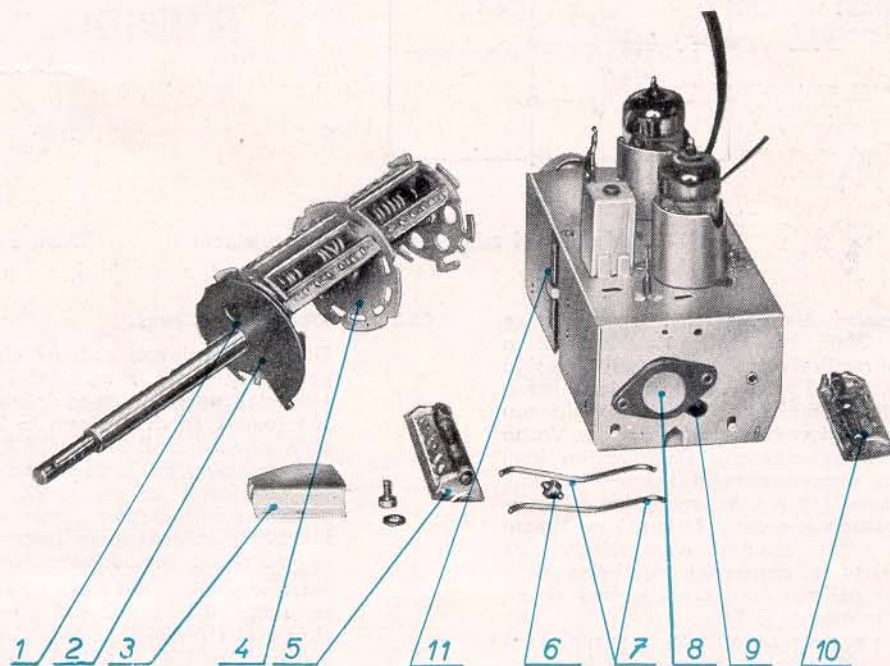
Dolahuje se vždy jen cívka oscilátoru kanálu, na něž je volič přepnut. Aby doladování bylo provedeno uprostřed rozsahu doladovacího kondensátoru, je pertinaxový segment opatřen otvorem, který tuto polohu zajišťuje. Rozsah doladovacího kondensátoru je u druhého a třetího kanálu asi 1 MHz, u vyšších kanálů je patřičně vyšší. Oscilátor je laděn na kmitočet vyšší o mezifrekvenční kmitočet, než má přijímaný signál. Pohled na rozložený vf díl je na obr. 13.

Cívka oscilátoru L 5 je induktivně vázana s mřížkovou cívkou pásmového filtru (L 4, L 3) anodového obvodu vstupního zesilovače. Pentoda E 2 pracuje jako additivní směšovač, na jehož výstupu



Obr. 12. Vyjmutý vysokofrekvenční díl

1 - transformátor obrazové mf OMF 1a; 2 - rotor doladovacího kondenzátoru C 14 s otvorem pro seřízení oscilátoru; 3. - přídržné pero doladovacího šroubku; 4 - šroubek k nařízení kmitočtu oscilátoru



Obr. 13. Rozložený vf díl

1 - otvor pro hrubé doladění oscilátoru; 2 - rotor doladovacího kondenzátoru C 14; 3 - kryt tvořící uzemněný polep kondenzátoru C 14; 4 - cívkový karusel; 5 - držák cívek oscilátoru a pásmového filtru s doteky; 6 - západka karuselu; 7 - péra k uchycení karuselu; 8 - odisolovaný polep kondenzátoru C 14; 9 - otvor v chassis vf dílu pro doladění oscilátoru; 10 - držák cívek vstupního obvodu s doteky; - 11 aretační pero

je již mezifrekvenční signál. Pásmový filtr v anodovém obvodu vstupního zesilovače je nadkriticky vázán a jeho ladění je choulostivé. Blížší o tom viz v příslušné kapitole.

Ve snaze dosáhnouti co největšího zisku jsou kapacity obvodů co nejnižší a proto je nutno při jakémkoliv zásahu do vf dílu dbát, aby polohy jednotlivých součástek a spojů byly vždy zachovány, i když je nutno jejich polohu během seřizování přechodně změnit. Není-li jejich poloha zachována, obvod se rozladí a lze jej doladit jen se znácnými obtížemi a s použitím speciálních přístrojů. Používejte proto výhradně původních náhradních dílů a součástek, uvedených v seznamu náhradních dílů (viz odst. 12).

Žhavení obou elektronek vf dílu je seriové. Při seřizování vymontovaného vf dílu je proto nutno žhat elektronky proudem 300 mA, bez ohledu na napětí.

Rozmístění součástí ve vf dílu je na obr. 67 a 68.

### 05.3 Mezifrekvenční část.

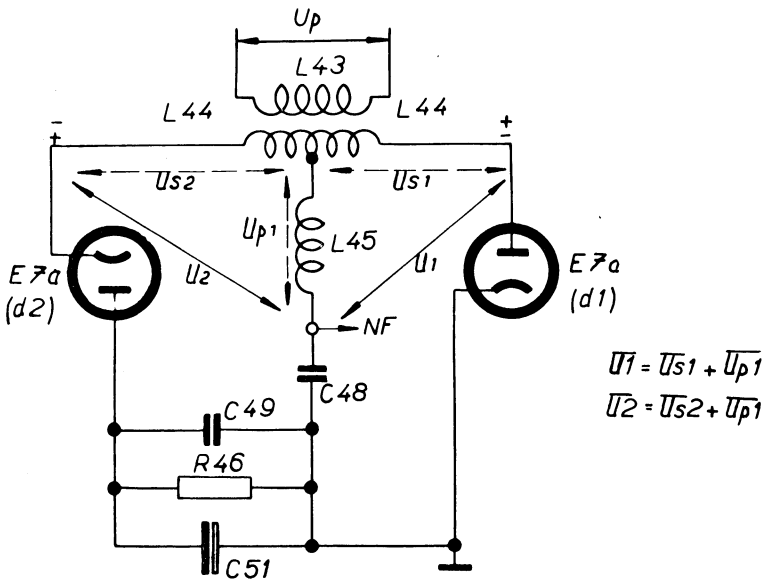
Z anody směšovače je získaný mezifrekvenční signál veden do dvoustupňového mezifrekvenčního zesilovače. Zesilovač tvoří elektronky E 3, E 4

### 05.4

tronkami E 3 a E 4 je provedena mezifrekvenční transformátorem, označeným OMF 2. Tento obvod je proveden jako silně nadkriticky vázáný pásmový filtr s induktivní vazbou, tvořený cívками L 24 a L 25. Filtr je jednostranně tlumen odporem R 31. Vzhledem k silně nadkritické vazbě je jeho vyvážení zvláště choulostivé a jakékoli seřizování tohoto obvodu se musí prováděti velmi obezřetně. Vazba mezi elektronkou E 4 a demodulační diodou D 1 je provedena mezifrekvenčním transformátorem, označeným OMF 3. Transformátor je vinut bifilárně a chová se jako jednoduchý vázáný obvod.

### Obrazový detektor.

Zesílený mezifrekvenční signál je demodulován germaniovou diodou D 1, ježí pracovní impedanci tvoří odpory R 28 a R 30. Tlumivka L 28 a kondensátor C 27 tvoří filtrační člen, jehož úkolem je zabránit pronikání mezifrekvenčního signálu do obrazového zesilovače a současně kompensovati parasitní kapacity. Tím do jisté míry ovlivňuje tento filtr tvar křivky propustnosti obrazového zesilovače. Kondensátor C 81 je vazební kondensátor. Germaniová dioda spolu s filtračním členem je umístěna ve stínícím krytu, jenž účinně brání vyzárování mezifrekvenčního signálu. Rozmístění částí obrazového detektoru je zřejmé z obr. 69.



Obr. 14. Zjednodušené schema poměrového detektoru

a mezifrekvenční transformátory, označené ve schematech OMF 1a, OMF 1b, OMF 2 a OMF 3. První mezifrekvenční transformátor sestává ze dvou částí, z nichž první – OMF 1a – je umístěna na vf dílu a tvoří s druhou – OMF 1b – umístěnou na chassis, podkriticky vázáný pásmový filtr. Vazba mezi oběma polovinami tohoto pásmového filtru je provedena nízkoimpedanční linkovou vazbou, tvořenou cívками L 9 a L 21, spojenými stíněným vodičem. Vzhledem k podkritické vazbě není tento pásmový filtr zvláště choulostivý na rozladění. Ve společném krytu s obrazovou mezifrekvenční – OMF 1b – je umístěn odladovač, tvořený cívkou L 23 a kondensátorem C 21.

Odladovač je vázán s cívkou L 21 kapacitně kondensátorem C 28. Úkolem odladovače je potlačení nosného kmitočtu zvuku (33 MHz) na žádoucí úroveň.

Regulace zisku mezifrekvenčního zesilovače je provedeno v prvním stupni změnou předpětí prvé mřížky (E 3). Regulační předpětí je společné pro zesilovač obrazové mezifrekvence i vf stupně a jeho zdroj byl popsán v odst. 05.1. Aby změnou zisku prvého mezifrekvenčního stupně se neměnil tvar celé mezifrekvenční křivky, je u elektronky E 3 zavedena částečná zpětná vazba pomocí neblokovovaného katodového odporu R 22. Vazba mezi elektro-

### 05.5

### Obrazový zesilovač.

Obrazový zesilovač, osazený elektronkou E 5, je galvanicky vázán s modulační elektrodou obrazové elektronky. S demodulačním stupněm je vázán jednak kondensátorem C 81, jednak galvanicky přes odpory R 81 a dělič R 28 a R 30. Předpětí elektronky E 5 je dáno jednak úbytkem napětí na katodovém odporu R 82, jednak záporným napětím z demodulátoru, zmenšeným děličem R 28 a R 30. Tímto děličem se částečně přenáší stejnosměrná složka demodulovaného signálu.

Mezifrekvenční signál zvukového doprovodu o kmitočtu 6,5 MHz se odvádí z anodového obvodu obrazového zesilovače pásmovým filtrem, tvořeným indukčnostmi L 41, L 42 a kapacitami C 42, C 43. K dosažení potřebného stupně vazby jsou obvody vázány kapacitně kondensátorem C 84. Pásmový filtr zabraňuje současně pronikání kmitočtu 6,5 MHz na modulační elektrodu obrazovky.

Korekce kmitočtového průběhu obrazového zesilovače je provedena nejen filtračním členem u demodulátoru, ale i korekčním členem v anodovém obvodu, tvořeným indukčností L 82 spolu s pásmovým filtrem a negativní zpětnou vazbou, vznikající na částečně blokovaném katodovém odporu R 82.

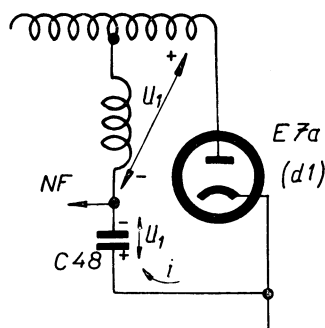
05.6

**Zvuková část.**

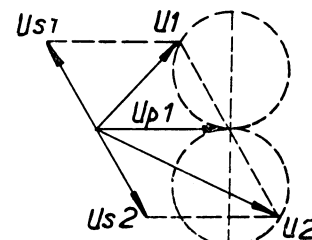
Televisor 4102 U a 4103 U pracují na principu mezinosného kmitočtu. Při tomto způsobu se používá jako mezifrekvenční kmitočtu pro zvukový doprovod záhněje 6,5 MHz, vzniklého na obrazovém detektoru smíšením nosné frekvence obrazu s nosnou frekvencí zvuku. Záhněj se zesiluje ještě v obrazovém zesilovači a odebírá se z anodového obvodu pásmovým filtrem mezifrekvenčního zesilovače zvukového doprovodu.

Sekundární okruh tohoto filtru je zapojen v obvodu řídící mřížky elektronky E 6a, která pracuje jako částečný omezovač a zesilovač. Elektronka vytváří předpětí spádem mřížkového napětí na odporu R 41, který spolu s kondensátorem C 41 má časovou konstantu asi 5  $\mu$ s. Zkrácení převodové charakteristiky nutné pro omezovač se dosáhne snížením napětí stínící mřížky zvětšenou hodnotou odporu R 42. Pro zlepšení stability je v obvodu stínící mřížky provedena neutralisace průnikové kapacity, kapacitou C 44.

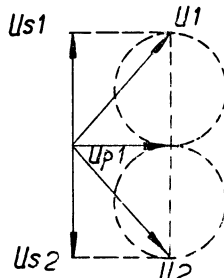
V anodovém obvodu elektronky E 6a je zařazen poměrový detektor k demodulaci signálů zvukového doprovodu. Poměrový detektor sestává z pásmového filtru, jehož okruh z členů L 43, C 46 je zařazen



Obr. 15. Obvod diody poměrového detektoru d1



Obr. 18. Při kmitočtu vyšším než resonanční



Obr. 17. Při nosné vlně bez modulace

v anodovém obvodu elektronky E 6a, a okruh z členů L 43, L 44, L 44', L 45, C 47 je připojen na diody elektronky E 7a. Zjednodušené schema poměrového detektoru je zakresleno na obr. 14.

Pracuje takto:

Cívka L 43 je induktivně vázána se sekundárním obvodem cívками L 44, L 44' a L 45. Vazba mezi cívками L 45 a L 43 je provedena tak, že na cívce L 45 se indukuje napětí Up1, které je s primárním napětím Up ve fázi. Naproti tomu okruh L 43, C 46 tvoří s okruhem z členů L 44, L 44', C 47 pásmový filtr, jehož sekundární napětí je proti primárnímu při resonanci posunuto o 90°. Při jiných kmitočtech v okolí resonance je toto fázové natočení větší nebo menší než 90°. Mohou tedy nastat 3 případy:

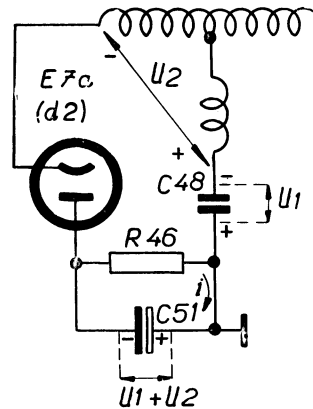
- a) nosný kmitočet 6,5 MHz je bez modulace a shoduje se přesně s resonančním kmitočtem pásmového filtru. Pak napětí Us1 je před napětím Up1 posunuto o 90°. Napětí Us2, jež je s napětím Us1 v protifázi, je proti napětí Up1 zpož-

děno o 90°. Napětí U1 na diodě d1 a kondenzátoru C 48 je tedy dáno součtem vektorů Us1 a Up1. Shodně pak napětí U2 na diodě d2 a kondenzátoru C 48 je dáno součtem vektorů Us2 a Up1. Jak patrno z obr. 17, je při nosné vlně bez modulace U1 = U2.

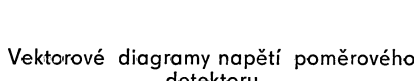
Z obr. 15 je patrno, že kondenzátor C 48 je nabíjen přes vodič diodu d1 pozitivními půlvlnami U1 na vrcholovou hodnotu U1 v označené polaritě. Je-li U1 pozitivní, je U2 negativní a dioda d2 vede proud.

Na elektrolytu C 51 vznikne napětí U1 + U2 (viz obr. 16).

Po nějakém čase se kondenzátor C 51 na hodnotu U1 + U2 nabije, protože náboj, který odebral kondenzátor C 48, se opět doplní jeho novým nabítím přes diodu d1. Bez modulace je tedy napětí na kondenzátoru C 48 poloviční než napětí na kondenzátoru C 51, protože U1 = U2. Přemostíme-li kondenzátor C 51 dvěma odpory stejné velikosti, bude napětí mezi středem obou odporů a chassis při resonanci stejné jako napětí na kondenzátoru C 48. Toto poznatku lze použít při vyvažování detektoru.



Obr. 16. Obvod diody poměrového detektoru d2



Obr. 19. Při kmitočtu nižším než resonanční

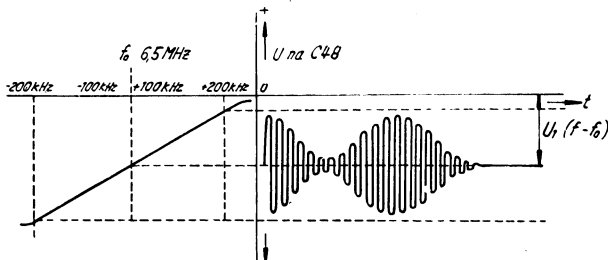
Při kmitočtové modulaci nosné vlny mohou nastat dva případy, a to:

1. vstupní kmitočet je nižší než resonanční,
2. vstupní kmitočet je vyšší než resonanční.

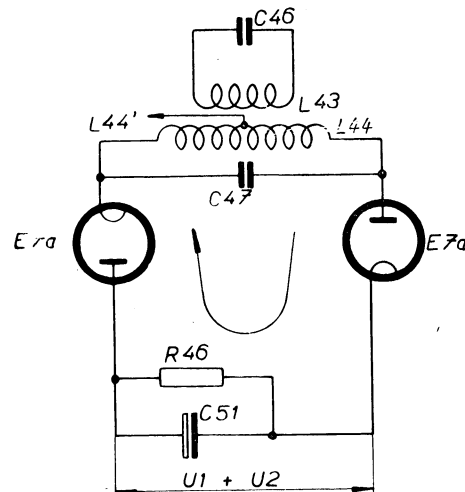
V případě že:

- b) vstupní kmitočet je nižší než resonanční, je napětí, indukované v indukčnostech L 44 a L 44', proti napětí Up posunuto o jistou hodnotu menší než 90° dopředu, při čemž velikost vektorů U1 a U2 se mění podle obr. 19. Nyní je U1 větší než U2 a také náboj na kondenzátoru C 48 je větší. Protože U2 kleslo přibližně o stejnou hodnotu, o niž U1 vzrostlo, nemá pokles U2 patrného vlivu na napětí kondenzátoru C 51;
- c) vstupní kmitočet je vyšší než resonanční. Pak napětí na indukčnostech L 44 a L 44' předbíhá napětí Up1 o více než 90° a velikost napětí U1 a U2 se mění, jak vyznačeno na obr. 18. Protože napětí U2 se zvětšilo, nebude dioda d1 ani při pozitivní půlvlně napětí U1 vodič. Naopak tomu bude dioda d2 při negativní půlv-

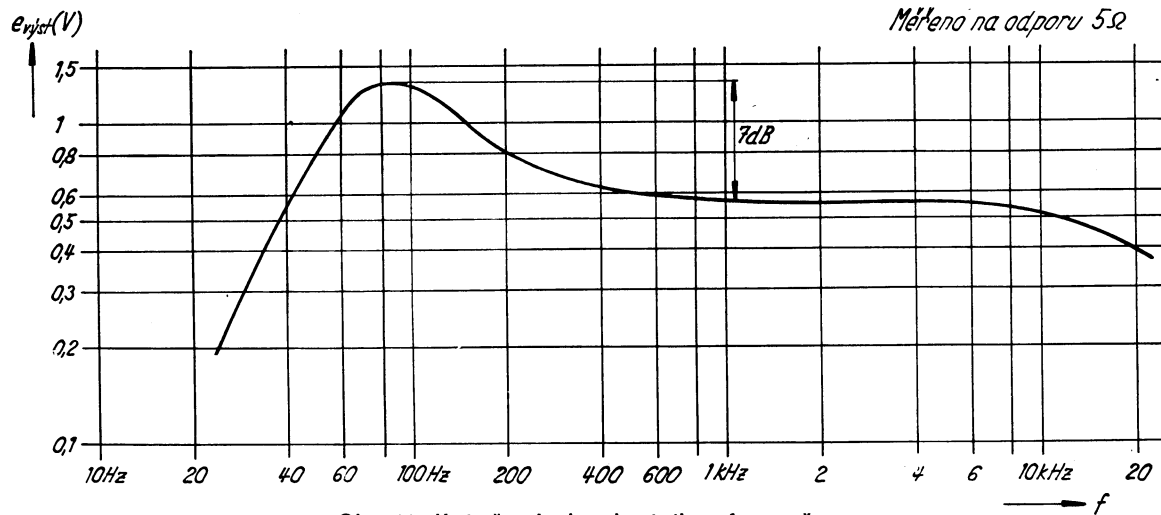
vlně napětí  $U_2$  vodivá a takto vzniklý proud vybije kondenzátor C 48 a kondenzátor C 51 poněkud dobije. Vzhledem k značné kapacitě kondenzátoru C 51 a ke krátkému trvání zvýšení kmitočtu není nutno se změnou napětí na kondenzátoru C 48 pohledat. Napětí na kondenzátoru C 48 ubývá tedy tak dlouho, až dosáhne velikosti napětí  $U_1$ , čímž dioda d<sub>1</sub> se stává během kladných půlvln vodivou. Dioda d<sub>1</sub> ovládá tedy velikost napětí  $U_1$ . Je-li přiváděný kmitočet vyšší, bude napětí  $U_1$  menší, je-li přiváděný kmitočet nižší, bude napětí  $U_1$  větší. (Viz obr. 20.)



Obr. 20. Princip detekce kmitočtově modulovaného signálu poměrovým detektorem



Obr. 21. Omezovací účinek poměrového detektoru



Obr. 22. Kmitočtová charakteristika nf stupně

Poměrový detektor má současně značný omezovací účinek a omezuje nežádoucí omplitudové změny, t. j. zejména poruchy. Omezovací účinek je způsoben elektrolytickým kondenzátorem C 51, který je nabit na součet napětí  $U_1 + U_2$ . Časová konstanta členů C 51, R 46 je v porovnání s případným kolísáním amplitudy značně veliká, takže změna amplitudy nemůže ovlivnit náboj kondenzátoru C 51. Při okamžitém zvětšení amplitudy náhodnou pořadou má napětí  $U_1$  i  $U_2$  tendenci vzrůstající. V důsledku toho vzrostne proud (viz obr. 21), který způsobí zvětšení útlumu primárního obvodu (L 43, C 46) i sekundárního obvodu (L 44, L 44', C 47). Tím se napětí  $U_1$  a  $U_2$  opět změní. Při okamžitém zmenšení amplitudy změní se obdobným způsobem tlumení, takže v obou případech dochází k vyrovnaní kolísavého signálu na konstantní úroveň. Po zvolné kolísání amplitudy přijímaného signálu způsobí částečnou změnu náboje na kondenzátoru C 51, jenž vzhledem ke své velikosti stačí tyto změny vyrovnat. Odpór R 45 a kondenzátor C 50 vytváří časovou konstantu 50  $\mu$ s pro potlačení výšek (de emphasis), zdůrazněných podle televizní normy ve vysílači.

Nízkofrekvenční zesilovač je osazen elektronkami E 7b (předzesilovač) a E 8 (koncový stupeň). Korekce kmitočtové charakteristiky nf stupně je provedena negativní zpětnou vazbou mezi anodami elektronek. Činitel zpětné vazby je asi 0,13. Zpětná vazba je kmitočtově závislá (R 68, R 66, R 64, C 62) a vyrovnává kmitočtovou charakteristiku tak, že

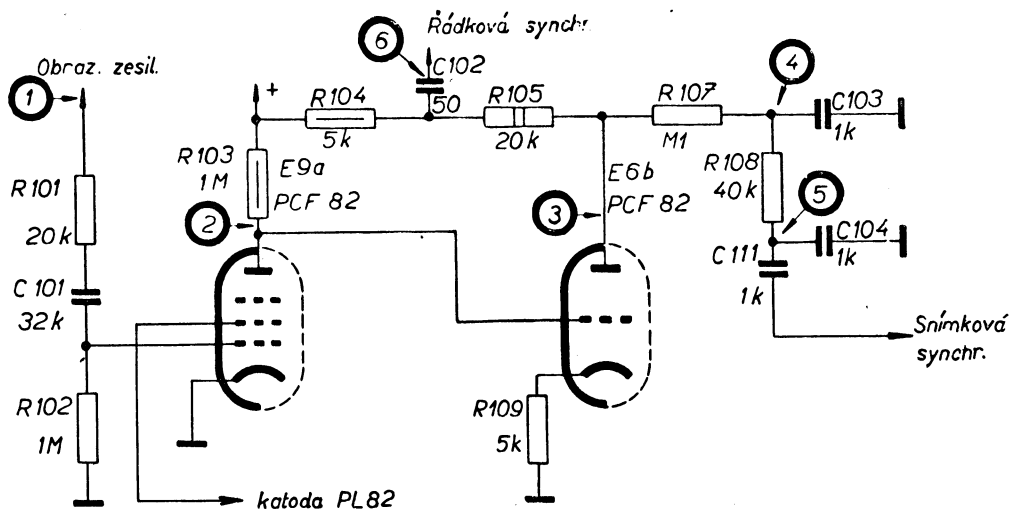
je rovná od 80 Hz do 10 kHz. Zeslabení zpětnou vazbou je asi 12 dB. Zdůraznění hlubokých tónů je provedeno kondenzátorem C 62. Výsledný kmitočtový průběh je zakreslen na obr. 22.

K regulaci hlasitosti je určen potenciometr P 1 na vstupu do předzesilovače.

#### 05.7

#### Oddělovač synchronizačních impulsů.

K oddělení synchronizační směsi z obrazového signálu slouží dvouelektronkový oddělovač, jehož zapojení je zakresleno na obr. 23. Obrazový signál se odebírá z anodového obvodu elektronky obrazového zesilovače E 5. Přes odpory R 85, R 101 a kondenzátor C 101 se přivádí obrazový signál na mřížku oddělovační elektronky E 9a. Anodová charakteristika elektronky je patřičně zkrácena sníženým napětím anody a stínicí mřížky. Pro napájení stínicí mřížky se využívá spádu na katodovém odporu elektronky E 10 (asi 14 V). Mřížkové předpětí vzniká spádem na odporu R 102. Obvod z členů C 101, R 102 a dioda (již tvoří řídící mřížku a katoda E 9a), působí jako obnovitel stejnosměrné složky a nastavuje předpětí tak, aby úroveň černé, t. j. 75% amplitudy celého obrazového signálu, byla na mřížkové charakteristice těsně pod bodem zániku anodového proudu (viz obr. 24). Anoda elektronky oddělovače E 9a je galvanicky spojena s elektronkou E 6b, která pracuje jako oboustranný ořezávač. Mřížkové předpěti vzniká spádem na katodovém odporu elektronky E 6b – R 109.



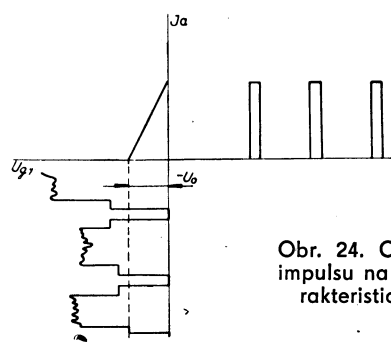
Obr. 23. Schema oddělovače synchronizačních impulsů (průběhy napětí v označených bodech v obr. 29)

Předpětí je částečně kompensováno kladným napětím anody elektronky E 9a.

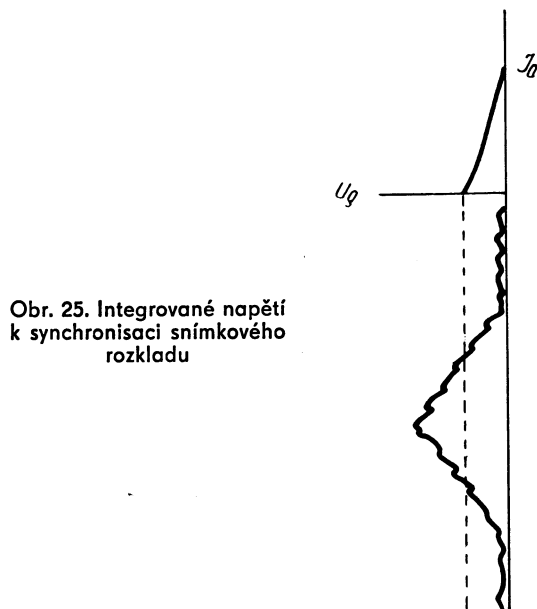
Pro zkrácení anodové charakteristiky je sníženo anodové napětí elektronky E 6b na 80 V.

Protože pro horizontální a vertikální synchronizaci je třeba rozdílných úrovní synchronizačních impulsů, je v anodovém obvodu dělič (R 104, R 105), který upravuje velikost synchronizačních impulsů pro horizontální setrvačníkovou synchronizaci. Impulsy se odebírají přes kondensátor C 102. Na dvoustupňovém integračním členu (R 107, C 103 a

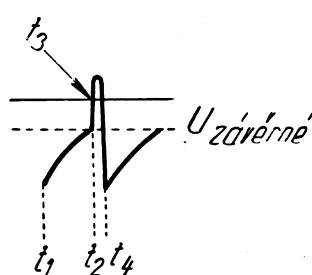
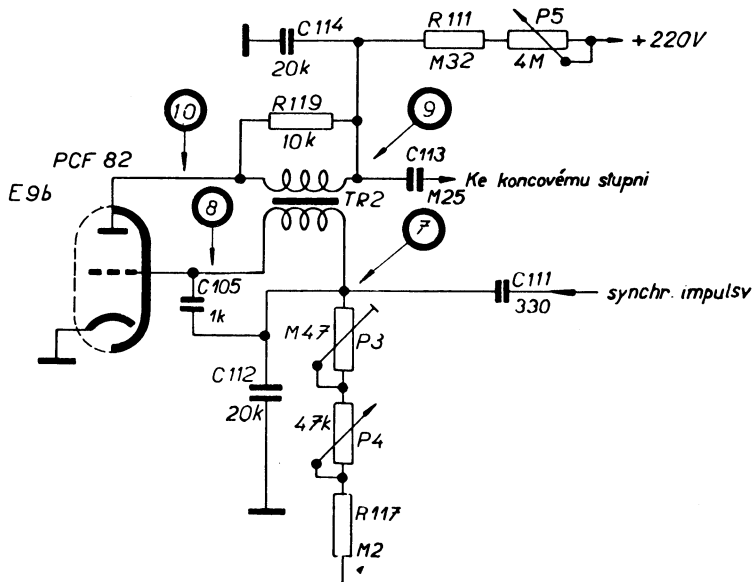
R 108, C 104) vzniká ze synchronizačních impulsů, obsažených v půlsnímkovém zatemňovacím impulu napětí (viz obr. 25), které synchronizuje ráz generátoru snímkového rozkladu.



Obr. 24. Oddělení synchr. impulsu na převodové charakteristice oddělovače



Obr. 25. Integrované napětí k synchronisaci snímkového rozkladu



Obr. 27. Průběh napětí na vybíjecím kondenzátoru C 112 rázového generátoru

Obr. 26. Budicí stupeň snímkového rozkladu (průběh v označených bodech na obr. 29).

## 05.8

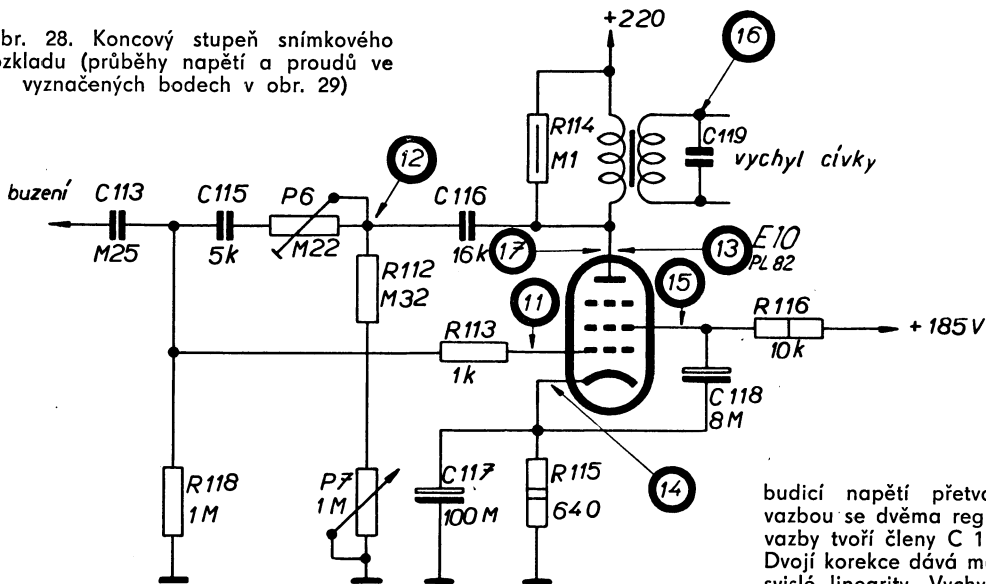
**Snímkový rozklad.**

HRČS - www.radiojournal.cz

Budicí stupeň snímkového rozkladu je proveden jako rázový generátor (viz obr. 26). Tvoří jej elektronka E 9b a transformátor TR 2. Jeho činnost je zhruba tato:

Předpokládejme, že napětí na kondensátoru C 112 (viz obr. 26, 27), je v čase  $t_1$  takové, že předpětí mřížky elektronky E 9b je proti zemi záporné a v důsledku toho je elektronka uzavřena. Kondensátor C 112 se však přes odpor P 3, P 4 a R 117 vybijí, takže v čase  $t_2$  začíná téci anodový proud.

Obr. 28. Koncový stupeň snímkového rozkladu (průběhy napětí a proudu ve vyznačených bodech v obr. 29)



Tato změna anodového proudu indukuje v anodovém vinutí transformátoru TR 2 napětí, jež zmenší napětí na anodě elektronky E 9b. Primární a sekundární vinutí transformátoru TR 2 jsou vzájemně uspořádána tak, že pokles anodového napětí způsobí vzestup napětí na řídící mřížce. Tím vzroste anodový proud a anodové napětí dále poklesne, v důsledku čehož mřížkové napětí opět vzroste. Neustálým vzrůstem mřížkového napětí vzniká mřížkový proud ( $t_3$  obr. 27) a kondensátor C 112 se rychle záporně nabije. Poklesne-li anodové napětí až na hodnotu, při níž přestane narůstat anodový proud, přestane se indukovat napětí v mřížkovém vinutí transformátoru TR 2 a na mřížku se přenese plné negativní napětí kondensátoru C 112 ( $t_4$  na obr. 27). Tím se dosáhne výchozího stavu.

Vybíjení kondensátoru C 112 a tím i dobu celého cyklu rázového generátoru lze ovládat potenciometry P 3 a P 4. Potenciometr P 3, provedený jako nastavitelný odpor, slouží k hrubému nastavení. Potenciometr P 4, ovládaný zepředu (viz obr. 3, pol. E) k jemnému nastavení. Synchronizační impulsy z integračního člena jsou přiváděny na řídící mřížku elektronky E 9b přes transformátor TR 2 v kladné polaritě. Jimi se časově ovládá popsaný cyklus. Vlastní pilovité napětí, jimž se bude koncový stupeň, vzniká na kondensátoru C 114. Kondensátor se nabije přes odpor R 111 a potenciometr P 5 napětím z napaječe. V okamžiku, kdy elektronka E 9b je

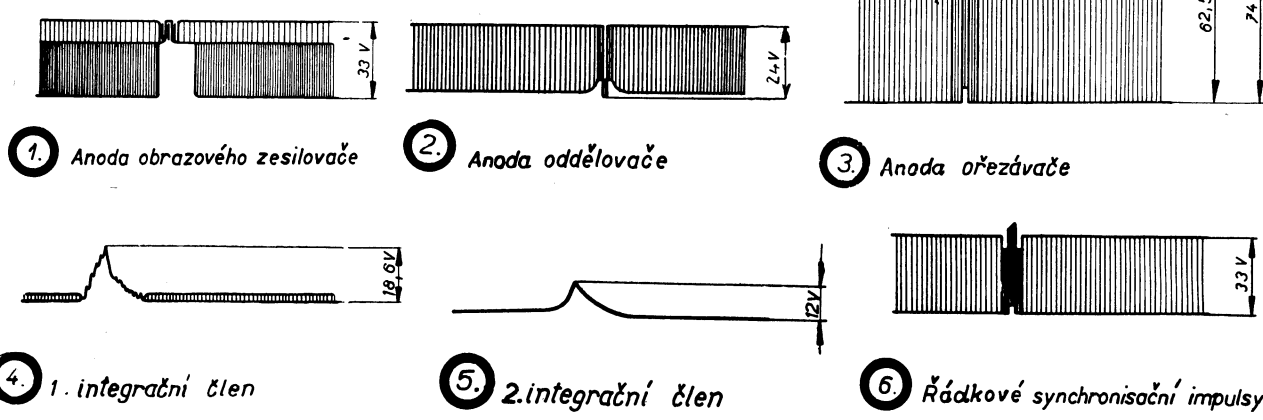
vodivá, vybije se kondensátor C 114 přes vinutí transformátoru TR 2 a elektronku E 9b. Velikost amplitudy snímkového rozkladu se reguluje změnou velikosti nabíjecího odporu potenciometru P 5. Vzniklé pilovité napětí se přivádí přes kondensátor C 113 na řídící mřížku elektronky koncového stupně E 10 (viz obr. 28). Elektronka pracuje jako zesilovač třídy A. Její mřížkové předpětí vzniká úbytkem na katodovém odporu R 115, blokovaném kondensátorem C 117. Abychom získali lineární průběh pilovitého proudu vychylovacími cívками, je

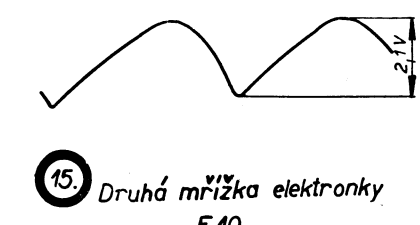
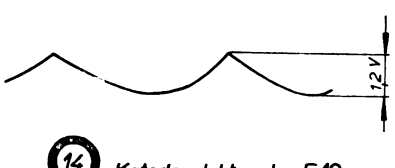
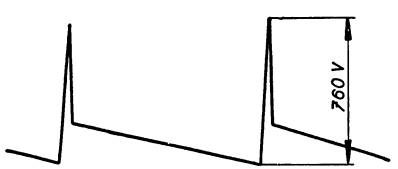
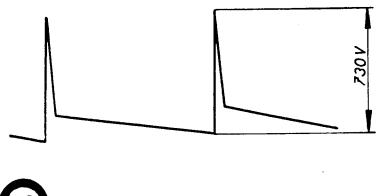
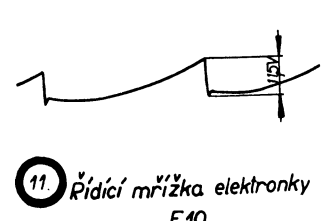
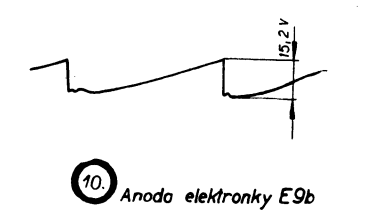
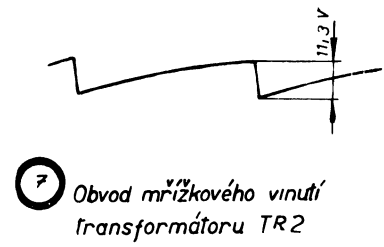
budicí napětí přetvarováno negativní zpětnou vazbou se dvěma regulačními členy. Větve zpětné vazby tvoří členy C 116, P 6, C 115 a R112, P 7. Dvojí korekce dává možnost dokonalého nastavení svíslé linearity. Vychylovací cívky jsou na anodu elektronky E 10 impedančně přizpůsobeny výstupním transformátorem TR 3, z jehož sekundáru se přes kondensátor C 120 rovněž odebírá napětí, potřebné k potlačení půlsnímkových zpětných běhu na obrazovce. Protože ve vychylovacích cívkách snímkového rozkladu se indukuje z vychylovacích cívek rádkového rozkladu pilovité napětí, je sekundární vinutí transformátoru TR 3 přemostěno kondensátorem C 119. Průběhy a velikosti napětí i proudu synchronizačních impulsů snímkového rozkladu jsou zakresleny v obr. 29. Jednotlivé průběhy jsou měřeny v místech, označených shodnými čísly v kruhu na obrázcích 23, 26, 28.

## 05.9

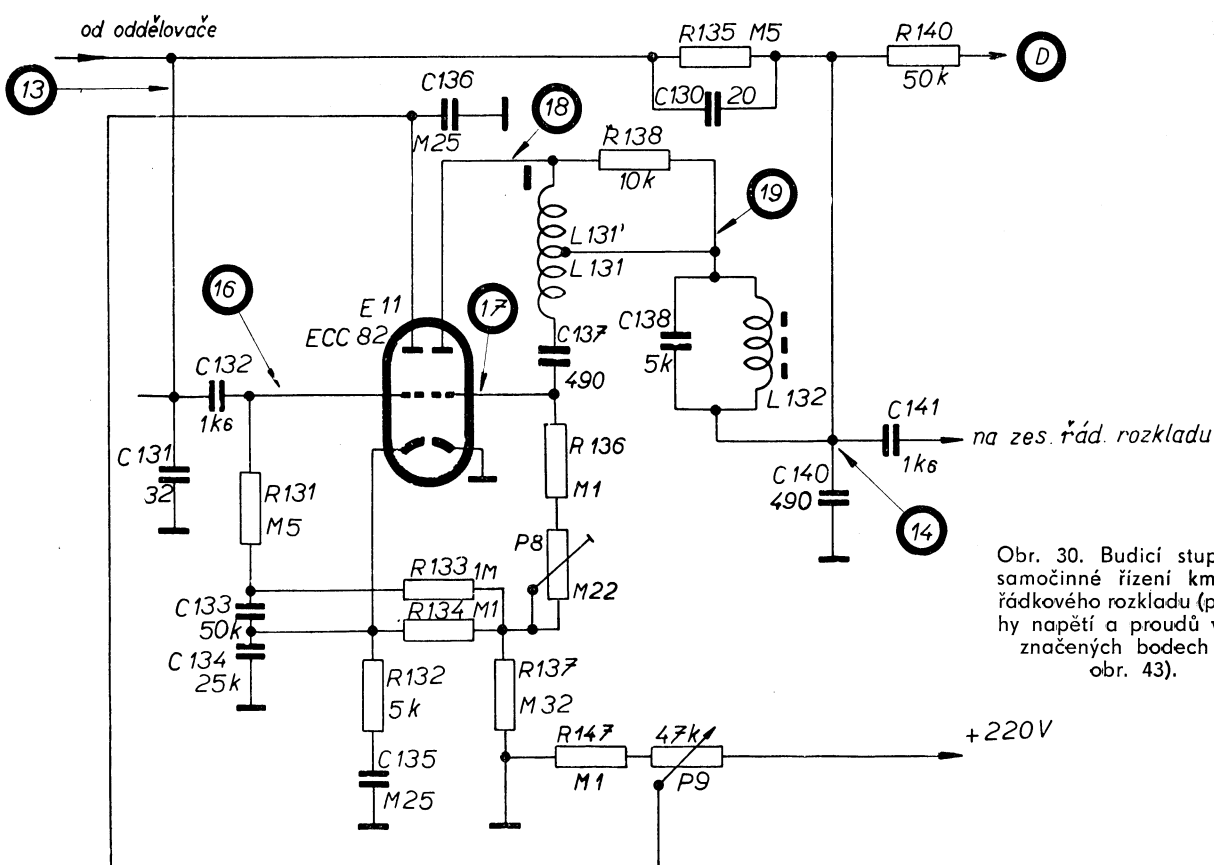
**Samočinné řízení kmitočtu budicího stupně rádkového rozkladu.**

U televizoru 4102 U a 4103 U se používá ke stabilisaci rádkového rozkladu samočinného řízení kmitočtu. Při tomto způsobu stabilisace se provádí fázové srovnávání smíšených impulsů. K tomu je použita elektronka E 11 se dvěma samostatnými triodovými systémy. Pravá trioda je zapojena jako rázový generátor a současně jako vybíjecí elektronka. Levá trioda je zapojena jako řídící elektronka, jejíž výstupní napětí ovládá rázový generátor. Zapojení i činnost tohoto stupně jsou patrné z obr. 30. Rázo-

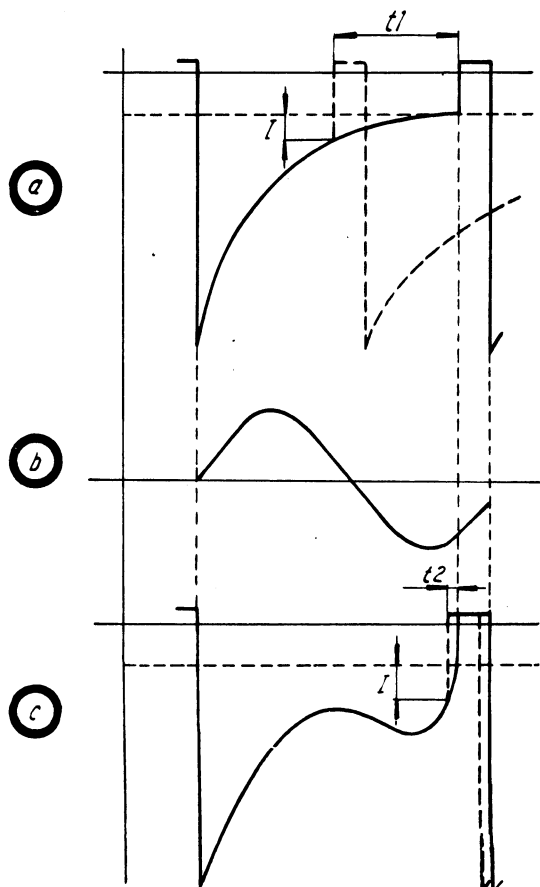




Obr. 29. Průběhy velikostí napětí a proudu synchr. impulušního snímkového rozkladu (viz obr. 23., 26. a 28.).

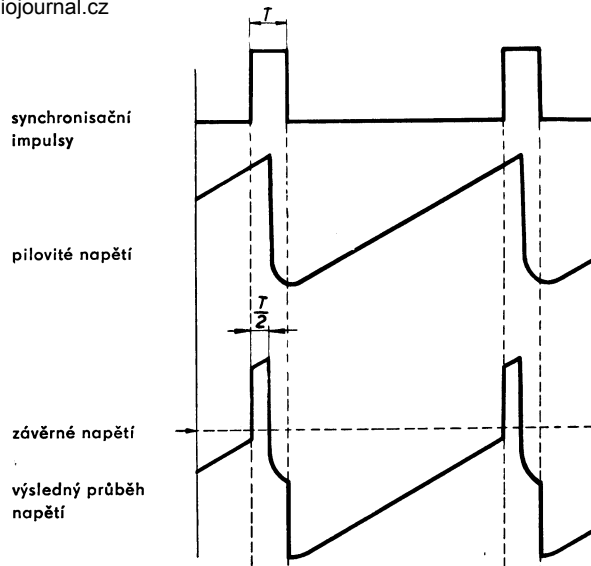


Obr. 30. Budici stupeň a samočinné řízení kmitočtu řádkového rozkladu (průběhy napětí a proudu ve vyznačených bodech na obr. 43.).

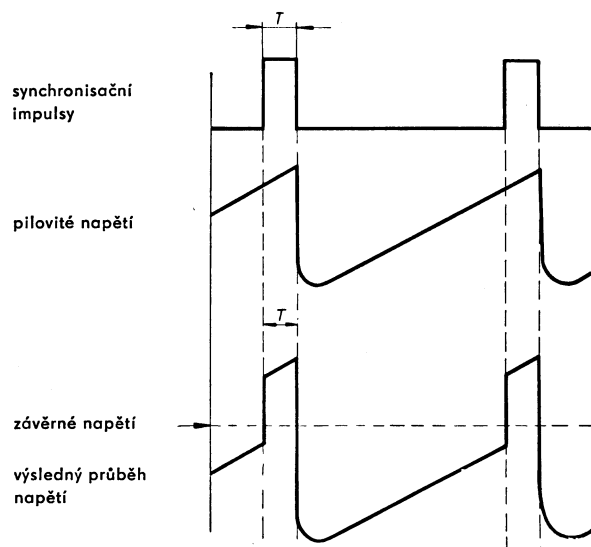


Obr. 31. Průběh napětí rázového generátoru proložený napětím sinus. průběhu

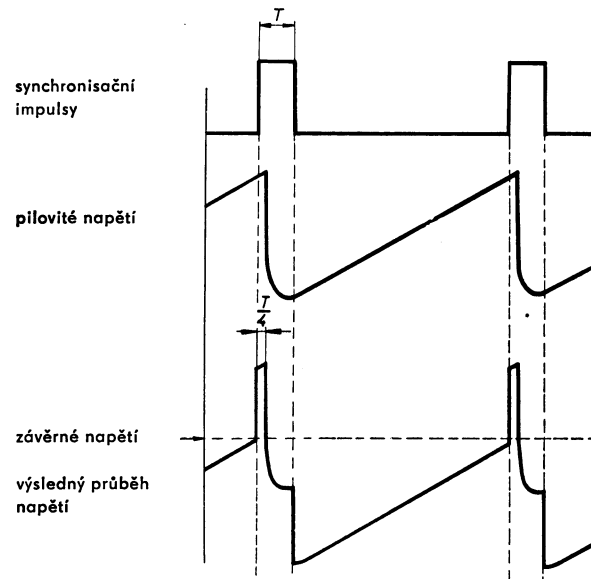
vý generátor pracuje stejně jako generátor snímkového rozkladu. U rádkového rozkladu je však generátor doplněn paralelním resonančním obvodem L 132, C 138. Obvod upravuje průběh napětí na mřížce rázového generátoru tak, jak je vyznačeno v obr. 31. Při původním průběhu napětí na řídící mřížce (průběh a) postačí i malý rušivý impuls k tomu, aby spustil generátor v nevhodný časový okamžik a tím i rozrušil obraz. Toto nebezpečí je tím větší, čím plošší je vybijecí křivka v místě těsně před ukončením vybijecího procesu. Proložíme-li nyní takový plochý průběh napětím sinusového průběhu, označeným b, obdržíme výsledný průběh c. Pak má vybijecí křivka těsně před ukončením vybijecího procesu značně strmý průběh a stejně velký rušivý impuls, který při původním uspořádání přivedl ráz v čase  $t_1$ , přivedl při úpravě s LC obvodem tento ráz teprve tehdy, je-li v bezprostřední blízkosti požadovaného spuštění. Tím je dána značná stabilita i odolnost rádkového rozkladu vůči poruchám. Kondensátor C 140 se nabíjí přes odporník R 140 anodovým napětím. V době otevření elektronky rázového generátoru se vybijí kondensátor C 140 přes paralelní resonanční obvod, vinutí L 131 a elektronku. Vybijecí proud vybudí paralelní resonanční obvod L 132, C 138 a na něm vzniklé sinusové napětí se superponuje na průběhu napětí řídící mřížky rázového generátoru (viz obr. 31). Aby se dosáhlo strmého průběhu při vrcholu vybijecí křivky, mohl být kmitočet sinusového napětí poněkud nižší nebo stejný jako kmitočet rázového generátoru (asi 15.000–15.625 Hz). Hloubka průhybu křivky je dána dynamickým odporem LC obvodu. Vlastní samočinné řízení kmitočtu rázového generátoru se provádí stejnosměrným napětím, přiváděným z obvodu řídící elektronky přes odporník R 133 na mřížku rázového generátoru. Na mřížku řídící elektronky se přivádí integrované pilovité napětí z kondensátoru C 140 přes členy R 135 a C 130 a synchronizační impulsy z oddělovače synchronizačních impulsů přes kondensátor C 102. Obě tato napětí se na řídící mřížce additivně mísení. Katodový odporník



Obr. 32. Průběh napětí na mřížce řídící elektronky při shodném kmitočtu pilovitého napětí i synchr. impulsů



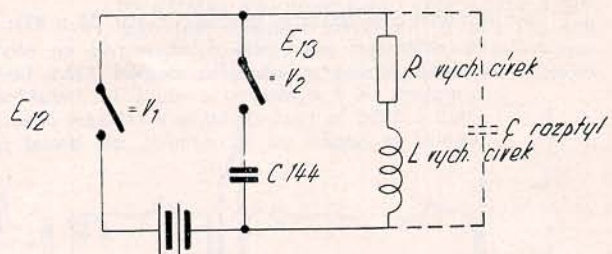
Obr. 33. Průběh napětí na mřížce řídící elektronky při nižším kmitočtu pilovitého napětí nežli synchr. impulsů



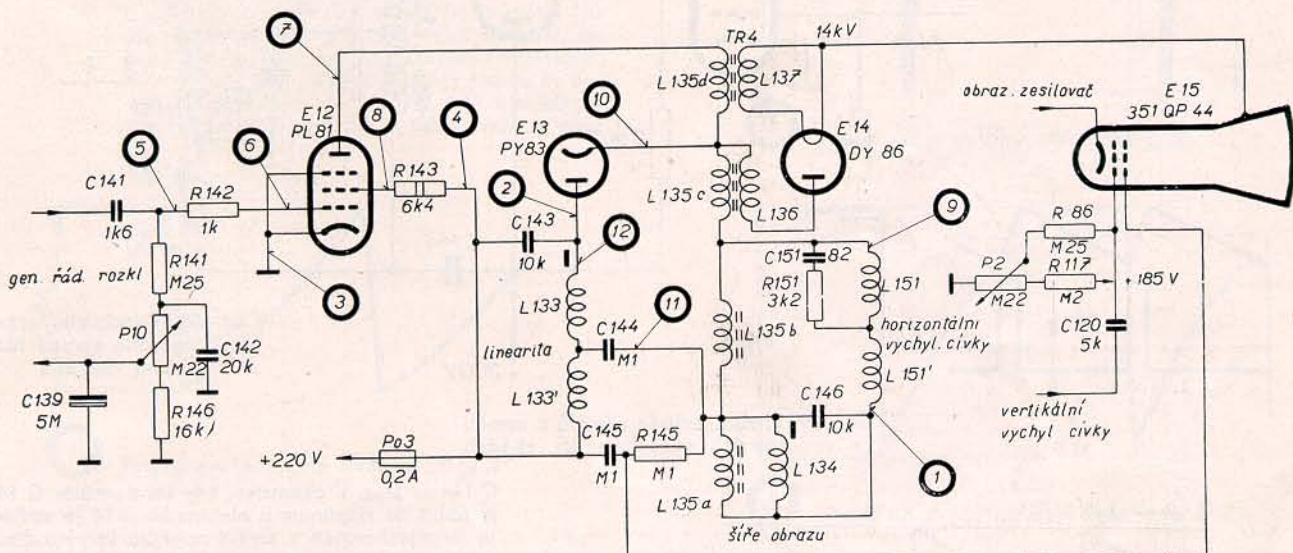
Obr. 34. Průběh napětí na mřížce řídící elektronky při vyšším kmitočtu pilovitého napětí nežli synchr. impulsů

dici elektronky (R 134) má poměrně velkou hodnotu, proto je mřížkové předpětí tak vysoké, že synchronizační impuls, ani integrované pilovité napětí samo o sobě, nestačí elektronku otevřít. Teprvé je-li synchronizační impuls v blízkosti maxima integrovaného pilovitého napětí, stačí jejich součet elektronku otevřít. (Viz obr. 32, 33, 34.) Způsobeným proudovým nárazem se nabije katodový kondensátor C 134. Bude-li rázový generátor mít stejný opakovací kmitočet jako synchronizační impulsy, nastane případ, vyznačený na obr. 32. Bude-li opakovací kmitočet nižší, nastane případ, vyznačený na obr. 33. Bude-li však vyšší, nastane případ, vyznačený na obr. 34. Podle šíře synchronizačního impulsu, superponovaného na parabolický průběh rozkladového kmitočtu, mění se velikost napětí na kondensátoru C 134. Změny tohoto napětí ovlivňují velikost předpětí rázového generátoru a tím upravují kmitočet. Na př., je-li kmitočet rázového generátoru vyšší, posune se větší část synchronizačního impulsu vpravo pod vrchol parabolického průběhu. Činná část impulsu se tím zmenší, napětí na kondensátoru C 134 a tím i na řídící mřížce

indukčností vychylovacích cívek a přemění se na energii magnetickou, avšak se špičkovým proudem opačného smyslu. Aby se uplatnila pouze první polovina prvého kmitu tlumených oscilací, připojuje se parallelně k vychylovacím cívkám po ukončení zpětného běhu kondensátor, do něhož se pak



Obr. 36. Náhradní schema koncového stupně řádkového rozkladu



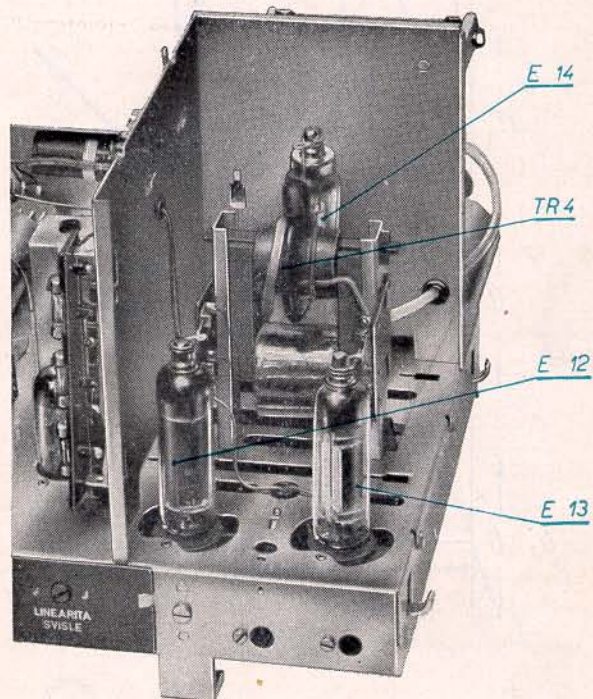
Obr. 35. Koncový stupeň řádkového rozkladu (průběhy napětí a proudů ve vyznačených bodech v obr. 43)

rázového generátoru se rovněž zmenší, což způsobí i snížení kmitočtu rázového generátoru. Při nižším kmitočtu se proces analogicky opakuje s tím rozdílem, že výsledné řídící napětí je vyšší a způsobí vzrůst rázového kmitočtu. Kmitočet rázového generátoru se řídí popsaným pochodem samočinně na kmitočet synchronizačních impulsů. Ruční ovládání kmitočtu rázového generátoru se děje hrubě změnou vybíjecího odporu potenciometrem P 8 a jemně potenciometrem P 9, ovládaným knoflikem F (viz obr. 3). Tím měníme anodové napětí i pracovní režim řídící elektronky a tak základní úroveň regulačního napětí. Ceny R 132 a C 135 tvoří dolnofrekvenční propust, která má zabránit rozhoupání celé soustavy při náhlé změně napájecího napětí, na př. při přepnutí na jiný kanál.

#### 05.10 Koncový stupeň řádkového rozkladu.

(Schema viz na obr. 35.)

Elektronka E 12 pracuje jako spinač, který připojuje vychylovací cívky na zdroj stejnosměrného proudu. Vzhledem ke značné indukčnosti vychylovacích cívek i autotransformátoru, jenž vychylovací cívky přizpůsobuje obvodu elektronky E 12, stoupá ve vychylovacích cívkách podle zákona nestacionárního zjevu proud. Během stoupání proudu vychylovacími cívkami se vychyluje bod na stínítku, až do pravé krajní polohy. Na konci aktivního běhu odpojí elektronka E 12 zdroj proudu. Magnetická energie, nashromážděná na konci řádku v indukčnosti vychylovacích cívek a autotransformátoru, přemění se na energii elektrickou a nabije rozptýlové kapacity. Tyto kapacity spolu s indukčností tvoří LC oscilační obvod. Proto projde náboj opět

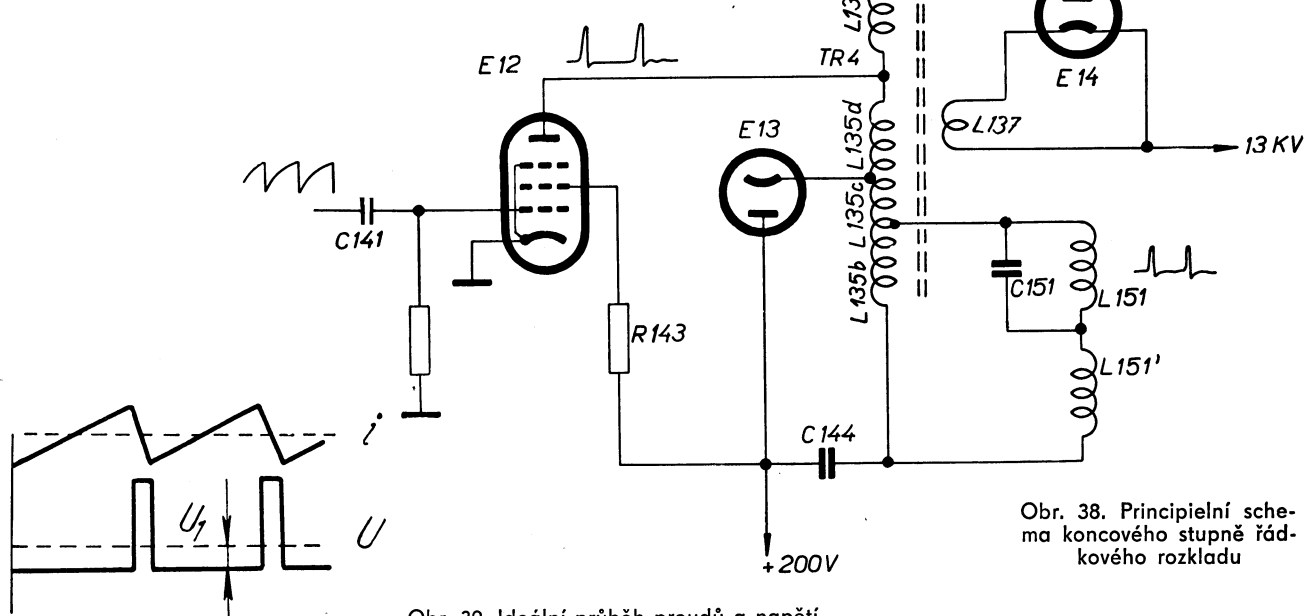


Obr. 37. Rozmístění součástí koncového stupně

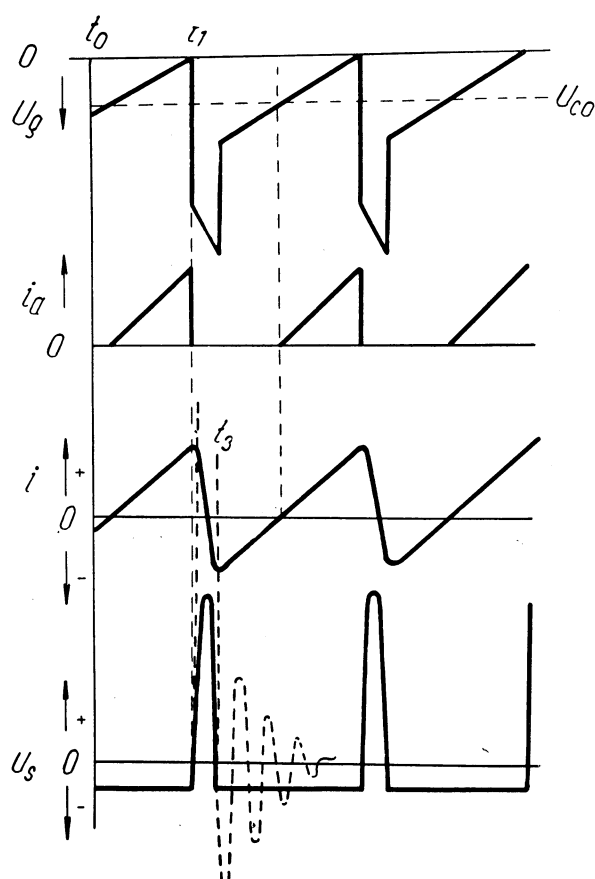
akumuluje veškerá energie z vychylovacích cívek. Poté je nutno tento kondensátor odpojit. Schematicky je koncový stupeň horizontálního rozkladu naznačen na obr. 36. Připínání a odpínání kondensátoru C 144 provádí dioda E 13. Tímto uspořádáním lze využít energie, nashromážděně v kondensátoru C 144, ke zvýšení účinnosti koncového stupně.

Činnost celé soustavy je tato (viz obr. 38 a 41): Po nažhavení elektronky E 12 uzavře se obvod stejnosměrného proudu přes vinutí L 135d, transformátoru TR 4 a vodičovou diodu E 13. Indukčnost vinutí L 135d je značná, takže v krátkém čase po zapnutí se napětí na ní nezmění, ale proud při-

růstá lineárně s časem. Na indukčnosti L 135b a L 135c vznikne napětí, které nabije kondensátor C 144. Strmým impulsem z budicího stupně, přivedeným na řídící mřížku elektronky E 12, se přeruší proud v tomto obvodu a vznikne rychlý kmit, jehož důsledkem je značný pozitivní impuls (špička) na anodě elektronky E 12. Po ukončení zpětného běhu je katoda diody E 13 zápornější nežli anoda, dioda vede a nabíjí kondensátor C 144 nashromážděnou energií, takže náboj na kondensátoru



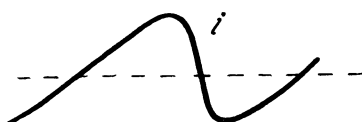
Obr. 39. Ideální průběh proudů a napětí ve vodorovných vychylovacích cívkách



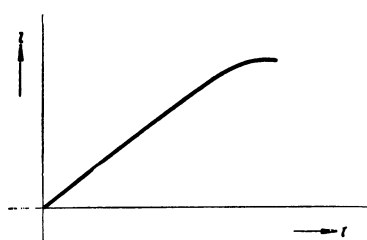
Obr. 40. Skutečné průběhy proudů a napětí v koncovém stupni rádkového rozkladu

C 144 vzroste. V okamžiku, kdy kondensátor C 144 je nabít na maximum a elektronka E 12 je vodivá, je napájecí napětí v serií s napětím kondensátoru C 144 a na indukčnosti L 135 je součet obou napětí. V příští periodě, kdy není na řídící mřížce elektronky E 12 závěrné napětí, stoupá opět proud vinutím L 135, až další impuls řídící mřížky elektronky E 12 uzavře a proces se opakuje. Podmínkou dobré účinnosti koncového stupně je, aby zpětný běh paprsku se vykonal pomocí poloviny kmitu vlastního kmitočtu LC obvodu, tvořeného soustavou vychylovacích cívek, autotransformátorem a rozptylovými kapacitami. Proto má být vlastní kmitočet obvodu asi 60–80 kHz. To ovšem vyžaduje, aby vlastní kapacity obvodu byly udrženy na minimu, což je nutno při údržbě mít vždy na zřeteli.

Kladný impuls, vzniklý na anodě elektronky E 12, se při zpětném běhu, jak uvedeno, transformuje



Obr. 41. Skutečný průběh proudu vychyl. cívkami



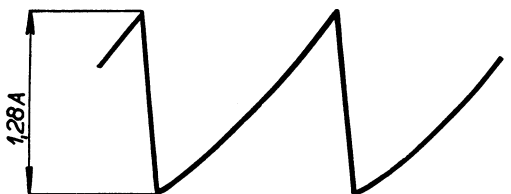
Obr. 42. Zakřivení proudového průběhu vlivem reálného odporu vychylovacích cívek

vinutím L 136 na hodnotu 12 až 14 kV a usměrňuje diodou E 14, žhavenou vinutím L 137 transformátoru TR 4. Usměrněného vysokého napětí se používá jako urychlovacího napětí pro obrazovku E 15.

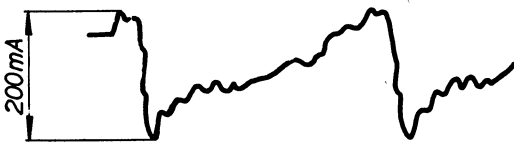
Pohled na koncový stupeň řádkového rozkladu (bez krytu) je na obr. 37.

Uvažovaný průběh napětí a proudu ve vychylovacích cívkách měl by mít tvar, vyznačený na obr. 39. Skutečný proudový průběh (viz obr. 41) musí však respektovat tyto skutečnosti:

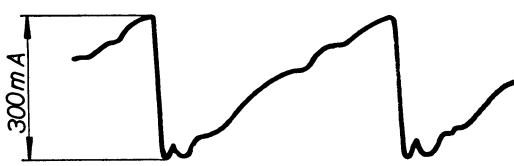
- a) stínítko obrazovky je s uvažovaného stanoviska skoro rovinné, takže vzdálenost stínítká od vychylovacích cívek je na okraji stínítká podstatně větší nežli v jeho středu. Aby bylo možno dodržet konstantní rychlosť paprsku po celé délce stínítká, musí mít proud, protékající vychylovacími cívkami, prakticky průběh podle obr. 41; tedy na počátku a na konci poněkud zaoblený ve tvaru »S«,
- b) vychylovací cívky představují pro pilovitý kmitočet nejen odpor induktivní, ale i reálný, což působí úbytek napětí při růstu vychylovacího proudu. Tím by na konci aktivního běhu došlo k zakřivení proudového pilovitého průběhu (viz obr. 42). Požadovaného pilovitého průběhu, jakž i kompenzace průběhu zakřivení vychylovacího proudu z titulu reálné složky záteze se dosáhne linearizační tlumivkou L 133. Indukčnost této linearizační tlumivky se řídí jádrem, k jehož



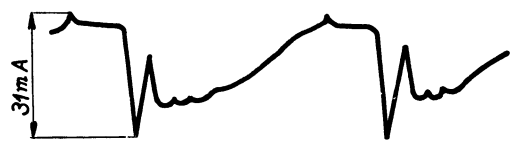
1 Průběh proudu vychylovacími cívkami L51, L51'



2 Průběh proudu diodou elektronky E 13



3 Průběh proudu katodou elektronky E 12

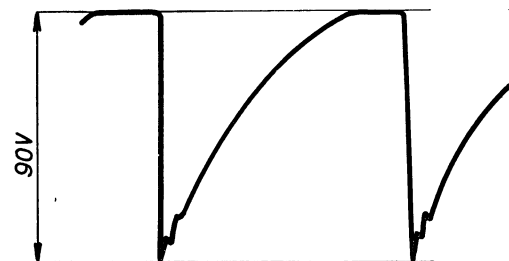


4 Průběh proudu druhé mřížky elektronky E 12

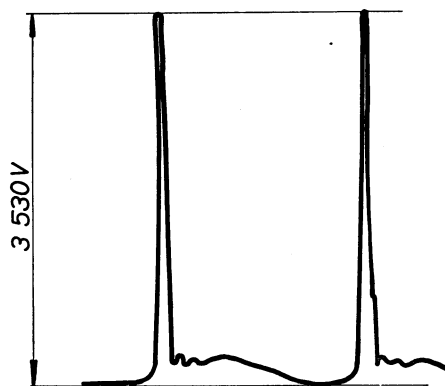
natačení je určen nastavovací kolík 3 PA 013 03. Šíře obrazu se řídí změnou indukčnosti L 134, která je zapojena paralelně k vychylovacím cívkám přes odbočku na transformátoru. Tím se vlastně reguluje proud, protékající vychylovacími cívkami. Jak z výkladu patrná, vznikají na koncovém stupni řádkového rozkladu značné napěťové špičky, dosahující 16–18 kV. Napěťové špičky jsou proto životu nebezpečné a ruší také (jak základní frekvenci 15 625 Hz, tak i harmonickými kmitočty) v okolí televizoru, na př. rozhlasové přijimače. K omezení tohoto



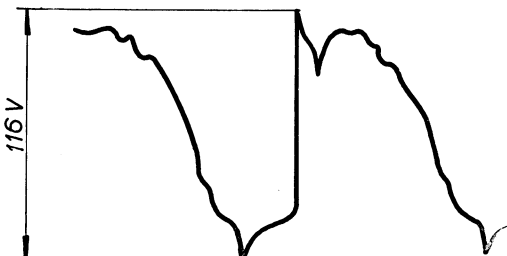
5 Průběh proudu řídící mřížky elektronky E 12



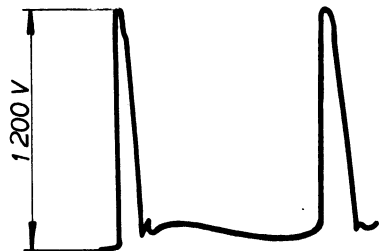
6 Průběh napětí na řídící mřížce elektronky E 12



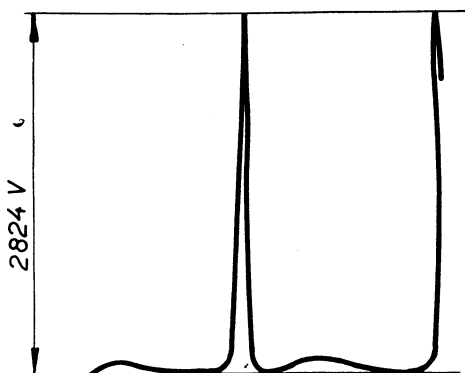
7 Průběh napětí na anodě elektronky E 12



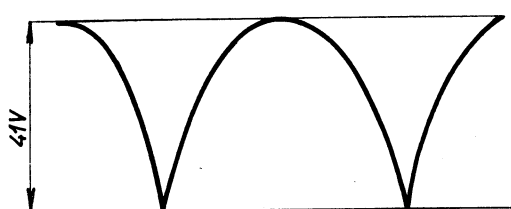
8 Průběh napětí na druhé mřížce elektronky E 12



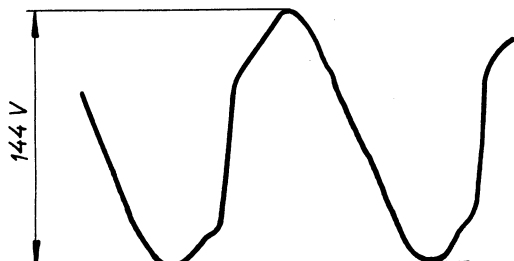
9 Napětí na vychylovacích cívkách L51, L51'



10 Napětí na katodě diody E13



11 Napětí na kondensátoru C144



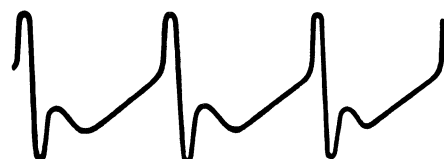
12 Napětí na indukčnosti L133



13 Rádkové synchronizační impulsy



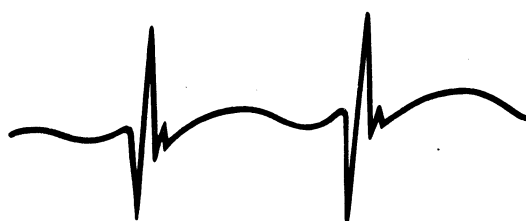
14 Napětí na kondensátoru C140



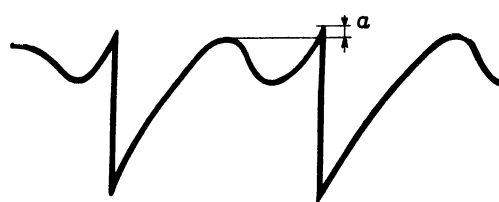
16 Napětí na řídící mřížce elektronky E11



17 Mřížkové napětí ráz generátoru



18 Anodové napětí ráz. generátoru



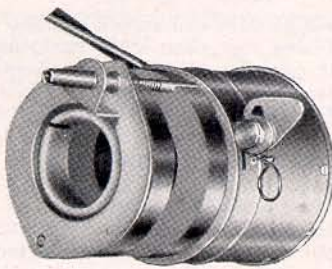
19 Výsledné napětí uzlu L131, L131' a L132

vyzařování jsou do přívodů ke katodě i anodě účinnostní diody E 13 vřazený tlumivky L 130 a L 129 (viz přílohu I.). Z bezpečnostních důvodů jakož i pro snížení úrovně rušení je celý koncový stupeň rádkového rozkladu umístěn ve stínícím krytu. Neodstraňujte proto nikdy trvale tento kryt, i když zadní stěnu rádne připevníte. Průběhy a velikosti napětí i proudu v obvodech rádkového rozkladu jsou vyznačeny na obr. 43. Jednotlivé průběhy jsou měřeny v místech, označených shodnými čísly v kruhu, na obr. 30 a 35.

#### 05.11 Obvod obrazovky:

05.11.1 Regulace jasu se provádí změnou kladného potenciálu řídící mřížky obrazovky potenciometrem P 2. Hrubé nastavení se provede nastavitelným odporem P 11. Maximální proud obrazovky je při plném jasu asi 80  $\mu$ A.

05.11.2 Zaostření paprsku je provedeno dvěma ferritovými prstencemi, axiálně z magnetisovanými, jež jsou vzájemně natočeny tak, že jejich magnetická pole působí proti sobě. Změny výsledného magnetického toku a tím i zaostření obrazu se dosáhne vzájemným posuvem obou prstenců. Provádí se to nastavovacím kolíkem, kterým otáčíme šroub o velkém stoupání. Šroub unáší volný prstenec; druhý prstenec je přitímen ke krytu vychylovacích cívek.



Obr. 44. Vychylovací jednotka

05.11.3 Obrazovky 351 QP 44 i 430 QP 44 mají šíkmou elektronovou trysku a vyžadují proto iontovou past, která stáčí elektrony do osy obrazovky. Jinak nelze obrazovku rozjasnit. Z katody vystupují elektrony i ionty vzhledem k ose obrazovky šikmo – asi pod úhlem 11°. Vlivem magnetického pole iontové pasti se stáčí lehké elektrony po kruhové dráze do směru osy obrazovky, kdežto těžké ionty, které by jinak poškodily stínítko obrazovky, dopadají mimo stínítko – na sklo hrdla obrazovky. Jako iontové pasti je použito permanentního magnetu ze slitiny Al – Ni s polovými nástavci. Při seřizování iontové pasti je nutno mít na zřeteli, že nesprávné nastavení iontová past způsobuje zvýšení katodového proudu a tím rychlé zničení obrazovky. Iontová past se zásadně nastavuje na maximální jas stínítka, bez ohledu na případné stíny v rozích. Stíny se odstraní správným středěním obrazu.

05.11.4 Středění obrazu na stínítku obrazovky se provádí exenticky pohyblivým polovým nástavcem permanentního magnetu zaostřovacího prstence na straně u vychylovacích cívek. Prstenec se ovládá nástavcem P (viz obr. 3), po povolení aretačního šroubu.

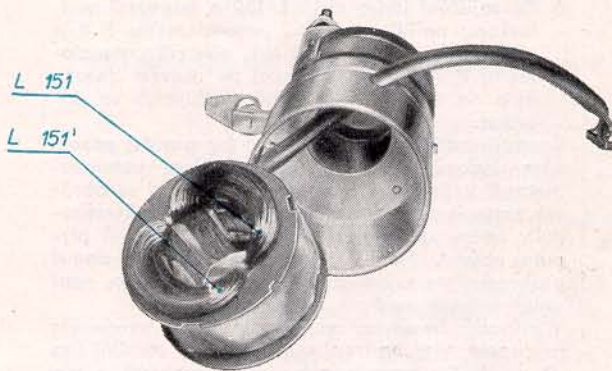
05.11.5 Vychylovací cívky jsou nízkoimpedanční, kryty hliníkovým krytem, na něž jsou uchyceny zaostřovací magnety a střední prstenec. Na obraze 44 a 45 je pohled na vychylovací jednotku a vysunuté vychylovací cívky.

#### 05.12 Síťová napájecí část.

Televizory 4102 U a 4103 U jsou napájeny přímo ze sítě a pro usměrnění anodového napětí se používá jednocestného selenového usměrnovače. K omezení proudu v rámci při zapnutí je do síťového přívodu vřazen odpor R 164. Kondensátor C 171 zabírá vnikání parohu ze sítě do přijímače a naopak vyzařování rozkladových frekvencí do světelné sítě.

Usměrněný proud se vyhlažuje filtračním řetězcem z členů C 161, C 163, C 164, C 162, TL 1, R 168 a R 166, R 165. Podle toho, jaký stupeň vyhlažení potřebují, jsou jednotlivé díly televizorů napájeny z bodů A, B, C a D.

Žhavení všech elektronek je provedeno seriově proudem 300 mA. Potřebné žhavicí napětí pro



Obr. 45. Vychylovací cívky vysunuty z krytu

vlákná elektronek zapojená v serii je asi 151 V. Zbývajících 69 V se sráží odporem R 167 a odporem W 1, jehož hodnota se mění s teplotou. Odpor W 1 zmenšuje počáteční nárazový proud při nažhavování.

Pořadí žhavení jednotlivých elektronek bylo zvoleno s ohledem na možné interference i na požadavek nejnižšího střídavého napětí na vláknu nezasilovače, vzhledem k charakteru jeho zapojení. Obvod žhavicí i anodový je jištěn pojistkami Po 2 a Po 1. Dvoupolový spinač síťového přívodu je spojen s potenciometrem P 1 a ovládán knoflíkem A (viz obr. 3).

## 06 POSTUP PŘI SEŘIZOVÁNÍ OBRAZU PRVKY, KTERÉ SE NEOVLÁDAJÍ KNOFLÍKY

#### 06.1 Iontová past.

Po nažhavení přijímače ztlumíme jas obrazovky na minimum. Poté posunujeme iontovou pastí 7 (viz obr. 6) ve směru podélné osy obrazovky, až dosáhneme maximálního jasu stínítka. Maximální jas stínítka je konstantní v určitém rozsahu posunu iontové pasti.

Správná je ta poloha, v níž při maximálním jasu je iontová past co nejbliže k patici obrazovky. V této poloze natáčíme iontovou pastí (bez axiálního posunu), až dosáhneme maximálního jasu stínítka. Gumové obložení polových nástavců dostatečně zajistuje polohu iontové pasti na hrdle obrazovky. V případě, že se obraz při zaostrování zaostřovací jednotkou posouvá po stínítku, můžeme tuto závadu odstraniti pohybem iontové pasti, avšak jen v oblasti maximálního jasu. Je naprostě nepřípustné odstraňovati stíny v rozích stínítka kompromisní nastavením iontové pasti, protože by se zničila obrazovka (viz 05.11.3).

#### 06.2 Šíkmá poloha obrazu na stínítku

Šíkmá poloha obrazu na stínítku je zaviněna vadou polohou vychylovacích cívek. Povolime proto prstenec 11 (obr. 6), obepínající kryt vychylovacích cívek spolu s nosným systémem obrazovky. Při vysílání monoskopu nastavíme vychylovací jednotku tak, aby obraz byl postaven kolmo. Poté upevňovací prstenec utáhneme. Dbejte při tom, aby vychylovací cívky přilehlily na kuželovou část obrazovky.

#### 06.3 Středění obrazu

Středění obrazu se provádí opět při monoskopu na stínítku obrazovky. Po povolení aretačního šroubu 8 (viz obr. 6) pohybujeme nástavcem středícího kroužku 9, až nastavíme obraz přesně do středu stínítka. Poté aretační šroub přitáhneme.

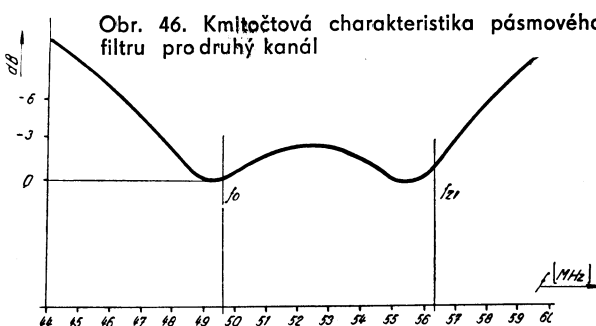
#### 06.4 Ostření

Ostření provádíme bez obrazového signálu při středním jasu obrazovky otáčením šroubu 6 (viz obr. 6), jímž měníme vzdálenost obou magnetových prstenců.

- 06.5** **Vodorovnou linearitu seřizujeme opět při monoskopu nebo mřížích na stínítku obrazovky.** Otáčením jádra v cívce L 133 (viz obr. 63) dosáhneme stejně rozteče kolmých čar na pravé i levé straně monoskopu nebo mříží.
- 06.6** **Šířku obrazu upravíme při monoskopu na stínítku obrazovky stáčením jádra v cívce L 134 (viz obr. 63).**
- 06.7** **Řádkovou synchronisaci lze nastavit teprve po patnáctiminutovém provozu přijimače pomocí zkušebního obrazce nebo televizního programu při nařízených regulátorech kontrastu a jasu na normální úrovni takto:**
1. Jádro cívek rázového generátoru L 131, L 131' (spodní) našroubujte do hloubky 5 až 10 mm, potenciometr P 9 do střední polohy.
  2. Potenciometr P 8 (hrubá regulace) nařídíte tak, aby obraz zůstal v klidu.
  3. Přes oddělovací člen, tvořený odporem 0,1 MΩ a kondensátorem 20 pF v řadě připojíme osciloskop (PHILIPS GM 5654 nebo GM 5650; Křížik 531; Orion 1541) na bod 19 vyznačený v obr. 30.
  4. Zasynchronisujeme průběh napětí na osciloskopu (viz obr. 43, průběh 19) a nařídíme jeho výšku na 4 cm.
  5. Otáčením jádra cívky L 132 nařídíme takový tvar křivky, u nějž je oblouk křivky o 1–2 mm nižší než hrot zakresleného průběhu (viz obr. 43, průběh 19, míra »a«).
  6. Po zajištění jádra cívky L 132 a odpojení osciloskopu nařídíte souhru potenciometru P 8 a jádra cívky L 131 obraz tak, aby při potenciometru P 9 (jemná regulace) na pravém dorazu bylo na stínítku 6–8 pruhů svažujících se doprava.
- Kontrolu nařízení synchronisace lze provést pozorným sledováním obrazu při protáčení potenciometru P 9. Je-li nařízení v pořádku, musí se obrázek zastavit při protáčení potenciometru z kteréhokoli směru; při protáčení musí počet pruhů plně užívat. Není-li tomu tak, nebo přejdou-li pruhy skokem z jednoho sklonu do druhého, není synchronisace správně nařízena.
- V případě, že po seřízení synchronisace uvedeným postupem není nařízení synchronisace stabilní (na př. po delším provozu nelze obraz zastavit), nutno u přijimače z prvek výrobní serie provést úpravy uvedené pod 10.34.
- 06.8** **Svislou linearitu řídíme a kontrolujeme za týchž podmínek, jak uvedeno pod 06.5 nastavitelným od-**
- \*) Pozor!** Přístroje prvek výrobní serie nutno upravit podle pokynů uvedených v odst. 11.1.
- porem P 6 hrubě a P 7 jemně (viz obr. 63 a 64); t. j. ovládacím prvkem J obr. 3.
- 06.9** **Výšku obrazu měníme za týchž podmínek jako v 06.6 potenciometrem P 5 (viz obr. 63), t. j. ovládacím prvkem H obr. 3.**
- 06.10** **Snímkovou synchronisaci seřídíme takto:** Nastavitelným odporem P 3 (obr. 64) a potenciometrem P 4 (ovládací prvek E obr. 3) nařídíme osciloskopové vychylování tak, aby se obraz nepohyboval. Seřídíme výšku obrazu (podle odstavce 06.9) a obě linearity (podle odstavce 06.8). Při seřizování linearity se doporučuje nastavit trojúhelníky v horní části zkušebního obrazce poněkud nižší (stlačené) s nepatrnou rezervou zpětného běhu. Teprve je-li seřízena linearita obrazu oběma nastavitelnými odpory P 6, P 7 (ovládací prvek J obr. 3) a výška obrazu nastavitelným odporem P 5, možno nastavit kmitočet snímkového rozkladu. Potenciometr P 4 (prvek E obr. 3) pro jemnou regulaci vytvoříme zcela doprava (t. j. ve směru pohybu ručiček hodin) a nastavitelný odpor P 3 k hrubé regulaci nařídíme tak, aby obraz zvolna postupoval směrem dolů rychlostí asi 3 obrazy za vteřinu. Při kontrole synchronisace snímkového rozkladu nemusí obraz zůstat v klidu, vytvoříme-li potenciometr P 4 (ovládací prvek E v obr. 3) zcela doleva.
- 06.11** Bude-li se nám v oblastech slabého signálu obraz vodorovně vlnit nebo křivit, nastavíme jádro cívky L 132 (viz obr. 63) při slabém kontrastu tak, jak uvedeno pod 06.7. Při značném šumu a nápadně malém kontrastu, jakož i při pronikání zvukového doprovodu se pokusíme doložit osciloskop ve vf dílu tak, abychom dostali nejlepší obraz. Po odejmutí knoflíků B a C (viz obr. 3) nastavíme doložovací kondensátor (ovládací prvek C) tak, aby otvorem v jeho doložovací pertinaxové destičce (viz pol. 2 na obr. 12) bylo možno vsunout tenký šroubovací (viz obr. 11) do zárezy mosazného jádra osciloskopu (viz 4 na obr. 12). Opatrným natáčením hledáme nejkvalitnější obraz. Po doložení namontujeme opět knoflíky B a C.
- POZOR!** Doložování provádíme dlouhým šroubovákem z isolací hmoty (kovový šroubovák osciloskopu rozladí). Mosazné jádro, které je přidržováno pérkem (viz pol. 3 na obr. 12) seřizujeme velmi opatrně, abychom je nezatlačili dovnitř cívky. Odnímáme-li knoflíky, musí být přijimač bezpodmínečně oddělen od sítě oddělovacím transformátorem.

## 07 POSTUP PŘI VYVAŽOVÁNÍ JEDNOTLIVÝCH OBVODŮ

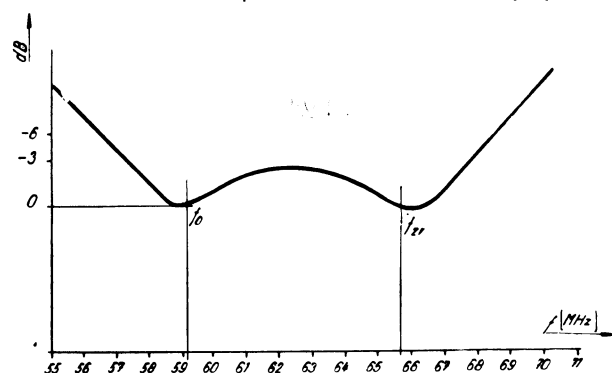
Všechny laděné obvody televizního přijimače jsou ve výrobním závodě pečlivě nastaveny a zajištěny proti samovolnému rozladění. Proto zásadně nehýbáme ladícími prvky, pokud jsme prokazatelně nezjistili rozladění. Odchylky proti předepsaným průběhům mohou nastat po výměně důležitých částí (mechanickým poškozením nebo neodborným zásahem). Polohy jednotlivých ladících prvků jsou vyznačeny v obr. 63. Polohy jednotlivých cívek ve vf dílu jsou patrné z obr. 12, 51 a 53. Přívody ve signálů musí být co nejkratší a provedeny koaxiálním kabelem s odpovídajícím impedančním zakončením.



### 07.1

#### Vysokofrekvenční díl.

**Upozornění!** Cívková těleska vf dílu jsou zajištěna v příslušných polohách záhytnými výštipy, upravenými na čele karuselu. Při jejich vyjmání je nutno postupovat opatrně, aby se častým ohýbáním výštip neodlomil. Odhybání je nutno prováděti plochými kleštěmi, a to tak, aby se výštip nedeformoval a aby bylo možno cívkové tělesko vyjmout při minimálním otevření výštipu.



Obr. 47. Kmitočtová charakteristika pásmového filtru pro třetí kanál

**Potřebné měřicí přístroje:**

1. Rozmítací (vobulátor) o kmitočtovém rozsahu laďených kanálů (30–230 MHz) s frekvenčním zdvihem alespoň 15 MHz.
2. Osciloskop, pokud není součástí rozmítace.
3. Stejnosměrný elektronkový voltmetr.

Opravnám, v nichž bude častěji seřizován vf díl televizního přijímače, doporučujeme zhotovit izolační desku s anodovým zdrojem o napětí asi 185 V pro zatížení 23 mA a s žhavicím napětím 16,5–17 V pro zatížení 300 mA, s možností kontroly žhavicího proudu. Jako zdroje předpětí je nejlépe použít kapacitní baterie překlenuté potenciometrem, jímž nastavíme předpětí na hodnotu 1,5 V. S tímto přípravkem je práce pohodlnější a ekonomická. Před laděním odstraníme z vf dílu kovový kryt a z karuselu vyjmeme všechny cívkové soupravy mimo cívky pro vyvažovaný kanál.

**07.1.1 Seřízení oscilátoru :**

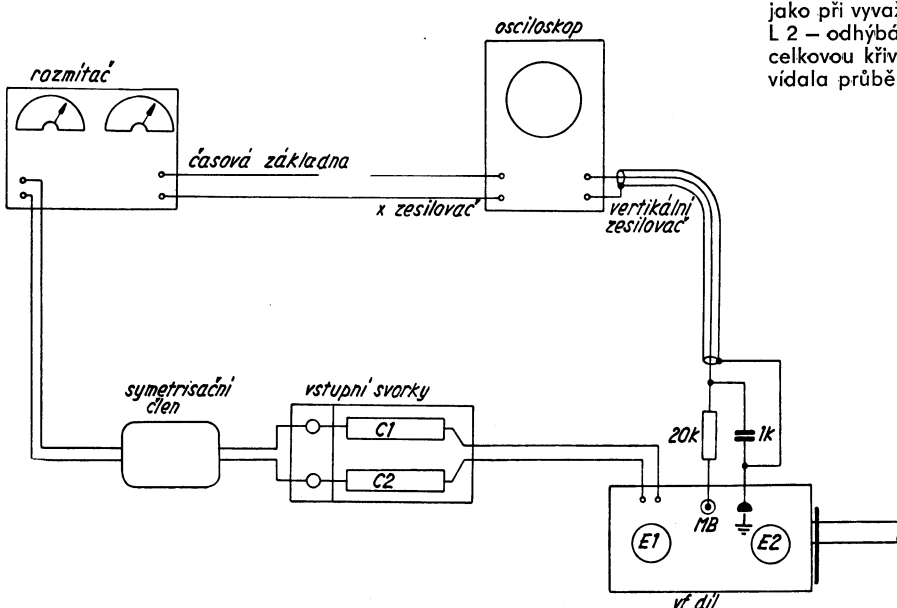
Kmitočty oscilátoru pro jednotlivé kanály jsou:

Kanál č.	Kmitočtový rozsah MHz	Nosný kmitočet MHz		Kmitočet oscil. MHz	Pásma
		obrazu	zvuku		
2	48,5 – 56,5	49,75	56,25	89,25	
3	58 – 66	59,25	65,75	98,75	I
4	174 – 182	175,25	181,75	214,75	
5	182 – 190	183,25	189,75	222,75	
6	190 – 198	191,25	197,75	230,75	
7	198 – 206	199,25	205,75	238,75	
8	206 – 214	207,25	213,75	246,75	
9	214 – 222	215,25	221,75	254,75	
10	222 – 230	223,25	229,75	262,75	

Předběžné nastavení cívky oscilátoru L 5 lze provést pomocí záznějového vlnoměru nebo podle značky při snímání křivky rozmítacem. Nastavení cívek pásmového filtru L 3, L 4 provádí se pomocí rozmítace tak, aby křivka na osciloskopu odpovídala tvarem křivce na příslušném obrázku. Na obr. 46 a 47 jsou vyznačeny normální kmitočtové charakteristiky pro 2. a 3. kanál.

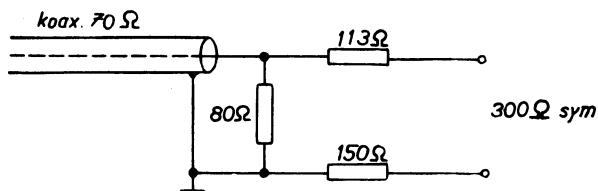
**07.1.2 Postup při vyvažování pásmového filtru :**

Schema propojení měřicích přístrojů při snímání kmitočtové charakteristiky vf dílu rozmítacem je zakresleno na obr. 48. Aby zobrazený průběh odpovídal skutečnosti, je třeba splnit tyto podmínky:



Obr. 48. Zapojení přístrojů při snímání kmitočtové charakteristiky rozmítacem

1. Výstup rozmítace musí být zatížen zakončovacím odporem, předepsaným pro každý typ rozmítace.
2. Osciloskop je nutno připojit přes odpor 20 kΩ. Přívod k osciloskopu za tímto odporem je nutno blokovat proti kostře slídovým nebo keramickým kondensátorem 1000 pF. Výstup z rozmítace zapojíme na bod 7 (viz základní schema) vstupního obvodu a chassis. Vstupní cívky L 1 a L 2 vyjmeme z karuselu. Na měrný bod MB (viz obr. 12), t. j. na kondenzátor C 12, připojíme vstup osciloskopu stíněným přívodem, blokováným proti kostře kondenzátorem 1000 pF, jak naznačeno v obr. 48. Rozšíření kmitočtové charakteristiky pásmového filtru dosáhneme zvýšením vazby obou okruhů filtru, t. j. jejich vzájemným přiblížením. Zúžení křivky dosáhneme analogicky oddálením obou okruhů filtru. Vyvážení obvodů provedeme odhýbáním či posouváním závitů příslušné části filtru.



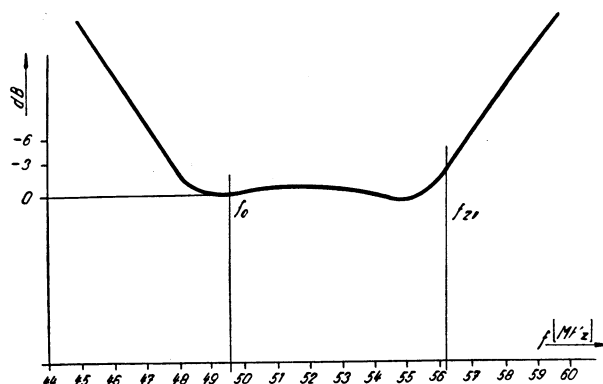
Obr. 49. Odporný symetr. člen – zeslabení asi 6 dB

Po dosažení žádané kmitočtové charakteristiky pásmového filtru kontrolujeme předepsanou hodnotu napětí, indukovaného oscilátorem do obvodu řídicí mřížky směšovače. Napětí, které měříme stejnosměrným elektronkovým voltmetretem na měrném bodu MB, má být na všech kanálech v rozmezí 3,5–4,5 V. Při měření je nutno použít elektronkového voltmetu s kladným polem spojeným s kostrem a se stíněným přívodem, jinak jsou naměřené hodnoty vlivem indukce cizích napětí nesprávné. Velikost indukovaného napětí lze měnit přiblížením či oddálením vinutí L 5 od L 4 (viz rozměr d na obr. 51).

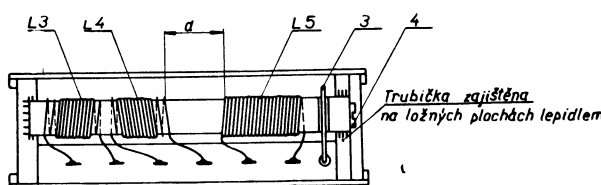
**07.1.3 Přizpůsobení vstupního obvodu :**

Po vyvážení pásmového filtru a nastavení úrovně indukovaného napětí pro žádaný kmitočet oscilátoru doladíme vstupní obvod. Cívková těleška vstupního obvodu L 1, L 2 zasuneme do kanálového vozu. Výstup rozmítace připojíme přes symetrisační člen na vstupní svorky přijímače. Výstup rozmítace musí být dokonale přizpůsoben na 300 ohmový vstup přijímače – nejvyšší přípustná odchylka je 3%. K přizpůsobení je vhodný symetrisační člen TESLA 3 PN 050 22 (viz obr. 4), nebo odporný symetrisační člen podle obr. 49. Vstup osciloskopu zůstane připojen na měrný bod stejným způsobem jako při vyvažování pásmového filtru. Laděním cívky L 2 – odhýbáním, či přihýbáním závitů – nastavíme celkovou křivku propustnosti vf dílu tak, aby odpovídala průběhu křivky na obr. 50 a obr. 52.

Při tom dbáme obzvláště toho, aby cívka L 1 byla neustále ve středu cívky L 2, tedy odhýbáme či přihýbáme závity cívky L 2 symetricky s obou stran cívky L 1. V opačném případě porušíme vstupní impedanci přijimače. Tím se podstatně zhorší obraz a vzniknou obtíže s přizpůsobením napaječe k při-

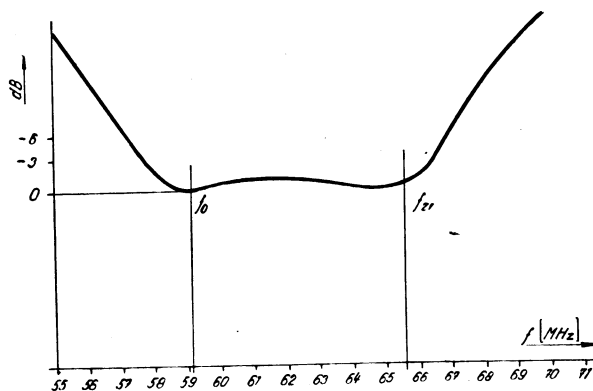


Obr. 50. Kmitočtová charakteristika vf dílu pro druhý kanál



Obr. 51. Cívky oscilátoru a pásmového filtru na držáku

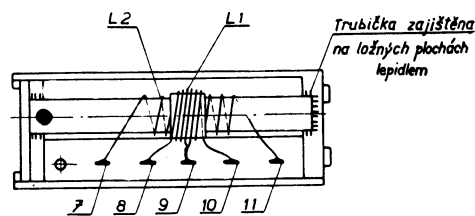
jimači. Poloha cívek L 1 a L 2 je patrná z obr. 53. Dolaďovací kapacity C 6, C 8 a C 11 jsou určeny k vyvážení spojovacích kapacit při výrobě. Při dodatečném nastavování lze si jimi vypomoci jen při vyvážování nejvyššího kanálu. Veškeré ostatní kanály ladíme jen změnou indukčnosti cívek.



Obr. 52. Kmitočtová charakteristika vf dílu pro třetí kanál

#### 07.1.4 Dolaďení po výměně elektronky:

Nebylo-li vyvážení vf části porušeno a liší-li se po výměně elektronky E 1 a E 2 kmitočtové charakteristiky všech kanálů od požadovaného průběhu (viz obr. 50, 52), přepneme volič na nejvyšší kanál



Obr. 53. Umístění vstupních cívek na držáku

a dolaďovacími kondensátory C 6, C 8 a C 11 se-řídíme předepsaný průběh. Nemají-li kmitočtové charakteristiky jen u nižších kanálů požadovaný tvar, přepneme kanálový volič na 1. kanál III. pásmo (t. j. 174–182 MHz) a dolaďíme vyvážovací kondensátory na tomto kanálu. Bude-li kmitočtová charakteristika některého kanálu odlišná, je nutno vyvážit jeho obvody výše popsaným způsobem.

**O s a z o v á n í c í v k a m i p r o d a l š í k a n á l y :**  
Osadíme-li vf díl cívky pro další kanál, je nutno zkontrolovat pomocí rozmitáče, zda má kmitočtová charakteristika předepsaný průběh. Není-li tomu tak, je nutno provést vyvážení podle odst. 07.1.2. Jde-li o nejvyšší kanál, pokusíme se jej vyvážit bez změny kapacit C 6, C 8 a C 11. Nepodaří-li se to, je nutno přeladit obvody všech kanálů, což je velmi zdlouhavé.

#### 07.2

##### Obrazová mezifrekvence.

Potřebné měřicí přístroje:

1. Rozmitáč o rozsahu 30–45 MHz a o kmitočtovém zdvihu alespoň 10 MHz.
2. Osciloskop, pokud není součástí rozmitáče.
3. Stejnosměrný elektronkový voltmetr.
4. Zkušební vysílač o rozsahu 30–45 MHz, není-li možno použít značkovače rozmitáče jako pomocného signálu.

Schema zapojení přístroje při snímání kmitočtové charakteristiky zesilovače obrazové mezifrekvence rozmitáčem je shodné s obr. 48. Vf díl zde nahrazuje zesilovač obrazové mezifrekvence.

#### 07.2.1

**Vyvážení pásmového filtru obrazové mezifrekvence »OMF 2« (viz obr. 63).** Je-li pásmový filtr obrazové mezifrekvence OMF 2 značně rozladěn nebo významně neoborným zásahem, nebo byl-li vyměněn, je výhodnější jej vyvážit pomocí zkušebního vysílače takto:

1. Výstup zkušebního vysílače připojíme na řidící mřížku elektronky E 3 přes oddělovací kondenzátor 1000 pF.
2. Stejnosměrný elektronkový voltmetr připojíme přes RC člen (1 MΩ, 1000 pF) na řidící mřížku elektronky E 5.
3. Regulátorem kontrastu nastavíme na řidící mřížce elektronky E 3 předpětí – 3 V.
4. Výstupní okruh obrazové mezifrekvence OMF 3 (viz obr. 63) se utlumí paralelním zapojením odporu 500 ohmů.
5. Paralelně k cívce L 24 připojíme odpór 500 ohmů – 0,25 W.
6. Zkušební vysílač nastavíme na kmitočet 36,75 MHz.
7. Spodním jádrem pásmového filtru obrazové mezifrekvence OMF 2 ladíme na největší výchylku stejnosměrného voltmetru. Přitom dělicem zkušebního vysílače udržujeme takovou vstupní úroveň, aby indikované napětí nepřekročilo 1 V.
8. Od cívky L 24 odpojíme tlumící odpór a připojíme jej paralelně k cívce L 25.
9. Horním jádrem pásmového filtru obrazové mezifrekvence OMF 2 ladíme stejně, jak uvedeno pod bodem 7.
10. Na místo stejnosměrného voltmetru připojíme osciloskop opět přes RC člen, jak zakresleno v obr. 48. Místo zkušebního vysílače připojíme přes oddělovací kapacitu 1000 pF rozmitáč, odpojíme tlumící odpór od cívky L 26 a jemným dolaďováním jader pásmového filtru obrazové mezifrekvence OMF 2 vyrovnané křivku tak, aby odpovídala průběhu obr. 54.

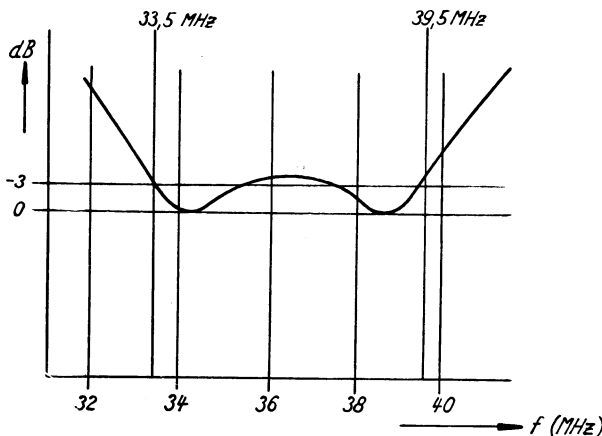
#### 07.2.2

##### Vyvážení ostatních obvodů obrazové mezifrekvence.

1. Po vyvážení pásmového filtru odstraníme tlumící odpór 500 ohmů z výstupního obvodu obrazové mezifrekvence OMF 3 a dolaďíme ji jádrem, přístupným zespodu (cívky L 26 a L 27) na největší amplitudu a požadovaný tvar křivky na stínítku osciloskopu. Při vyvážování pomocí zkušebního vysílače (v zapojení, jak uvedeno při vyvážování pásmového filtru) ladíme na největší výchylku výstupního voltmetru. Přitom opět dbá-

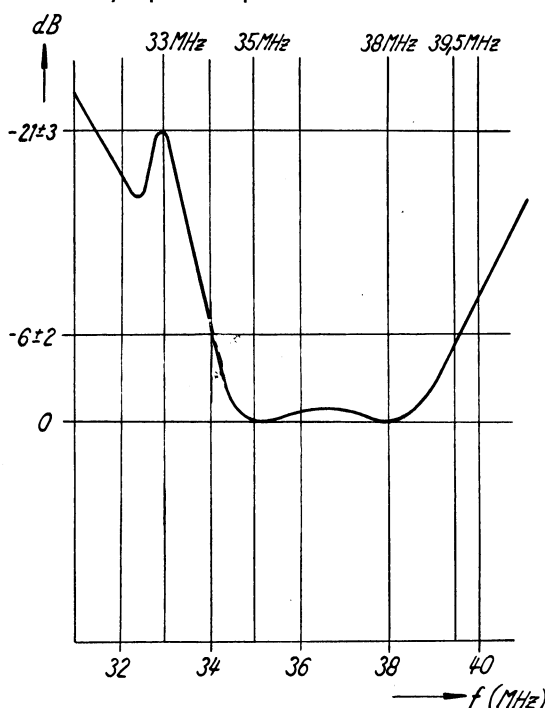
me, aby výstupní napětí nepřekročilo hodnotu 1 V.

- Výstup z rozmítáče připojíme na měrný bod vf dílu (MB – viz obr. 12), osciloskop zůstane připojen na řídící mřížku elektronky E 5. Otáčením jader vstupních obvodů obrazové mezfrekvence OMF 1a (shora) a obrazové mezfrekvence OMF 1b (zespodu – viz obr. 63) vyrovnáme průběh kmitočtové charakteristiky celého zesilovače obrazové mezfrekvence.



Obr. 54. Kmitočtová charakteristika pásm. filtru obrazové mezfrekvence »OMF 2«

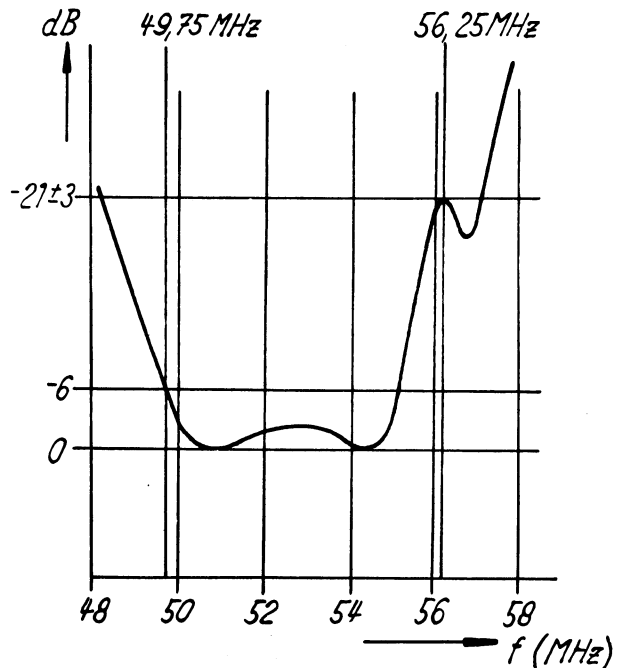
- Značkovač rozmítáče nastavíme na 33 MHz a otáčením jádra cívky L 23 (shora na obrazové mezfrekvenci OMF 1b) potlačíme tento kmitočet. Změní-li se tím tvar výsledné křivky obrazové mezfrekvence, poopravíme ji dodálením cívky L 22 (zespodu obrazové mezfrekvence OMF 1b).
- Kontrolujeme křivku propustnosti, jež má mít tvar podle obr. 55.
- Nemá-li rozmítáč značkovač, připojíme na měrný bod (MB) vf dílu zkušební vysílač a na řídící mřížku elektronky E 5 elektronkový voltmetr. Poté nastavíme zkušební vysílač na kmitočet 33 MHz a otáčením jádra cívky L 23 (shora obrazové mezfrekvence OMF 1b) nastavíme minimum výstupního napětí.



Obr. 55. Kmitočtová charakteristika obrazové mezfrekvence při snímání podle návodu

- Přeladíme zkoušební vysílač na kmitočet 36,75 MHz a jádrem cívky L 22 nastavíme největší výchylku voltmetu.
- Ladění cívky L 23 na nejmenší a cívky L 22 na největší výstupní napětí několikrát opakujeme, abychom vyloučili vzájemné rozladění.
- Po ukončení ladění zajistíme všechna jádra zajišťovacím voskem.

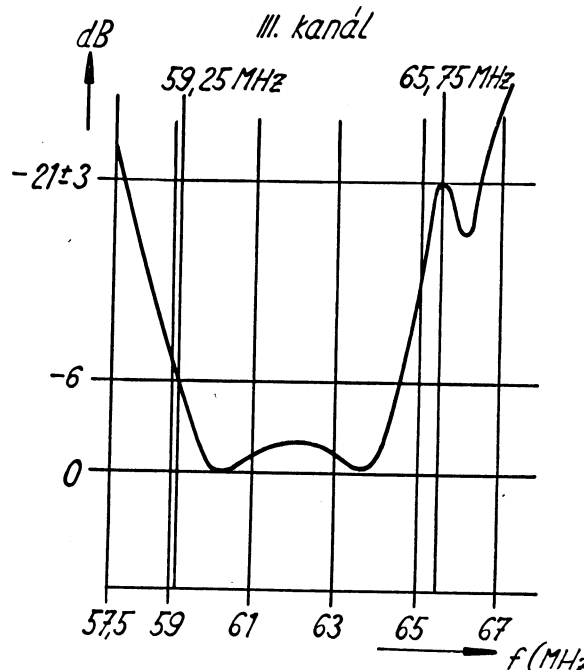
## II. kanál!



Obr. 56. Kmitočtová charakteristika vf a mf dílu pro druhý kanál

## 07.3 Kontrola celé vf části.

- Po vyvážení obvodů obrazové mezfrekvence zařijme výstup rozmítáče přes symetrisační člen (obdobně jako při vyvažování vf dílu – viz 07.1) na vstup vf dílu. Osciloskop zůstane připojen přes RC člen (20 kΩ, 1000 pF) na řídící mřížce elektronky E 5.



Obr. 57. Kmitočtová charakteristika vf i mf dílu pro třetí kanál

- 07.3.2 Vf díl přepneme střídavě na všechny cívkymi osazené kanály a kmitočet rozmitáče nastavíme podle právě zařazeného kanálu. Přitom dbáme, aby nosný kmitočet zvuku u všech kanálů (viz tabulku 07.1.1) padl do sedla křivky (33 MHz na obrazové mezifrekvenči). Není-li možno toho dosáhnout dodatečným kondensátorem C 14, je nutno dodatečně opravit kmitočet oscilátoru, jak popsáno pod 07.1.1. Jsou-li obvody jednotlivých kanálů i obrazové mezifrekvence vyváženy podle 07.1 a 07.2, musí výsledné křivky souhlasit s obr. 56 a 57, na nichž je zakreslen tvar křivky propustnosti pro 2. a 3. kanál. Při kontrole je nutno přihlížet nejen k poloze nosného kmitočtu zvuku, ale zejména k umístění nosného kmitočtu obrazu. Nosná vlna obrazu má být na boku křivky s odstupem  $-6$  dB od vrcholu.

#### 07.4 Zvuková část:

Potřebné měřicí přístroje:

1. Zkušební vysilač s rozsahem okolo 6,5 MHz.
  2. Elektronkový voltmetr s rozsahem 10 a 30 V.
  3. Elektronkový voltmetr s nulou uprostřed.
- Místo dvou voltmetrů možno použít jednoho s přepínáním (na př. »ORIVOHM«).

#### Postup vyvažování:

Před vyvažováním musí být přijimač v provozu alespoň 20 minut, aby se rovnoměrně prohrál.

- 07.4.1 Na řidici mřížku elektronky E 6a přivedeme ze zkušebního vysilače nemodulovaný signál o kmitočtu 6,5 MHz (vstupní napětí asi 300 mV).

- 07.4.8 Postup, uvedený pod 07.4.6 a 07.4.7, opakujeme nejméně ještě jedenkrát. Zvláště pečlivě je nutno ladit obvod cívky L 42, který má velmi ploché maximum.

- 07.4.9 Zkušební vysilač zůstane připojen na řidici mřížce elektronky E 5 a elektronkový voltmetr s nulou uprostřed rozsahu připojíme, jak naznačeno v obr. 58 »V 1«. Odporový dělič, připojený souběžně na kondensátor C 51, musí mít odpory o hodnotě  $0,1 \text{ M}\Omega$  (označené M 1), shodné s přesností alespoň na  $5\%$ .

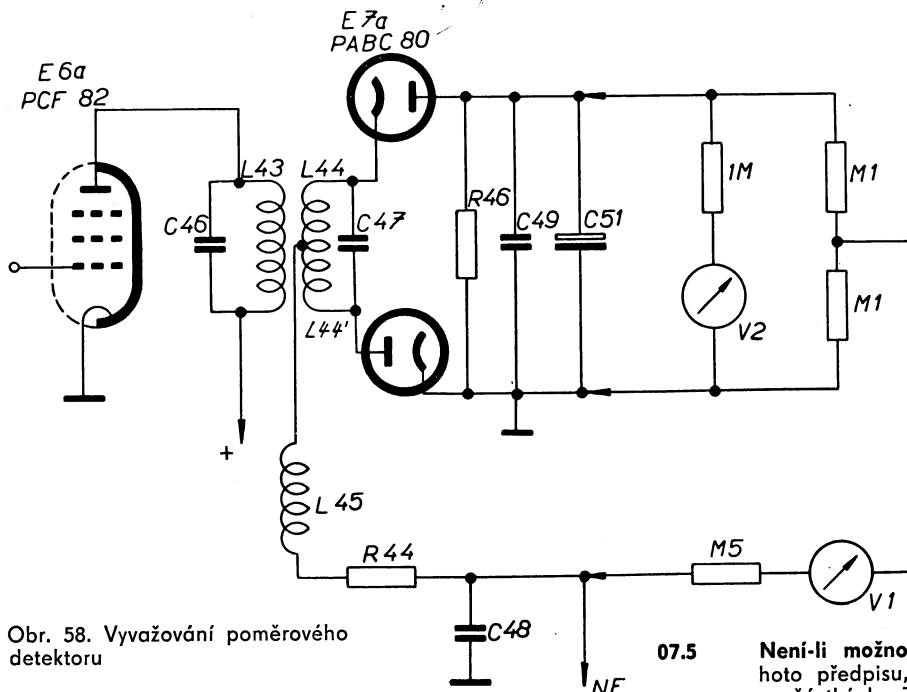
- 07.4.10 Jádrem cívky L 44 (přistupným horním otvorem krytu PD) ladíme na nulovou výchylku elektronkového voltmetu V 1.

- 07.4.11 Vyvažování poměrového detektoru ještě jednou opakujeme.

- 07.4.12 Vyvážení kontrolujeme tak, že zkušební vysilač (připojený na řidici mřížku elektronky E 5) postupně rozladíme o  $\pm 50$  kHz od nosného kmitočtu 6,5 MHz. Výchylka elektronkového voltmetu, označeného V 1, musí být pro oba kmitočty stejná.

- 07.4.13 Zkušební vysilač rozladíme o  $\pm 200$  kHz a průběh výchylky elektronkového voltmetu V 1 v závislosti na změně kmitočtu musí odpovídat průběhu křivky na obrazu 59.

- 07.4.14 Po vyvážení zajistíme jádra zajišťovacím voskem, pokud možno nepřehřátým, aby se obvody nerozladily.



Obr. 58. Vyvažování poměrového detektoru

- 07.4.2 Elektronkový voltmetr s rozsahem 10 V připojíme přes oddělovací odpor  $1 \text{ M}\Omega$  paralelně ke kondensátoru C 51 – kladným pólem na zem. (Viz V 2 na obr. 58).

- 07.4.3 Jádrem cívky L 43 (přistupné zespoďu PD, viz obr. 63) naladíme největší výchylku – má být asi  $8\text{--}10$  V.

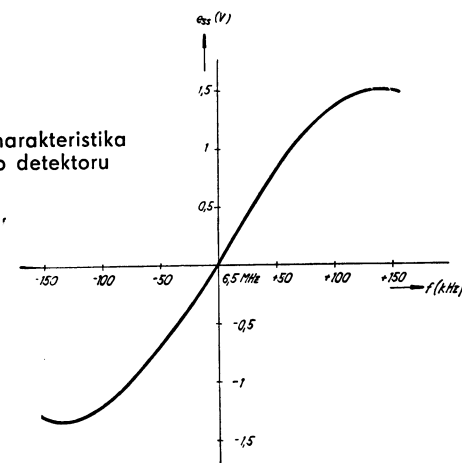
- 07.4.4 Bez změny kmitočtu odpojíme zkušební vysilač z řidící mřížky elektronky E 6 a zapojíme na řidící mřížku elektronky E 5 (výstupní napětí asi 200 mV).

- 07.4.5 Elektronkový voltmetr odpojíme z kondensátoru C 51 a zapojíme souběžně k odporu R 41 (kladný pól zůstane na kostře).

- 07.4.6 Jádrem cívky L 41 (přistupným shora chassis) nařídíme největší výchylku elektronkového voltmetu.

- 07.4.7 Jádrem cívky L 42 (přistupným zespoďu chassis) nařídíme opět největší výchylku elektronkového voltmetu. Cívky L 41 a L 42 jsou umístěny v krytu označeném ZMF (viz obr. 63).

Není-li možno některý obvod vyvážit podle tohoto předpisu, musíme hledat chybu v okolních součástkách. Začneme vždy kontrolou napětí a proudů elektronek. Předepsané hodnoty napětí a proudů jednotlivých elektronek jsou uvedeny v připojené tabulce.



Obr. 59. Charakteristika poměrového detektoru

## 08 TABULKA NAMĚŘENÝCH HODNOT

Měření na přijimači se provádí při jmenovitém napětí sítě  $220 \pm 2$  V. Všechna měření, pokud není jinak uvedeno, se provádějí s potenciometry na levém dorazu (t. j. ve směru proti pohybu hodino-

vých ručiček). Přijimač je po dobu měření zapojen na síť přes oddělovací regulační transformátor a napětí je po dobu měření udržováno na předepsané hodnotě.

### 08.1 Všeobecné hodnoty:

měří se:	způsob měření	měřicí přístroj	naměřené hodnoty
síťové napětí	mezi pojistkou Po 1 a kostrou	Avomet – 300 V stř.	$220 \text{ V} \pm 10\%$
celkový odběr proudu	v řadě se síťovým přívodem	Avomet – 1,2 A stř.	$0,6 \text{ A} \pm 10\%$
žhavicí proud	místo pojistky Po 2	Avomet – 1,2 A stř.	$0,3 \text{ A} \pm 5\%$
stejnosměrný odběr	místo pojistky Po 1	Avomet – 0,3 A ss	$0,22 \text{ A} \pm 10\%$
stejnosměrné napětí za selenovým usměrňovačem	na C 161 proti kostře	Avomet – 300 V ss	$244 \text{ V} \pm 10\%$
stejnosměrné napětí v bodu »A«	na C 164 proti kostře	Avomet – 300 V ss	$185 \text{ V} \pm 10\%$
stejnosměrné napětí v bodu »B«	na C 163 proti kostře	Avomet – 300 V ss	$220 \text{ V} \pm 10\%$
stejnosměrné napětí v bodu »C«	na C 162 proti kostře	Avomet – 300 V ss	$165 \text{ V} \pm 10\%$
stejnosměrné napětí v bodu »D«	na C 163 proti kostře	Avomet – 300 V ss	$225 \text{ V} \pm 10\%$

Veškerá měření se provádějí v ustáleném stavu, t. j. nejméně 3 minuty po zapnutí.

### 08.2 Proud a napětí elektronek:

Nejdůležitější naměřené hodnoty a průběhy napětí jsou vyznačeny v celkovém schématu (viz příloha).

Elektronka	Funkce	Ua V	Ia mA	Ug2 V	Ig2 mA	Ug1 V	Uk V	Uf V	Poznámky
E1	PCC 84	a) vf zesilovač	81	—	—	—	—	—	7,2
		b) vf zesilovač	154	—	—	79	81	—	
E2	PCF 82	a) směšovač	150*	—	65	—	—	—	9,5
		b) oscilátor	100	—	—	—	—	—	
E3	EF 80	mf obrazu	170	10	170	—	—	2	6,3
E4	EF 80	mf obrazu	170	10	170	—	—	2	6,3
E5	EF 80	obr. zasil.	100	10	185	3	—	2,1	6,3
E6	PCF 82	a) mf zvuku	202	3	36	—	—	—	9,5
		b) odděl. synch. impulsů	80	5	—	—	—	—	
E7	PABC80	poměr. detektor + mf zasil.	62	0,65	—	—	—	—	9,5
E8	PL 82	nf konc. zesilovač	155	36	165	7	—	9,5	16
E9	PCF 82	a) odděl. stup.	30	—	12,5	—	—	—	9,5
		b) vert. rozkl.	34	—	—	—	—	—	
E10	PL 82	vert. konc. stup.	204	22	140	4,5	—	12,5	16
E11	E CC 82	a) řídící	max. 85 min. 30	—	—	—	—	—	6,3
		b) hor. rozkl.	165	—	—	—	—	—	
E12	PL 81	horiz. konc. stup.	—	95	150	10	-25	—	21
E13	PY 83	účinnost. dioda	—	—	—	—	—	—	19,5
E14	DY 83	vysokonap. usměrňovač	13,2kV	—	—	—	—	—	1,4
E15	351QP44	obrazovka	13,2kV	—	550	—	100 80	130 110	6,3

Poznámka: Všechna měření provádět minimálně 3 minuty po zapnutí přístrojem o vnitřním odporu nejméně 1000  $\Omega/V$

## 09 ELEKTRICKÁ KONTROLA JEDNOTLIVÝCH OBVODŮ

Kontrolu jednotlivých obvodů provádíme vždy, byl-li příslušný obvod opravován, přečítaný nebo po výměně důležitějších součástí. Před kontrolou necháme přijimač zapnut alespoň 10 minut.

### 09.1 Kontrola citlivosti obrazové mezifrekvence:

Potřebné přístroje:

- Zkušební vysilač s regulovatelným výstupním napětím a kmitočtovým rozsahem 30–45 MHz (na př. RFT – 2006).
- Stejnosměrný elektronkový voltmetr o rozsahu 3 V se zemněným + pólem (na př. ORIVOHM).

09.1.1 Výstup zkušebního vysilače, zakončený odporem  $70 \Omega$ , se připojí přes oddělovací kondenzátor 1000 pF na měrný bod MB vf dílu (viz obr. 12).

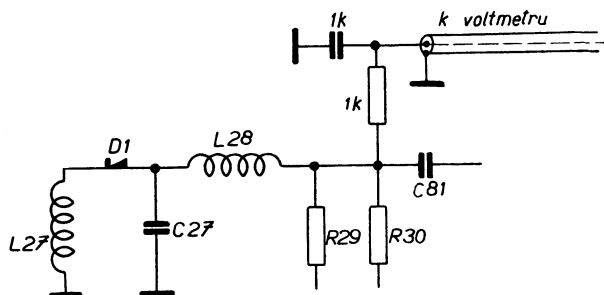
09.1.2 Stejnosměrný elektronkový voltmetr se připojí stíneným kabelem přes RC člen na společný bod členů C 81, R 29, R 30, jak zakresleno v obr. 60.

09.1.3 Kmitočet zkušebního vysilače měníme od 32 do 41 MHz a jeho výstupní napětí nastavujeme tak, aby ss elektronkový voltmetr ukazoval výchylku 1 V. Naměřené hodnoty pro jednotlivé kmitočty musí odpovídat hodnotám uvedeným v obr. 55. Přitom  $0 \text{ dB} = 2 \text{ mV}$ .

### 09.2 Kontrola citlivosti celé vf části:

Použité přístroje jako pod 09.1.

09.2.1 Elektronkový voltmetr zůstane připojen, jak uvedeno pod 09.1.2.



Obr. 60. Připojení elektronkového voltmetu při měření citlivosti obrazové mezifrekvence

09.2.2 Zkušební vysilač přepneme na rozsah měřeného kanálu a připojíme na vstup vf dílu tak, jak uvedeno pod 07.3.

09.2.3 Měříme podle pokynů, uvedených v odst. 07.3. Indikace zůstává stejná jako u měření citlivosti obrazové mezifrekvence v předch. odst.

09.2.4 Naměřené hodnoty pro jednotlivé kmitočty musí odpovídat hodnotám, uvedeným v obr. 56 a 57. Při tom základní hodnota (0 dB) je pro kanály 1. pásmo nižší než  $250 \mu\text{V}$ , pro kanály 3. pásmo nižší než  $500 \mu\text{V}$ . Tím je současně provedena kontrola vf dílu.

### 09.3 Kontrola obrazového zesilovače:

Kmitočtový průběh obrazového zesilovače kontrolujeme napětím obdélníkového průběhu.

Potřebné měřící přístroje:

- Zdroj obdélníkových kmitů, na př. ORION 1515, nebo relátkový zdroj jednoduše zhotovený.
- Osciloskop se zesilovačem alespoň do 1 MHz.

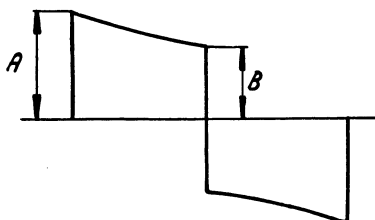
Postup:

09.3.1 Obdélníkové kmity ze zdroje o amplitudě 1 V š. š. a kmitočtu 50 Hz přivedeme na společný bod členů R 29, R 30, C 81.

09.3.2 Na katodu obrazovky, dotek 11, elektronky E 15 – připojíme osciloskop a ustálíme obraz.

09.3.3 Na stínítku odečteme pokles zadní hrany obdélníkového impulsu (viz obr. 61).

$$\text{A-B} \\ \text{Při tom pokles } p = \frac{\text{A-B}}{\text{A}} \cdot 100\% \text{ smí být nejvíce } 10\%.$$



Obr. 61. Kontrola obrazového zesilovače napětím obdélníkového průběhu

### 09.4 Kontrola oddělovače synchronizačních impulsů:

Potřebné přístroje:

- Osciloskop.
- Obrazový signál – není-li v místě dostatečně silné pole.

09.4.1 Na společném bodu členů R 29, R 30 a C 81 nastavíme postupně úroveň 0,5 V a 2 V š. š. obrazového signálu, nebo při signálu z antény ziskem stupně, vždy tak, aby na společném bodu členů R 29, R 30 byla úroveň obrazového signálu 0,5 V a 2 V š. š.

09.4.2 Na kondenzátoru C 103 kontrolujeme špičkovou hodnotu obrazového synchronizačního impulsu. Tato má být 19 V.

09.4.3 Na společném bodu členů R 104, R 105 kontrolujeme špičkovou hodnotu rádkového synchronizačního impulsu. Tato má být 33 V.

09.4.4 Ostatní průběhy kontrolujeme měřením na bodech, označených v obr. 23. Naměřené hodnoty musí odpovídat hodnotám průběhů na obr. 29.

09.4.5 Současně kontrolujeme na obou místech, zda neproniká zbytková obrazová modulace.

### 09.5 Kontrola snímkového rozkladu:

Potřebné přístroje: Osciloskop. Zdroj obdélníkových kmitů jako u 09.3.

09.5.1 Velikosti a průběhy napětí a proudů snímkového rozkladu kontrolujeme měřením na bodech, označených na obr. 26 a 28.

09.5.2 Naměřené hodnoty musí odpovídat hodnotám průběhů na obr. 29.

### 09.6 Měření nelinearity snímkového rozkladu.

Potřebné přístroje: Zdroj obdélníkových kmitů jako u 09.3.

Ze zdroje obdélníkových kmitů přivedeme na řídící mřížku elektronky E 5 takový kmitočet, aby se na obrazovce ustálilo 11–13 vodorovných pruhů, t. j. kmitočet asi 600 Hz. Změří se výška každého pruhu. Rozměr nejšířšího pruhu a, nejužšího pruhu b, mimo první a poslední, se dosadí do vzorce:

$$\text{Nelinearity snímkového rozkladu} \\ a-b \\ Nv = \frac{a-b}{a+b} \cdot 200\% \\ a \text{ smí obnášet nejvíce } 12\%.$$

### 09.7 Kontrola rádkového rozkladu:

Použité přístroje jako u 09.5.

Provádí se obdobně jako kontrola snímkového rozkladu.

09.7.1 Velikosti a průběhy napětí i proudů rádkového rozkladu kontrolujeme měřením na bodech, označených na obr. 30 a 35.

09.7.2 Naměřené hodnoty musí odpovídat hodnotám průběhu na obr. 43.

#### 09.8 Měření nelinearity řádkového rozkladu

Použité přístroje jako u 09.6.  
Ze zdroje obdélníkových kmitů přivedeme na řídicí mřížku elektronky E 5 takový kmitočet, aby se na obrazovce ustálilo 11–13 svislých pruhů, t. j. kmitočet asi 200 kHz. Změří se nejširší pruh (rozměr a) a nejužší pruh (rozměr b), kromě prvého a posledního pruhu. Nelinearity, vyjádřená vzorcem:

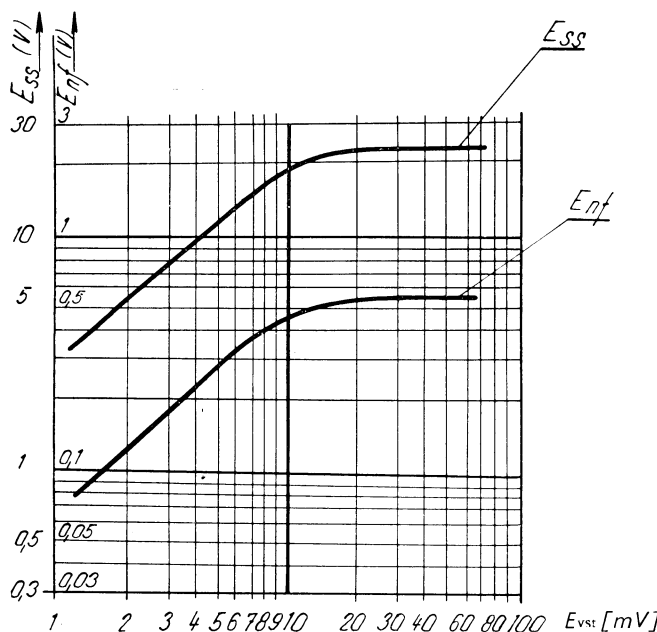
$$Nh = \frac{a - b}{a + b} \cdot 200\%,$$

smí obnášet nejvýš 16%.

#### 09.9 Kontrola citlivosti a omezení zvukové části:

Potřebné přístroje:

- a) Zkušební vysílač 6,5 MHz s kmitočtovou modulací a výstupním napětím asi 100 mV.
- b) Elektronkový voltmetr s rozsahem 10 a 30 V.
- c) Nízkofrekvenční milivoltmetr.



Obr. 62. Kontrola citlivosti a omezení zvukové části

09.9.1 Na zkušebním vysílači nastavíme kmitočet 6,5 MHz s kmitočtovou modulací 800–1000 Hz se zdvihem  $\Delta f = 15$  kHz. Výstup zkušebního vysílače připojíme na řídicí mřížku elektronky E 5.

09.9.2 Elektronkový voltmetr připojíme paralelně ke kondensátoru C 51.

09.9.3 Nízkofrekvenční milivoltmetr připojíme paralelně ke kondensátoru C 48.

09.9.4 Výstupní napětí zkušebního vysílače měníme od 1 mV do 100 mV a průběh stejnosměrného napětí na kondensátoru C 51 a nízkofrekvenčního napětí na kondensátoru C 48 musí odpovídat křivkám podle obr. 62.

#### 09.10 Kontrola nf části:

Potřebné přístroje:

- a) Tónový generátor (20 Hz – 20 kHz).
- b) Nízkofrekvenční milivoltmetr (TESLA BM 210) – 2 ks.
- c) Měřič nf skreslení.

09.10.1 Paralelně k potenciometru P 1 připojíme výstup tónového generátoru a nf milivoltmetr, jímž budeme kontrolovat výstupní napětí generátoru.

09.10.2 Na sekundární stranu výstupního transformátoru TR 1 připojíme odpor 5 Ω (4 W) a paralelně k němu nf milivoltmetr.

09.10.3 Regulátor hlasitosti P 1 vytočíme doprava na maximum. Měníme kmitočet tónového generátoru od 30 Hz do 15 kHz a vynášíme velikost výchylek milivoltmetru. Takož získaná kmitočtová charakteristika má průběhem odpovídat obr. 22.

09.10.4 Na výstupní transformátor TR 1 paralelně k nf milivoltmetru připojíme měřič skreslení.

09.10.5 Výstupní napětí tónového generátoru měníme od 10 mV do 0,5 V a měříme skreslení. Při 5% skreslení má být výstupní výkon

$$Nvyst. = \frac{1}{R} \cdot E^2 vyst. \quad (\text{kde } R \text{ je skreslení})$$

asi 1,3 W. Při 10% skreslení má být výstupní výkon asi 1,8 W.

## 10 PŘÍČINY PORUCH A JEJICH ODSTRANĚNÍ

10.1 Před jakýmkoli zásahem do obvodů televizoru je bezpodmínečně nutno identifikovat druh a příčinu poruchy, nejlépe pečlivým pozorováním monoskopu. Ukáže-li se přesto provedený zásah jako neúčinný,

uveďeme nejprve upravovanou část do původního stavu a teprve hledáme dále. Je účelné předem překontrolovat předeepsanou velikost síťového napětí a zejména dobrou činnost antenní soustavy.

Příznaky závady	Možná příčina	Způsob nalezení závady a její odstranění
10.2.1 Poruchy v rozkladových částech:		
1. Na obrazovce není rastr.	1. Posunutá iontová past. 2. Obrazovka nedostává vn.	1. Nastavit iontovou past podle předpisu (06.1). 2. a) Celý přístroj nedostává kladné napětí. Prohlédnout pojistky v síťové části b) Koncový stupeň nedostává budící napětí pilovitého průběhu. Vadná elektronka E 11 – vyměnit. Špatně nastavený transformátor rázového generátoru, LC obvod, nebo chybána poloha nastaviteleho odporu P 8. Zkusit, je-li na kondensátoru C 140 záporné stejnosměrné napětí přibližně 20 V, případně oscilografem zjistit, zda je tam budící napětí předepsaného pilovitého průběhu. Přeladit rázový generátor a LC obvod podle předpisu 06. c) Vadná elektronka PL 81. Zkontrolujeme, teče-li proud elektronkou. Nedostává-li stínící mřížka napětí, může být spálený odpor R 143. Přerušený obvod této elektronky na př. ve výstupním transformátoru (odpájené přívody). d) Vadná elektronka E 13. Zkrat mezi vláknenem a katodou nebo snížení izolační pevnosti mezi katodou a vláknenem a katodou a anodou. e) Zkrat nebo přerušení vychyl. cívek. Vyměnit celou jednotku. f) Zkrat ve žhavicím závitu pro elektronku E 14. Vymout celý držák i s transformátorem a připájet oba konec drátu tak, aby zkrat nenastal.
2. Obdélníkový rastr je natočen z vodorovné polohy.	1. Špatně nastavená iontová past. Vyčyl. jednotka je posunuta dozadu.	1. Povolit šroub na stahujícím pásku a natočit vychyl. jednotku v příslušném směru.
3. Rohy rastru jsou zastíněny.	1. Kondensátor C 151 vadný nebo nesprávné hodnoty, či vadný odpór R 151. 2. Vadný vn transformátor.	1. Seřídit iontovou past podle předpisu 06.1. 2. Přirazit kuželovou část vychyl. jednotky co nejdále na obrazovku. Vyměnit vychyl. jednotku nebo jen sestavené cívky.
4. Na rastru se vyskytují svislé pruhy v levé části od středu, slábnoucí co do intenzity. Rádky při levém okraji nakaďeny.	1. Špatně postavené zaostřovací magnety. 2. Vadné zaostřovací magnety. 3. Vadná obrazovka. 4. Nízké vn.	1. Vyměnit kondensátor C 151 nebo odpór R 151. 2. Probitý vn transformátor poznáme, že obyčejně nesvítí vn elektronka E 14. Vyměnit vn transformátor.
5. Rastr hení zaostřen, nejsou znát rádky.	1. Srší vn.	1. Nastavit správně zaostřovací magnety. 2. Vyměnit vychyl. jednotku nebo alespoň povzbuzivý zaostřovací magnet. 3. Obrazovka obyčejně již zestárlá provozem – vyměnit. 4. Vadná nebo velmi slabá usměřovací elektronka E 14. a) Špatný dotek přívodu vn na obrazovku b) Špatně namontovaný stínící kroužek držáku pro elektronku E 14. c) Porušení izolace žhavicího závitu, vn vinutí na transformátoru. d) Upravit všechny hrotů, aby byly v dutině kroužku.
6. Přes rastr se objevují černé a bílé šmouhy nebo vodorovně trhané čáry.	1. Zkrat mezi vychyl. cívkami vodorovnými a svislými.	1. Vyměnit vychyl. jednotku.
7. Rastr silně zúžený ve vodorovném směru.	1. Špatně nastavená regulace středění. 2. Vadná vychyl. jednotka. 3. Vadná obrazovka.	1. Nastavit regulaci. 2. Vyměnit vychyl. jednotku. 3. Vyměnit obrazovku.
8. Rastr příliš posunut v některém směru.	1. Nepracuje snímkový rozklad.	1. a) Překontrolovat kladné napětí na elektrodách. b) Koncová elektronka E 10 vadná – vyměnit. c) Vadný triodový systém rázového generátoru. Proměřit a ohmmetrem přezkoušet transformátor TR 2. d) Vadné vychyl. cívky. e) Proražený výstupní transformátor TR 3.
9. Přes obrazovku vodorovná čára, uprostřed silně svítící.		

Příznaky závady	Možná příčina	Způsob nalezení závady a její odstranění
10. Obraz nelze zastavit ani svisle ani vodorovně.	1. Vada ve vf části, mf části nebo v obrazovém zesilovači. 2. Vadný oddělovač.	1. Přesvědčit se o přítomnosti synchronizačních impulsů ve správném poměru k modulaci za obr. zesilovačem. 2. a) Proměřit a kontrolovat napětí na elektrodách elektronek E 9a a E 6b. b) Kontrolovat průběhy synchronizačních impulsů do snímkového a rádkového rázového generátoru podle předepsaných hodnot a tvarů (viz 08–09).
11. Obraz lze zastavit svisle, ne však vodorovně.	1. Vada v rádkovém rozkladu.	1. Změřit napětí na elektrodách elektronky E 11 a doladit rázový generátor a LC obvod. Vy- měnit elektronku E 11, případně celý rázový generátor. 2. Kontrolovat spolehlivost přilepení ferritové tyčinky na závitové tělesko jádra L 132. Kontrolovat stav a vzdálenosti cívek L 131, L 132 po vyjmutí z krytu (viz 10.3.4). Vzdálenost spodní cívky od paty těleska je 12 mm. Rozteč horní cívky od spodní je 20 mm.
12. Obraz je pokřiven jen ve svislém směru.	1. Rozladěný rázový generátor, převážně však LC obvod. 2. Případná porucha ve vysílači – hladina modulace zasahuje do úrovni synchronizačních impulsů.	1. Naladit příslušné části podle předpisu 06.7.
13. Obraz má stabilní vodorovnou synchronisaci, svislá synchronisace labilní.	1. Vada v triodové části elektronky E 6b. 2. Vada na vstupu do rázového generátoru. 3. Vadný triodový systém elektronky E 9b.	1. Kontrolovat příslušné průběhy a měřit napětí na elektrodách. 2. Prohlédnout integrační členy. 3. Proměřit napětí na elektrodách, přezkoušet transformátor TR 2. Vyměnit elektronku E 9. 4. Nastavit cívku L 133 podle předpisu, po případě vyměnit.
14. Špatná linearita obrazu ve vodorovném směru.	1. Špatně nastavená linearizační cívka. 2. Vadný výstupní transformátor. 3. Nesprávný průběh budicího pilovitého napětí.	2. Vyměnit výstupní transformátor TR 4. 3. Zkontrolovat průběh pilovitého napětí na kondensátoru C 140. 4. Vyměnit elektronku E 10.
15. Špatná linearita obrazu ve svislém směru.	1. Špatně nastavený hlavní regulační potenciometr. 2. Špatně nastavený odporník P 6. 3. Vadný výstupní transformátor. 4. Vadná koncová elektronka snímkového rozkladu.	1. Nastavit regulační potenciometr P 7. 2. Nařídit nastavitelný odporník P 6. 3. Vyměnit výstupní transformátor TR 3. 4. Vyměnit elektronku E 10.
16. Špatná linearita horní části obrazu ve svislém směru.	1. Nesprávné napětí na stínící mřížce elektronky E 10.	1. Proměřit mřížkové napětí na stínící mřížce elektronky E 10.
17. Obraz v dolnejší části zmáčknutý.	1. Vadný katodový kondensátor koncové elektronky E 10.	1. Vyměnit kondensátor C 117.
18. Nesprávná šíře obrazu.	1. Vada v cívce pro regulaci šířky. 2. Slabá elektronka E 11 nebo E 12.	1. a) Vypadlé jádro cívky L 134 nebo odpojený paralelní kondensátor C 146. b) Nastavit indukčnost cívky L 134. 2. Vyměnit elektronku E 11 nebo E 12.
19. Nesprávná výška obrazu.	1. Vadná elektronka E 10 nebo triodová část elektronky E 9b.	1. Zkontrolovat průběhy na elektronkách podle uvedeného předpisu co do tvaru i hodnoty. 2. Nastavit regulátor výšky obrazu.
20. Zpětné běhy nejsou zatemňovány.	1. Porucha v RC řetězci k řídicí mřížce obrazovky.	1. Zkontrolovat kondensátor C 120 a kombinaci odporníků R 86, R 117 a potenciometrů P 2 a P 11.
21. Obraz málo jasný.	1. Špatně nastavená iontová past. 2. Špatně seřízená regulace jasu. 3. Vadná obrazovka nebo elektronky E 11, E 12, E 13, E 14.	1. Nastavit iontovou past podle předpisu. 2. Nastavit odporník P 11. 3. Vadnou elektronku vyměnit.
22. Obraz se rozšiřuje všemi směry při zvyšování jasu.	1. Slabá vn elektronka E 14.	1. Vyměnit elektronku E 14.
10.2.2 Poruchy ve vf a mf části:		
1. Obraz vybledlý.	1. Slabý signál, vadně nastavený oscilátor, malý zisk vf a mf stupně.	1. a) Překontrolovat antenu a připojení k přijímači. b) Doladit oscilátor (viz 06.11). c) Kontrolovat napětí podle 08.2. d) Kontrolovat elektronky a diodu D 1.
2. Obraz rozmazený, kontury nejasné.	1. Vadné přizpůsobení antény k přijímači, vadně nastavený oscilátor, rozladěný vf či mf díl.	1. Překontrolovat přizpůsobení antény, doladit oscilátor podle 06.1, kontrolovat vf a mf díl podle 09.
3. Obrazovka svítí, abraz ani zvuk není.	1. Je-li vysílač v provozu, vada ve vf či mf dílu.	1. Kontrolovat napětí podle 08.2, kontrolovat elektronky a diodu D 1, kontrolovat přenesené napětí na měřicím bodu MB. Kontrolovat mf a vf díl podle 09.

Příznaky závady	Možná příčina	Způsob nalezení závady a její odstranění
4. Obraz kontrastní, bez gradace a rozlišení podrobností.	1. Vf či mf díl rozladěn, rozladěný oscilátor.	1. Kontrolovat oscilátor, vf i mf díl podle 09.
10.2.3 Poruchy ve zvukové části		
1. Obraz kvalitní, zvuk není.	1. Vadné elektronky, vada v napájení zvukové části.	1. a) Kontrolovat elektronku E 6, E 7, E 8. b) Kontrolovat napájecí obvody podle 08.2
2. Obraz dobrý, zvuk silně skreslen.	1. Zvuková část rozladěna, není-li ovšem vada ve vysílači	1. Kontrolovat zvukovou část podle 09. Nejdříve nf část.
<b>10.3 Dodatečná upozornění.</b>		
10.3.1 Kanály se přepínají karuselovým voličem, opatřeným lištami s cívkami pro jednotlivé kanály a doteky, (viz obr. 13). Při přepnutí na žádany kanál dolehnu doteky karuselu na pérové doteky v části (viz obr. 68, pol. 1.). Při delšíém provozu v prašném prostředí je možné, že znečištěním nebo nesprávnou aretačí nebudou pera dokonale přiléhat k doteckům, což způsobí bud' úplné přerušení příjmu nebo poruchy v obrazu i zvuku. V takovém případě je nutno očistit dokonale pera a doteky. Aretače bubnu karuselu je v tvárně písně nastavena a zajištěna, nehýbejte proto nikdy aretačním perem. Aretační kladku možno podle potřeby namazat čistou vaselinou. Aby se zabránilo znečištění doteků, je celý vf díl opatřen krytem. Neponechávejte nikdy televizor trvale v provozu bez této krytu. Doteky lze čistit jen nekyselými čisticími prostředky, na př. lihem, trichlorethylenem, toluenem a pod. Po vycištění potřeba doteková pera lehce čistou vaselinou bez stop kyselin. Veškeré pájení v obvodu vf dílu je nutno provádět pečlivě s ohledem na otřesy při přepínání.	na přední svislou stěnu základní desky. Při náhradě tohoto selenového usměrňovače typem 40 VS 380 je nutno vynutit oba předstřízené držáky pro jeho uchycení. Na selenový usměrňovač působí zhoubně rtuťové páry. Proto je nezbytné, aby televizní přijimače 4102 U a 4103 U nebyly provozovány ani ukládány v místnostech, kde byl na př. rozbit rtuťový teploměr. Na závady vzniklé z uvedených důvodů se tovární záruka nevztahuje.	
10.3.2 Při hledání závad ve zvukové části televizoru je nutno pamatovat, že televizory 4102 U a 4103 U pracují na principu mezinosného kmítotuču, což má tyto důsledky:	10.3.4	U přijimačů do výr. čís. 1421500 může být příčinou nestability rádkové (horizontální) synchronisace ne-spolehlivé přilepení vinutí cívek L 131, 131', L 132 ke kostře, takže se na ní posunuje. Také ferritové trubičky, přilepené na závitové tělesko, mohou měnit svou polohu, což se projevuje rozladováním, zvláště u cívky LC obvodu, která je v horní části kostry. U této cívky ferritová tyčinka visí a ohřátím se posunuje, případně se od závitového těleska zcela oddělí. V případech nestability rádkové synchronisace z uvedených důvodů postupujte takto:
a) Změnou kmítotuču oscilátoru se sice nemění rozdíl obou nosných kmítotučů (nosné zvuku a nosné obrazu), který normálně činí 6,5 MHz. Je však možné, že při značnějším rozladění oscilátoru se změní poloha zvukového kmítotuču na mezfrekvenční křivce tak, že dojde bud' k nežádanému potlačení zvukového doprovodu nebo k interferenci zvuku do obrazu. Projeví se to tím, že při hlasitějším zvukovém signálu se objeví na obrazovce silné tmavé a nepravidelné horizontální pruhy, měnící se v rytmu zvukového doprovodu. b) Při zániku nosného obrazu znikne i zvuk, i když u přijimačů s odděleným zvukovým doprovodem bude reproducován bez závady. c) Případné rozladění zvukové části nelze, jako je tomu u odlišného principu, kompensovávat dodávkou oscilátoru vf dílu.		1. Vyjměte cívkovou soupravu 3PN 050 19 (L 131, L 131', L 132) i s krytem po odpojení přívodů z chassis. (Odpór R 138 10 kΩ od pájecího bodu cívky neodpojujte, zajistíte tak správné zapojení.) 2. S vyjmuté soupravy sesuňte kryt a seřidejte vzdálenost jednotlivých cívek. Vzdálenost spodní cívky od paty těleska má být 12 mm, horní cívka LC obvodu má být vzdálena od spodní cívky blovkového oscilátoru 20 mm. 3. Zajistěte cívky v nařízených polohách nakapáním rozehřátého pečetního vosku po obvodu těleska od jeho paty až po okraj spodní cívky a mezi spodní a horní cívku. Pozor! Zajištění možno provést jen pečetním voskem, jiné způsoby zajištění narušují provozní spolehlivost při zahřátí.
10.3.3 Některé televizní přijimače používají selenového usměrňovače SH E 250 C 300c, který je připevněn		4. Vyšroubujte jádra cívek L 131, L 131' a L 132 (3PF 436 03) a přesvědčete se kroucením při ohřátí trubičky (na př. pájkou), je-li spojení ferritové trubičky a bakelitového těleska dokonalé. Není-li tomu tak, nahradte jádra novými. 5. Po spolehlivém zajištění cívek a jader namontujte cívkovou soupravu opět na chassis a vyvažte ji podle pokynů uvedených pod 06.7.

## 11 ZMĚNY PROVEDENÉ BĚHEM VÝROBY

- 11.1 Přijimače prvek výrobní serie mají odlišné zapojení hlavně v obvodu elektronky E 11, což je patrné ve schématu (příloha II).  
Úpravy provedené v dalších seriích jsou zachyceny ve schématu (příloha I). Při úpravě původního zapojení na zapojení nové nutno:  
 1. Odpór R 139 u P 9 nahradit spojem a odpór (M 1) vrádit na místo R 107 (M 2), který odpadne.  
 2. RC člen (R 109 – M 5 a C 105 – 1k) nahradit spojem.  
 3. Do katody E 6b, t. j. mezi přívodní špičku č. 8 a zem, vrádit odpór TR 102 – 5k.  
 4. Vypuštěný kondensátor C 105 – 1k zapojit paralelně k mřížkovému vinutí vertikálního rázového transformátoru TR 2.  
Dodatečně byl spoj mezi R 112 a P 7 proveden jako stíněný a odpór R 61 přemístěn k C 61, jeho hodnota se neměnila.
- 11.2 Po zkoušenostech z provozu byl do obvodu žhavení mezi R 167 a E 13) vrázen opět odpór W 1, který byl od výr. čís. 1 415 200 do výr. čís. 1 421 500 dočasně vypuštěn.
- 11.3 K usnadnění obsluhy a zlepšení reprodukce byly provedeny tyto úpravy:  
Hodnota odporu R 117 0,2 MΩ změněna na 0,32 MΩ obj. č. TR 101 M 32.  
Hodnota potenciometru P 4 47000 Ω změněna na 0,22 MΩ obj. č. WN 694 54 M22/N.  
Potenciometr P 3 vypuštěn.  
Odpór R 44 vypuštěn.  
Konec mřížkového odporu R 61, spojený s kostrou, byl zapojen mezi potenciometr P 10 a odpór R 146 mřížkového obvodu elektronky koncového stupně rádkového rozkladu.  
Odpadá pojistka Po 3.
- 11.4

**12 SEZNAM NÁHRADNÍCH DÍLŮ****12.1 Mechanické díly.**

Pos.	Název	4102 U Obj. číslo	4103 U Obj. číslo
1	skřín sestavená	3PK 163 59	3PK 163 10
2	zadní stěna sestavená	3PF 806 57	3PF 806 66
3	kryt pro zadní stěnu	3PA 251 09	3PA 251 12
4	spodní deska sestavená	3PF 800 07	3PF 800 11
5	ozdobný rámeček	3PA 127 12	3PA 127 18
6	ochranné sklo	3PA 314 01	3PA 314 02
7	maska před obrazovku	3PA 127 11	3PA 127 17
8	lišta pro upevnění skla	3PA 128 11	3PA 128 12
9	nosná deska pro obrazovku	3PA 553 18	3PA 553 23
10	držák obrazovky snýtovaný	3PF 806 53	3PF 806 68
11	držák obrazovky snýtovaný	3PF 806 54	3PF 806 69
12	gumový pásek (kolem obrazovky)	3PA 408 25	3PF 480 35
13	držák kanálového voliče		3PF 771 0?
Pos.	Název	Obj. číslo	Poznámky
14	ozdobný rámeček před reproduktorem	3PF 147 01	
15	deska se zdírkami antena – zem	3PF 521 04	
16	objímka sestavená pro vychylovací jednotku	3PF 668 01	
17	držák pojistek sestavený	3PF 683 08	
18	kryt vn části	3PA 694 18	
19	kryt reproduktoru (magnetu)	3PF 698 03	
20	osa sestavená pro kanálový volič	3PF 725 05	
21	ozvučnice s potahovou látkou	3PF 800 06	
22	lišta s kontaktními pery pro kanálový volič	3PF 806 60	
23	lišta s kontaktními pery pro kanálový volič	3PF 806 61	
24	čepička s kabelem pro obrazovku	3PF 826 06	
25	knoflík velký dvojitý (vypínač + regulátor hlas.)	3PF 402 02	
26	knoflík velký jednoduchý (dolaďovač oscilátoru)	3PF 402 01	
27	knoflík sestavený malý (přepínač kanálu)	3PF 243 08	
28	knoflík sestavený (ovládací prvky)	3PF 246 01	
29	sítová šňůra	3PF 615 02	
30	kabel k obrazovce bez čepičky	3PF 641 29	
31	kolík pro nastavení ostření a potenciometrů	3PA 013 03	
32	matice k přichycení úhelníku k rámu obrazovky	3PA 035 03	
33	matice ku stažení držáků obrazovky	3PA 045 06	
34	matice ku stažení objímky na vychyl. jednotce	3PA 045 07	
35	nýt plochý k upevnění potenciometru	3PA 051 03	
36	podložka pod šroub pro nastavení středění	3PA 063 03	
37	podložka pro objímku a držáky vychyl. jednotky	3PA 064 17	
38	podložka pro upevnění chassis ve skříně	3PA 064 19	
39	šroub pro upevnění nosné desky obrazovky	3PA 078 05	
40	šroub stavěcí (pro ovládací knoflíky)	3PA 078 06	
41	distanční izolační sloupek (mezi chassis a zadní stěnu)	3PA 092 01	
42	distanční sloupek pro vf díl	3PA 098 04	
43	čepička kontaktní pro E 12, E 13, E 14	3PA 350 04	
44	podložka k odisolování úhelníku od rámu obrazovky	3PA 353 15	
45	podložka (pro průchodku v chassis vf dílu)	3PA 353 16	
46	podložka (pro průchodku v chassis vf dílu)	3PA 353 17	
47	podložka pro šroub pro upevnění chassis	3PA 353 18	
48	podložka pro odisolování držáku obrazovky od rámu	3PA 353 19	
49	klíč pro vn transformátor	3PA 400 02	
50	podložka pod odpor R 167	3PA 413 03	
51	pero do knoflíků 3PF 246 01	3PA 475 06	
52	pero aretační pro vf díl	3PA 475 07	
53	spojka k ozdobnému rámečku	3PA 493 05	
54	podložka gumová pod chassis	3PA 561 05	
55	gumová nit pro zajištění dolaďovacích jader	3PA 592 02	
56	náhradní držák pásků s očky	3PA 610 10	
57	držák pro napínání pásků obrazovky	3PA 683 22	
58	držák obrazovky	3PA 683 23	
59	držák vychylovací jednotky	3PA 683 24	
60	perko pro nastavení dolaďovacího jádra (vf díl)	3PA 782 01	
61	pero pro zajištění osy rotoru (vf díl)	3PA 782 02	
62	pružina pro iontovou past	3PA 786 01	
63	stahovací pásek pro vn transformátor	3PA 868 01	
64	víko krytu pro mezifrekvenční OMF 3	3PA 169 05	
65	šroub pro upevnění středícího kroužku	ČSN 02 1160	
66	gumový kryt na čepičku obrazovky	3PA 251 10	
67	pojistka Po1 1/250	ČSN 35 4731	
68	pojistka Po2 0,4/250	ČSN 35 4731	
69	kryt vychylovacích cívek sestavený	3PF 698 02	

Pos.	Název	Obj. číslo	Poznámky
70 71 72 73 74 75	vychylovací jednotka sestavená kanálový volič kompletní reprodukтор Ø 160 membrána sestavená selenový usměrňovač iontová past sestavená	3PN 050 18 3PN 380 40 2AN 633 40 2AF 759 12 3PN 744 01 3PF 816 05	
Pos.	Objímky elektronické	Obj. číslo	Poznámky
76 77 78 79 80 81 82 83 84	novalová objímka E 1, E 2 novalová objímka pro E 3 – E 11 novalová objímka pro E 12, E 13 novalová objímka pro vn usměrňovač E 14 duodekálová objímka E 15 kryt elektronkový nízký kryt elektronkový vysší kompletní držák pro vn usměrňovač isolátor pro vn usměrňovač	3PK 497 07 3PK 497 03 AK 497 12 3PK 497 08 3PK 497 05 3PA 698 04 3PA 698 07 3PK 150 18 3PF 270 04	
Pos.	Ferrity a dolaďovací jádra	Obj. číslo	Poznámky
85 86 87 88 89 90 91 92 93	ferritový kroužek zaostřovací (vychyl. cívky) ferritový kroužek cívek (vychyl. cívky) ferritový kroužek zaostřovací sestavený dolaďovací jádro pro cívkou L 5 ferritové jádro pro vn transformátor ferritové jádro pro vn transformátor dolaďovací jádro pro L 131 – L 134 dolaďovací jádro pro L 8, L 9 dolaďovací jádro pro L 21, L 22, L 24, L 25, L 26, L 27, L 41, L 42, L 43, L 44, L 45	3PA 741 04 3PA 741 03 3PF 800 05 3PA 087 08 3PA 436 04 3PA 436 05 3PF 436 03—04 WA 436 55 WF 436 04/05	

## 12.2 Elektrické díly

L	Cívky	Obj. číslo	Poznámky
1 1'	vstupní (kanál II) označ. červeně vstupní (kanál III) označ. oranžově vstupní (kanál IV) označ. žlutě vstupní (kanál V) označ. zeleně vstupní (kanál VI) označ. modře vstupní (kanál VII) označ. fialově vstupní kanál VIII) označ. šedě vstupní (kanál IX) označ. bíle vstupní (kanál X) označ. hnědě oscilátor (kanál II) označ. červeně oscilátor (kanál III) označ. oranžově oscilátor (kanál IV) označ. žlutě oscilátor (kanál V) označ. zeleně oscilátor (kanál VI) označ. modře oscilátor (kanál VII) označ. fialově oscilátor (kanál VIII) označ. šedě oscilátor (kanál IX) označ. bíle oscilátor (kanál X) označ. hnědě	3PK 605 27 3PK 605 28 3PK 605 64 3PK 605 65 3PK 605 66 3PK 605 67 3PK 605 68 3PK 605 69 3PK 605 70 3PK 605 34 3PK 605 35 3PK 605 84 3PK 605 85 3PK 605 86 3PK 605 87 3PK 605 88 3PK 605 89 3PK 605 90 3PK 600 07	
2	kompensační tlumivka		
3	I. mf obrazu (OMF 1a)	3PK 593 14	
4	I. mf obrazu obrazu (OMF 1b)	3PK 593 15	
5	II. mf obrazu (OMF 2)	3PK 593 16	
7	III. mf obrazu (OMF 3)	3PK 593 17	
8	kompensační tlumivka	3PN 652 10	
9	mf zvuku (ZMF)	3PN 676 07	
21			
22			
23			
24			
25			
26			
27			
28			
41			
42			

L	Cívky	Obj. číslo	Poznámky
43			
44			
44'	poměrový detektor (PD)	3PN 608 01	
45			
82			
129	kompensační tlumivka	3PN 652 13	
130	tlumivka	3PN 652 17	
131	tlumivka	3PN 652 18	
131'			
132	rázový generátor rádkového rozkladu	3PN 050 19	
133	s LC členem		
133'			
134	linearizační tlumivka	3PN 652 15	
135a	tlumivka pro regulaci šíře obrazu	3PN 652 16	
135b			
135c	cívka vn transformátoru (TR 4)	3PK 636 07	
135d			
136			
137	cívka vn transformátoru (TR 4)	3PK 050 20	
151	žhavicí vinutí vn transformátoru (TR 4)	3PK 600 06	
151'			
152	vychylovací cívky bez krytu	3PK 607 11	
152'			

C	Kondensátory	Hodnota	Provozní napětí V	Obj. číslo	Poznámky
1	keramický	500 pF ± 10%	900 V	TC 750 500/A	
2	keramický	500 pF ± 10%	900 V	TC 750 500/A	
4	průchodkový	2500 pF + 50—10%	500 V	CCL 0 312	
5	keramický	3,2 pF ± 20%	600 V	TC 300 3J2	
6	dolaďovací	0,5 — 5,5 pF	400 V	15 VN 701 00	
7	keramický	1,6 pF ± 10%	600 V	TC 302 1J6/A	
8	dolaďovací	0,5 — 5,5 pF	400 V	15 VN 701 00	
9	průchodkový	2500 pF + 50—20%	500 V	CCL 0 312	
10	trubičkový	2500 pF + 50—20%	500 V	CCL 312	
11	dolaďovací	0,5 — 5,5 pF	400 V	15 VN 701 00	
12	keramický	50 pF ± 13%	600 V	TC 310 50	
13	trubičkový	2500 pF + 50—20%	500 V	CCL 312	
14	dolaďovací	0,5 — 5,5 pF	400 V	15 VN 701 00	
15	keramický	10 pF ± 13%	250 V	TC 310 10	
16	trubičkový	2500 pF + 50—20%	500 V	CCL 312	
17	průchodkový	2500 pF + 50—20%	500 V	CCL 0 312	
21	keramický	20 pF ± 5%	350 V	TC 740 20/B	
22	trubičkový	2500 pF + 50—20%	500 V	CCL 312	
23	trubičkový	2500 pF + 50—20%	500 V	CCL 312	
24	trubičkový	2500 pF + 50—20%	500 V	CCL 312	
25	trubičkový	2500 pF + 50—20%	500 V	CCL 312	
26	trubičkový	2500 pF + 50—20%	500 V	CCL 312	
27	keramický	3,2 pF ± 13%	900 V	TC 722 3J2/A	
28	keramický	5 pF ± 20%	250 V	TC 310 5	
41	keramický	32 pF ± 13%	600 V	TC 305 32	
42	keramický	20 pF ± 5%	350 V	TC 740 20/B	
43	keramický	50 pF ± 5%	350 V	TC 740 50/B	
44	svitkový zalis.	1600 pF ± 20%	1000 V	TC 155 1k6	
45	svitkový zalis.	10000 pF ± 20%	250 V	TC 152 10k	
46	keramický	16 pF ± 5%	550 V	TC 742 16/B	
47	keramický	32 pF ± 5%	350 V	TC 740 32/B	
48	slídový zalis.	680 pF	500 V	TC 211 680	
49	svitkový	5000 pF ± 20%	400 V	TC 153 5k	
50	slídový zalis.	1000 pF	500 V	TC 211 1k	
51	miniaturní	10 μF + 100—10%	30/35 V	TC 904 02 10M	
52	svitkový	25000 pF ± 20%	250 V	TC 152 25k	
61	svitkový	10000 pF ± 20%	250 V	TC 152 10k	
62	svitkový	2000 pF ± 20%	1000 V	TC 155 2k	
63	svitkový	25000 pF ± 20%	400 V	TC 153 25k	
65	miniaturní	100 μF + 100—10%	30/35 V	TC 904 G1	
66	svitkový	1600 pF ± 20%	1000 V	TC 155 1k6	
81	svitkový	0,1 μF ± 20%	160 V	TC 151 M1	
82	trubičkový	2500 pF + 50—20%	500 V	CCL 312	
83	slídový zalis.	1000 pF ± 10%	500 V	TC 211 1k/A	
84	keramický	3,2 pF ± 20%	600 V	TC 300 3J2	
101	svitkový	32000 pF ± 20%	600 V	TC 154 32k	
102	keramický	50 pF ± 13%	350 V	TC 740 50	
103	svitkový	1000 pF ± 20%	1600 V	TC 156 1k	

C	Kondensátory	Hodnota	Provozní napětí V	Obj. číslo	Poznámky
104	svitkový	1000 pF ± 20%	1600 V	TC 156 1k	
105	svitkový	1000 pF ± 20%	1600 V	TC 156 1k	
111	slídový	330 pF	500 V	TC 210 330	
112	svitkový	20000 pF ± 20%	250 V	TC 152 20k	
113	svitkový	0,25 μF ± 20%	400 V	TC 103 M25	
114	svitkový	20000 pF ± 20%	400 V	TC 153 20k	
115	svitkový	5000 pF ± 20%	400 V	TC 153 5k	
116	svitkový	16000 pF ± 20%	600 V	TC 154 16k	
117	miniaturní	100 μF + 100—10%	30/35 V	TC 904 G1	
118	elektrolytický	8 μF + 50—10%	250/385 V	TC 512 8M	
119	svitkový	0,1 μF ± 20%	160 V	TC 151 M1	
120	svitkový	5000 pF ± 20%	400 V	TC 153 5k	
130	keramický	20 pF ± 13%	250 V	TC 310 20	
131	keramický	32 pF ± 13%	350 V	TC 740 32	
132	svitkový	1600 pF ± 20%	1000 V	TC 155 1k6	
133	svitkový	50000 pF ± 20%	160 V	TC 151 50k	
134	svitkový	25000 pF ± 20%	250 V	TC 152 25k	
135	svitkový	0,25 μF ± 20%	160 V	TC 101 M25	
136	svitkový	0,25 μF ± 20%	400 V	TC 103 M25	
137	slídový zalis.	490 pF	500 V	TC 210 490	
138	svitkový	5000 pF ± 20%	400 V	TC 153 5k	
139	miniaturní	5 μF + 100—10%	12/15 V	TC 903 5M	
140	slídový zalis.	490 pF	500 V	TC 210 490	
141	svitkový	1600 pF ± 20%	1000 V	TC 155 1k6	
142	svitkový	50000 pF ± 20%	250 V	WK 719 01 50k	
143	styroflex	10000 pF ± 20%	250 V	TC 283 10k	
144	svitkový	0,1 μF ± 20%	600 V	TC 104 M1	
145	svitkový	0,1 μF ± 20%	400 V	TC 103 M1	
146	styroflex	10000 pF ± 20%	250 V	TC 283 10k	
147	svitkový	10000 pF ± 20%	400 V	WK 719 02 10k	
151	slídový	82 pF	1000 V	TC 211 82	
161	elektrolytický	2×64 μF + 20%	350/385 V	WK 705 19 2×64M	
162	elektrolytický	50 μF + 50—20%	350/385 V	TC 535 50M	
163	elektrolytický	2×64 μF ± 20%	350/385 V	WK 705 19 2×64M	
164	elektrolytický	2×64 μF ± 20%	350/385 V	WK 705 19 2×64M	
165	trubičkový	2500 pF + 50—20%	500 V	CCL 312	
166	trubičkový	2500 pF + 50—20%	500 V	CCL 312	
167	průchodkový	2500 pF + 50—20%	500 V	CCL 0 312	
168	průchodkový	2500 pF + 50—20%	500 V	CCL 0 312	
169	průchodkový	2500 pF + 50—20%	500 V	CCL 0 312	
170	trubičkový	2500 pF + 50—20%	500 V	CCL 312	
171	svitkový	0,1 μF ± 20%	1000 V	TC 105 M1	
172	svitkový	5000 pF ± 20%	1000 V	WK 719 04 5k	

R	Odpory	Hodnota	Zatížení	Obj. číslo	Poznámky
1	vrstvový	50000 Ω ± 13%	0,25 W	TR 101 50k	
2	vrstvový	20000 Ω ± 10%	0,25 W	TR 101 20k/A	
3	vrstvový	0,125 MΩ ± 10%	0,25 W	TR 101 M125/A	
4	vrstvový	0,1 MΩ ± 10%	0,25 W	TR 101 M1/A	
5	vrstvový	640 Ω ± 13%	0,25 W	TR 101 640	
6	vrstvový	0,2 MΩ ± 20%	0,1 W	TR 111 M2	
7	vrstvový	8000 Ω ± 10%	0,25 W	TR 101 8k/A	
8	vrstvový	50000 Ω ± 13%	0,5 W	TR 102 50k	
9	vrstvový	50 Ω ± 13%	0,25 W	TR 101 50	
10	vrstvový	20000 Ω ± 13%	0,25 W	TR 101 20k	
11	vrstvový	10000 Ω ± 13%	1 W	TR 103 10k	
12	vrstvový	1000 Ω ± 13%	1 W	TR 103 1k	
21	vrstvový	2500 Ω ± 10%	0,25 W	TR 101 2k5/A	
22	vrstvový	32 Ω ± 13%	0,25 W	TR 101 32	
23	vrstvový	125 Ω ± 13%	0,25 W	TR 101 125	
24	vrstvový	5000 Ω ± 13%	0,25 W	TR 101 5k	
25	vrstvový	1000 Ω ± 13%	0,5 W	TR 102 1k	
26	vrstvový	160 Ω ± 13%	0,25 W	TR 101 160	
27	vrstvový	1000 Ω ± 13%	0,5 W	TR 102 1k	
28	vrstvový	1600 Ω ± 13%	0,25 W	TR 101 1k6	
29	vrstvový	0,2 MΩ ± 13%	0,25 W	TR 101 M2	
30	vrstvový	3200 Ω ± 5%	0,25 W	TR 101 3k2/B	
31	vrstvový	5000 Ω ± 5%	0,25 W	TR 101 5k/B	
41	vrstvový	0,16 MΩ ± 13%	0,25 W	TR 101 M16	
42	vrstvový	0,32 MΩ ± 13%	0,5 W	TR 102 M32	
43	vrstvový	1000 Ω ± 13%	0,25 W	TR 101 1k	
44	vrstvový	50 Ω ± 13%	0,25 W	TR 101 50	
45	vrstvový	20000 Ω ± 10%	0,25 W	TR 101 20k/A	
46	vrstvový	12500 Ω ± 13%	0,25 W	TR 101 12k5	

R	Odpory	Hodnota	Zatížení	Obj. číslo	Poznámky
61	vrstvový	5 MΩ ± 13%	0,5 W	TR 102 5M	
62	vrstvový	0,2 MΩ ± 13%	0,5 W	TR 102 M2	
63	vrstvový	0,8 MΩ ± 13%	0,25 W	TR 101 M8	
64	vrstvový	3,2 MΩ ± 13%	0,25 W	TR 101 3M2	
65	vrstvový	50000 Ω ± 13%	0,25 W	TR 101 5k	
66	vrstvový	0,4 MΩ ± 13%	0,25 W	TR 101 M4	
67	drátový	200 Ω ± 13%	2 W	TR 503 200	
68	vrstvový	20000 Ω ± 13%	0,25 W	TR 101 20k	
81	vrstvový	1 MΩ ± 10%	0,25 W	TR 101 1M/A	
82	vrstvový	160 Ω ± 10%	0,25 W	TR 101 160/A	
83	vrstvový	6400 Ω ± 5%	1 W	TR 103 6k4/B	
84	vrstvový	64000 Ω ± 10%	0,25 W	TR 101 64k/A	
85	vrstvový	1600 Ω ± 13%	0,25 W	TR 101 1k6	
86	vrstvový	0,25 MΩ ± 13%	0,25 W	TR 101 M25	
101	vrstvový	20000 Ω ± 13%	0,25 W	TR 101 20k	
102	vrstvový	1 MΩ ± 13%	0,25 W	TR 101 1M	
103	vrstvový	1 MΩ ± 13%	0,5 W	TR 102 1M	
104	vrstvový	5000 Ω ± 13%	0,5 W	TR 102 5k	
105	vrstvový	20000 Ω ± 13%	2 W	TR 104 20k	
108	vrstvový	40000 Ω ± 13%	0,25 W	TR 101 40k	
109	vrstvový	5000 Ω ± 13%	0,5 W	TR 102 5k	
111	vrstvový	0,32 MΩ ± 13%	0,25 W	TR 101 M32	
112	vrstvový	0,32 MΩ ± 13%	0,25 W	TR 101 M32	
113	vrstvový	1000 Ω ± 13%	0,25 W	TR 101 1k	
114	vrstvový	0,1 MΩ ± 13%	0,5 W	TR 102 M1	
115	drátový	640 Ω ± 13%	2 W	TR 503 640	
116	vrstvový	10000 Ω ± 13%	1 W	TR 103 10k	
117	vrstvový	0,2 MΩ ± 13%	0,25 W	TR 101 M2	
118	vrstvový	1 MΩ ± 13%	0,25 W	TR 101 1M	
119	vrstvový	10000 Ω ± 13%	0,25 W	TR 101 10k	
131	vrstvový	0,5 MΩ ± 13%	0,25 W	TR 101 M5	
132	vrstvový	5000 Ω ± 13%	0,25 W	TR 101 5k	
133	vrstvový	1 MΩ ± 13%	0,25 W	TR 101 1M	
134	vrstvový	0,1 MΩ ± 13%	0,25 W	TR 101 M1	
135	vrstvový	0,5 MΩ ± 13%	0,25 W	TR 101 M5	
136	vrstvový	0,1 MΩ ± 13%	0,25 W	TR 101 M1	
137	vrstvový	0,32 MΩ ± 13%	0,25 W	TR 101 M32	
138	vrstvový	10000 Ω ± 13%	0,25 W	TR 101 10k	
139	vrstvový	0,1 MΩ ± 13%	0,25 W	TR 101 M1	
140	vrstvový	50000 Ω ± 13%	0,25 W	TR 101 50k	
141	vrstvový	0,25 MΩ ± 10%	0,25 W	TR 101 M25/A	
142	vrstvový	1000 Ω ± 13%	0,25 W	TR 101 1k	
143	drátový	6400 Ω ± 10%	2 W	TR 503 6k4/A	
145	vrstvový	10 MΩ ± 13%	0,5 W	TR 102 10M	
146	vrstvový	16000 Ω ± 10%	0,25 W	TR 101 16k/A	
147	vrstvový	0,1 MΩ ± 13%	0,25 W	TR 101 M1	
148	vrstvový	0,2 MΩ ± 13%	0,5 W	TR 102 M2	
151	vrstvový	3200 Ω ± 13%	0,25 W	TR 101 3k 2	
152	vrstvový	500 Ω ± 13%	0,25 W	TR 101 500	
153	vrstvový	500 Ω ± 13%	0,25 W	TR 101 500	
164	drátový	5 Ω ± 13%	2 W	TR 503 5	
165	drátový	1600 Ω ± 13%	4 W	TR 504 1k6	
166	drátový	640 Ω ± 13%	2 W	TR 503 640	
167	drátový	200 Ω ± 5%	25 W	TR 628 200/B	
168	drátový	125 Ω ± 13%	4 W	TR 504 125	
W1	tepelně závislý odpór 300 mA			TR 003 750	

P	Potenciometry	Hodnota	Zatížení	Obj. číslo	Poznámky
1	logaritmický	1 MΩ ± 20%	0,5 W	WN 695 17 1M/G	
2	lineární	0,22 MΩ ± 20%	0,5 W	WN 694 54 M22/N	
3	lineární	0,47 MΩ ± 20%	0,2 W	WN 790 25 M47/N	
4	lineární	47000 Ω ± 20%	0,5 W	WN 694 54 47k/N	
5	lineární	4 MΩ ± 30%	0,2 W	WN 790 26 4M/N	
6	lineární	0,22 MΩ ± 20%	0,2 W	WN 790 25 M22/N	
7	lineární	1 MΩ ± 20%	0,2 W	WN 790 26 1M/N	
8	lineární	0,22 MΩ ± 20%	0,2 W	WN 790 25 M22/N	
9	lineární	47000 Ω ± 20%	0,5 W	WN 694 54 47k/N	
10	lineární	0,22 MΩ ± 20%	0,5 W	WN 694 54 M22/N	
11	lineární	0,47 MΩ ± 20%	0,2 W	WN 790 25 M47/N	

	Transformátory – tlumivky	Obj. číslo	Poznámky
TR 1	Výstupní transformátor zvuku	3PN 676 08	
TR 2	Rázový generátor vertikální	3PN 666 07	
TR 3	Výstupní transformátor vertikální	3PN 673 07	
TR 4	Vn transformátor	3PN 676 09	
TL 1	Síťová tlumivka	3PN 650 03	

E	Elektronky, usměrňovač	Patice	Číselný znak
1	dvojitá trioda	noval	PCC 84
2	trioda – pentoda	noval	PCF 82
3	pentoda	noval	EF 80
4	pentoda	noval	EF 80
5	pentoda	noval	EF 80
6	trioda – pentoda	noval	PCF 82
7	dioda – duodioda – trioda	noval	PABC 80
8	koncová pentoda	noval	PL 82
9	trioda – pentoda	noval	PCF 82
10	koncová pentoda	noval	PL 82
11	dvojitá trioda	noval	ECC 82
12	koncová pentoda	noval	PL 81
13	dioda	noval	PY 83
14	vn dioda	noval	DY 86
15	obrazovka	duodekal	{ 351 QP 44 (4102U) 430 QP 44 (4103U)
D1	germaniová dioda		1NN 40
U1	selenový usměrňovač		40 VS 380

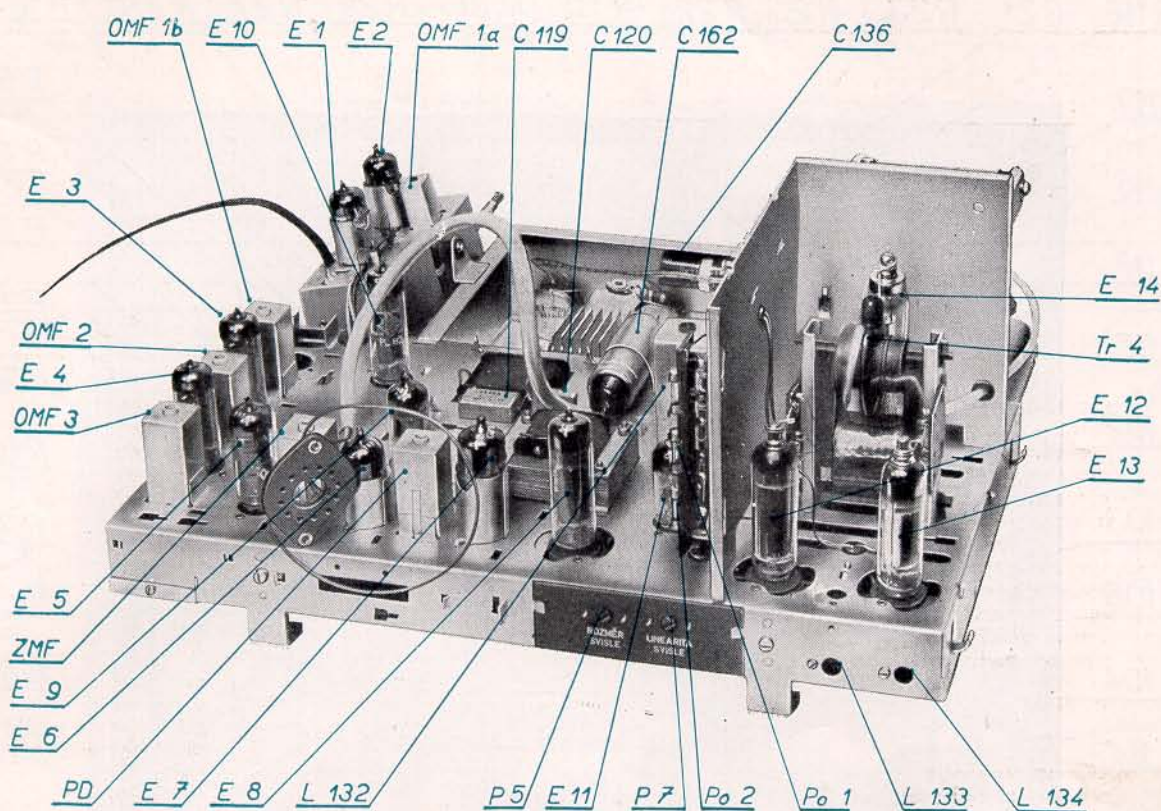
### 13 VŠEOBECNÉ POKYNY PRO VÝMĚNU DÍLŮ

- 13.1.1 Potřebné náhradní díly objednávejte výhradně podle údajů obsažených v seznamu náhradních dílů, předejdete tak zbytečným reklamacím.
- 13.1.2 Při výměně obrazovky, aby bylo zabráněno zranění, nemojí být v blízkosti opraváře žádné další osoby a opravář sám musí být oblečen ve vhodném pracovním obleku. Obličeji a oči musí mít chráněny zvláštními brýlemi, ochranným krytem nebo maskou z nerozbitného skla. Na rukou musí mít opravář gumové rukavice, které sahají až k předloktí, a kolem krku otočen silnější šátek. Po demontáži musí být obrazovka ihned uložena do příslušného ochranného obalu.
- 13.1.3 Při výměně, pro připojování jednotlivých dílů nebo spojů pájením, musí být používána pájka vhodného tvaru a s dostatečnou teplotou tak, aby nebyly jejím teplem poškozeny součásti v okolí pájeného místa. K pájení je dovoleno používat jen kyselin prostých pájecích prostředků (nejlépe kafafuny rozpuštěné v lihu).
- 13.1.4 Vyměněné díly vysokofrekvenční a mezifrekvenční části jak obrazu, tak i zvuku musí mít nejen elek-

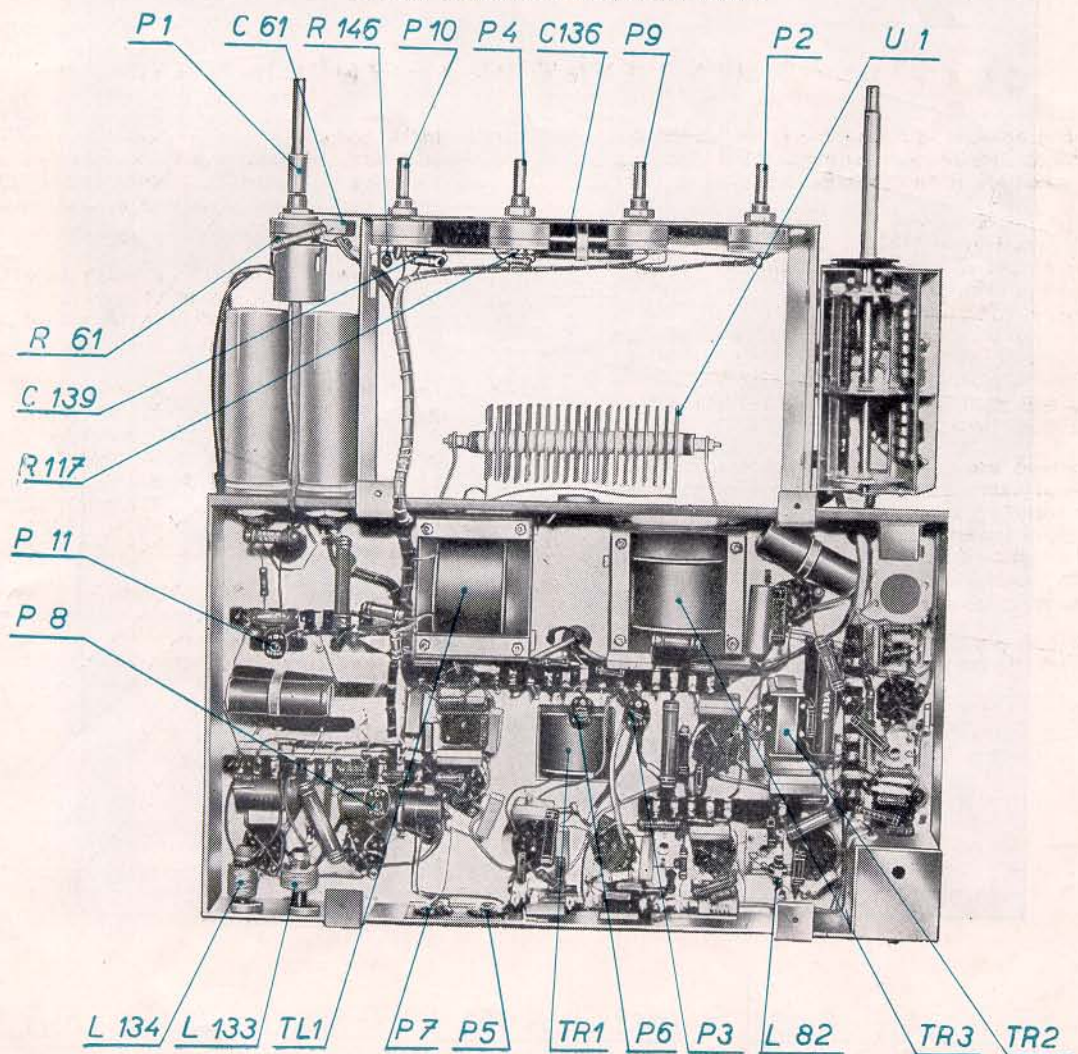
trické hodnoty, ale i mechanické rozměry stejné jako části původní, nemá-li dojít k podstatnému rozladění vyvážených obvodů. Rovněž odpájené spoje musí být po provedené montáži stejně uloženy jako původně.

- 13.1.5 Aby odpory a kondensátory nebyly poškozeny při pájení, musí být zachovány přívody nejméně 10 mm dlouhé a pájení prováděno rychle dostatečně teplocentru pájkou.
- 13.1.6 Germaniová dioda D 1 nesmí být rovněž při pájení tepelně ani elektricky namáhána. Přívody musí být proto ponechány dostatečně dlouhé a při pájení tepelně odlehčeny sevřením plochými kleštěmi mezi místem pájení a vlastní diodou. (Ohřátí diody nad 60° C znamená její zničení.) Pájení diod smí být prováděno výhradně dostatečně teplou pájkou odpojenou od napájecí sítě.
- 13.1.7 Šrouby a matice všech dílů mají být povolovány a utahovány vhodně zbrošenými šroubováky a příslušními klíči (ne kleštěmi) a po montáži, aby se neuvolnily, zajištěny zakapávacím lakem.

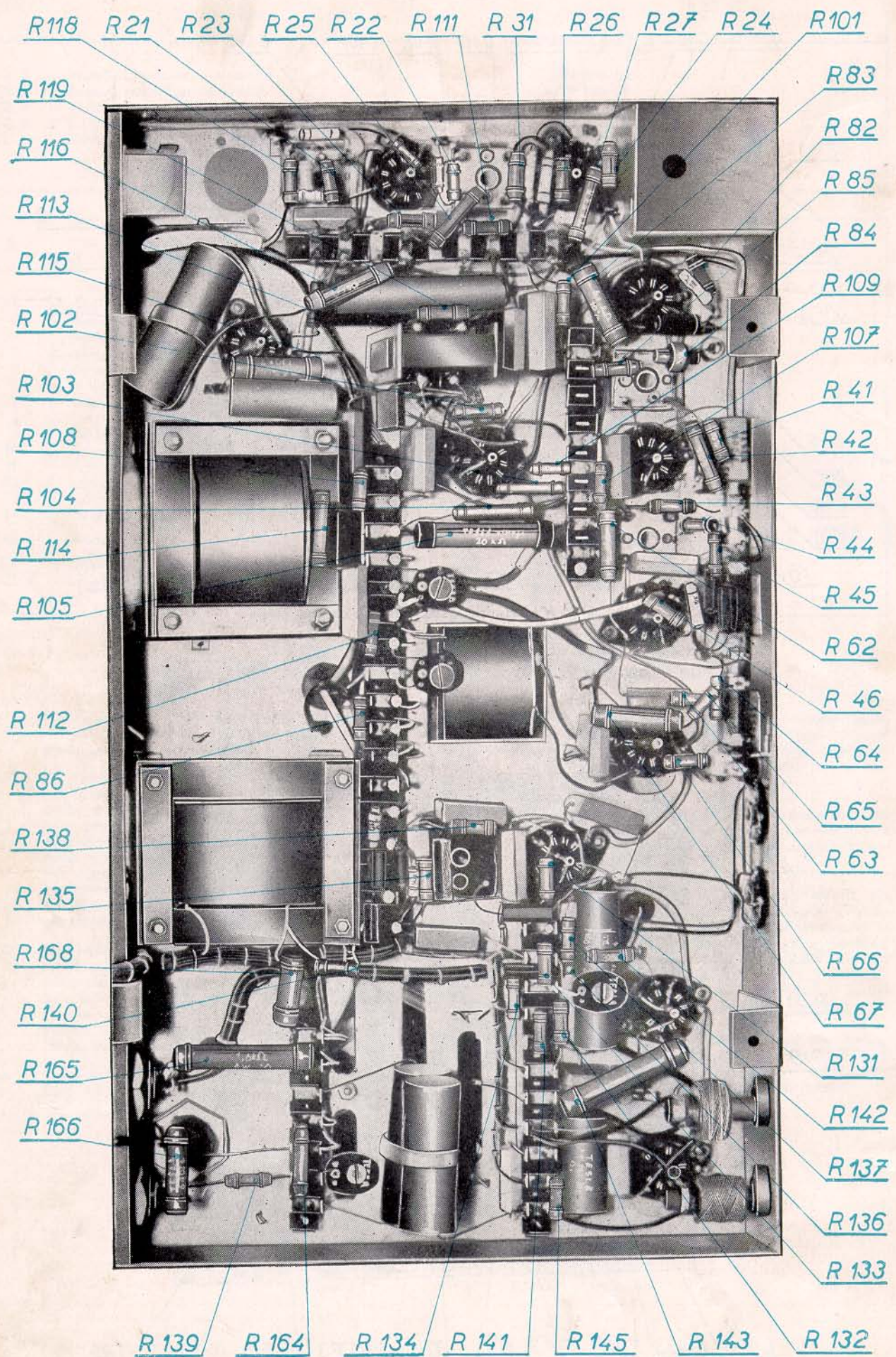
## 14 ROZMÍSTĚNÍ HLAVNÍCH DÍLŮ



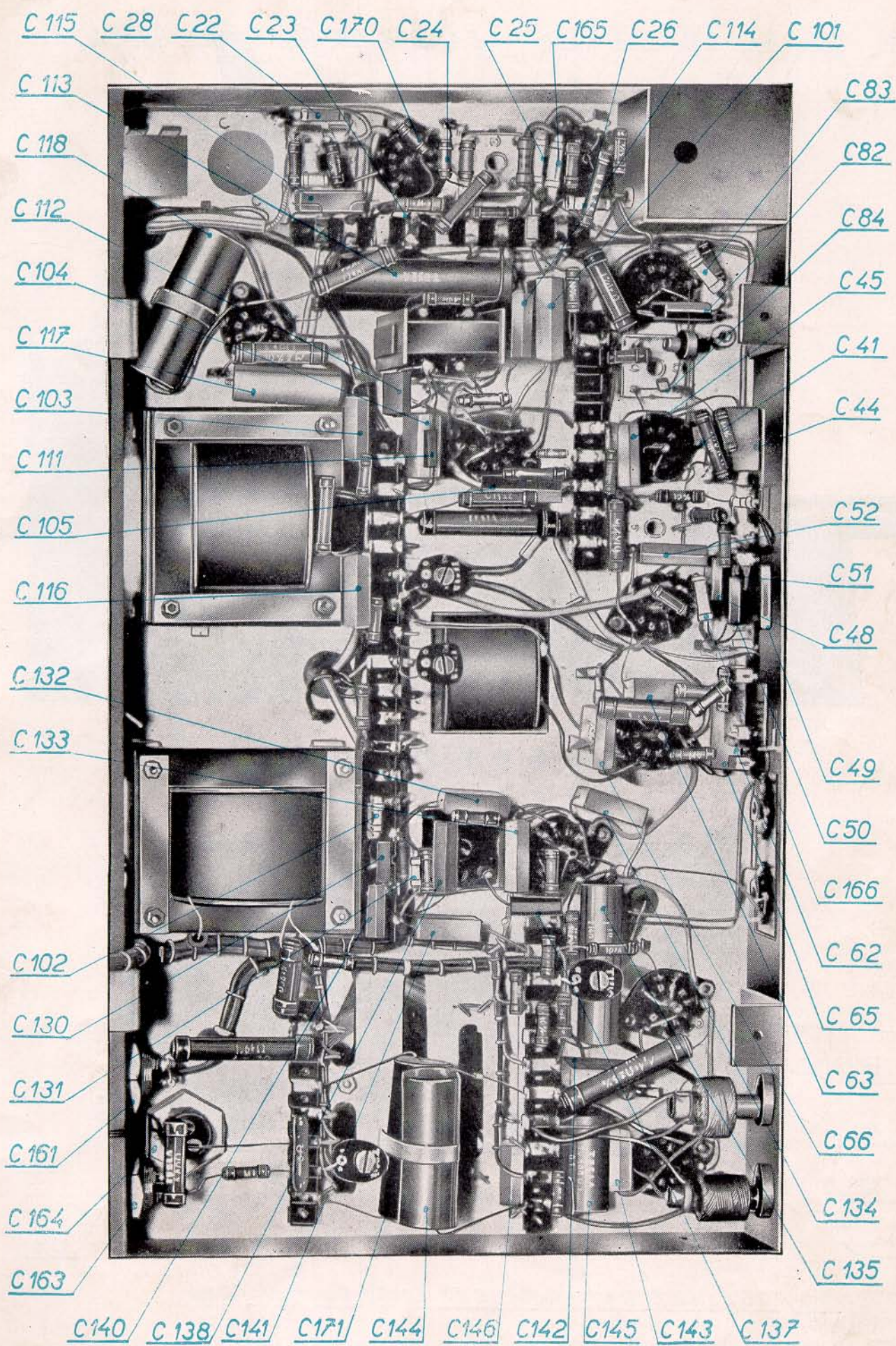
Obr. 63. Rozmístění součástek na chassis



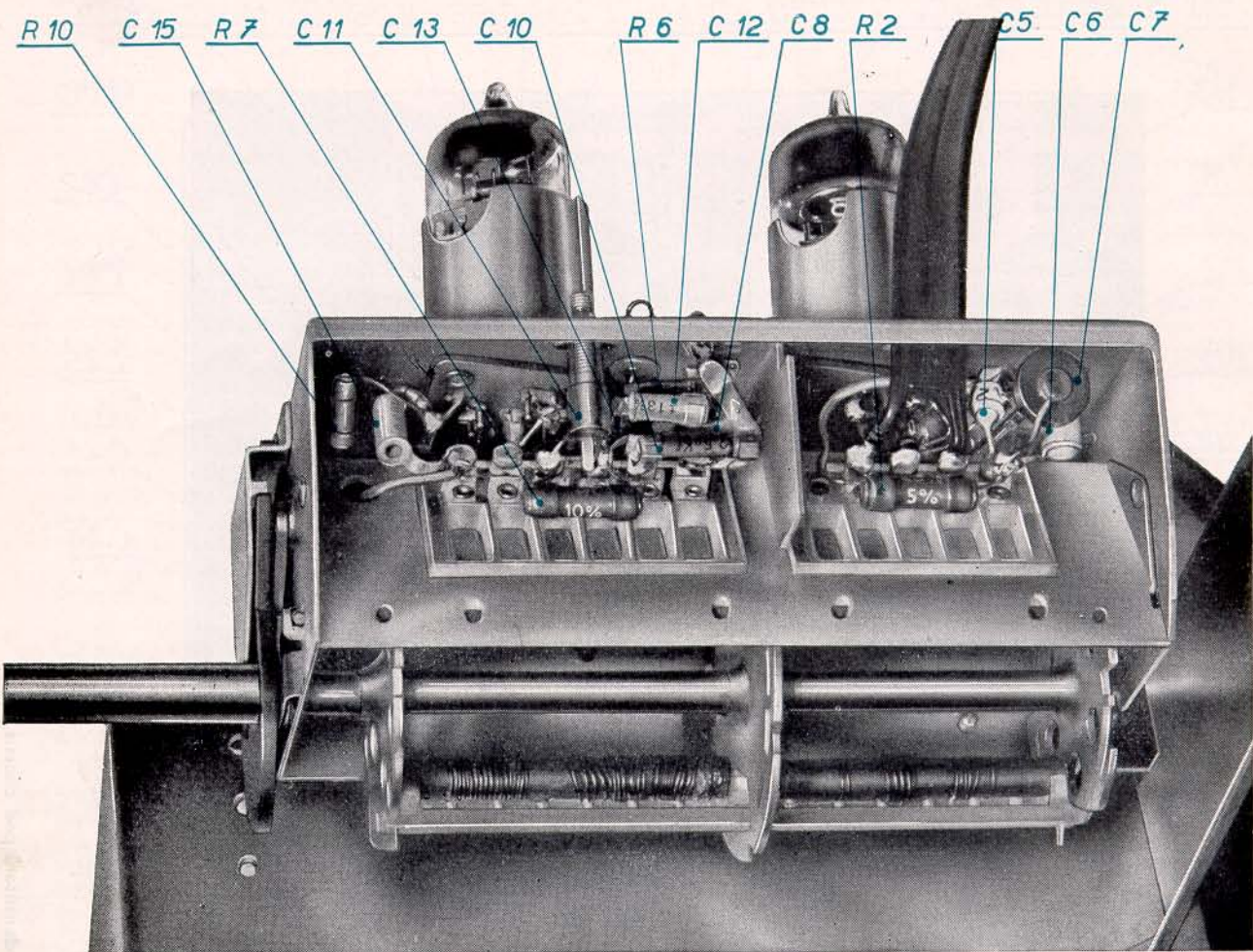
Obr. 64. Rozmístění součástek pod chassis



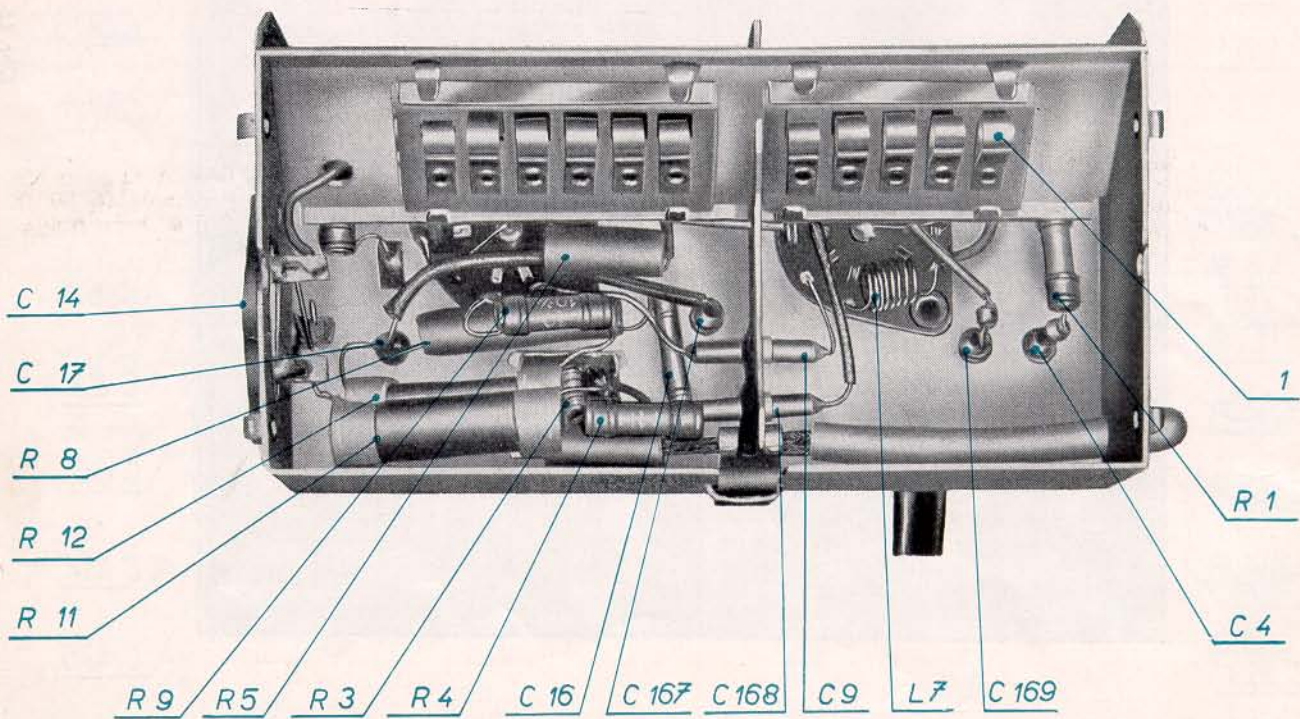
Obr. 65. Rozmístění odporu pod chassis



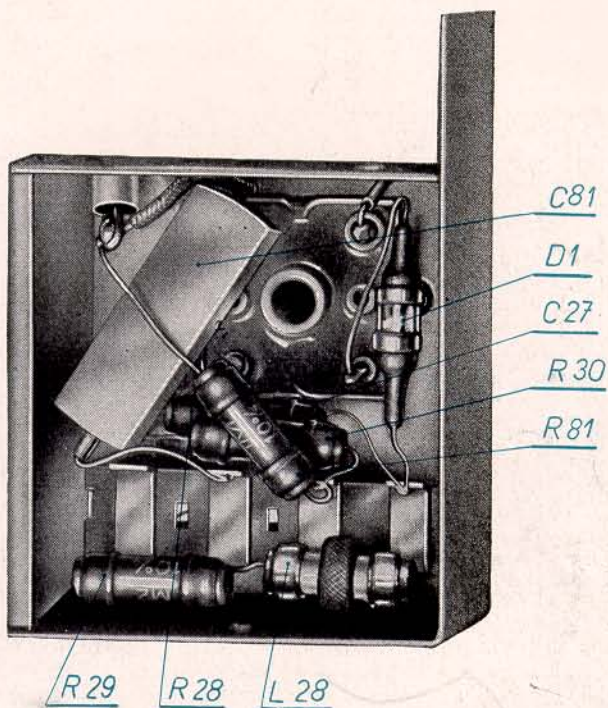
Obr. 66. Rozmístění kondenzátorů pod chassis



Obr. 67. Rozmístění součástek vf dílu (pohled z boku)



Obr. 68. Rozmístění součástek vf dílu (pohled zespodu)



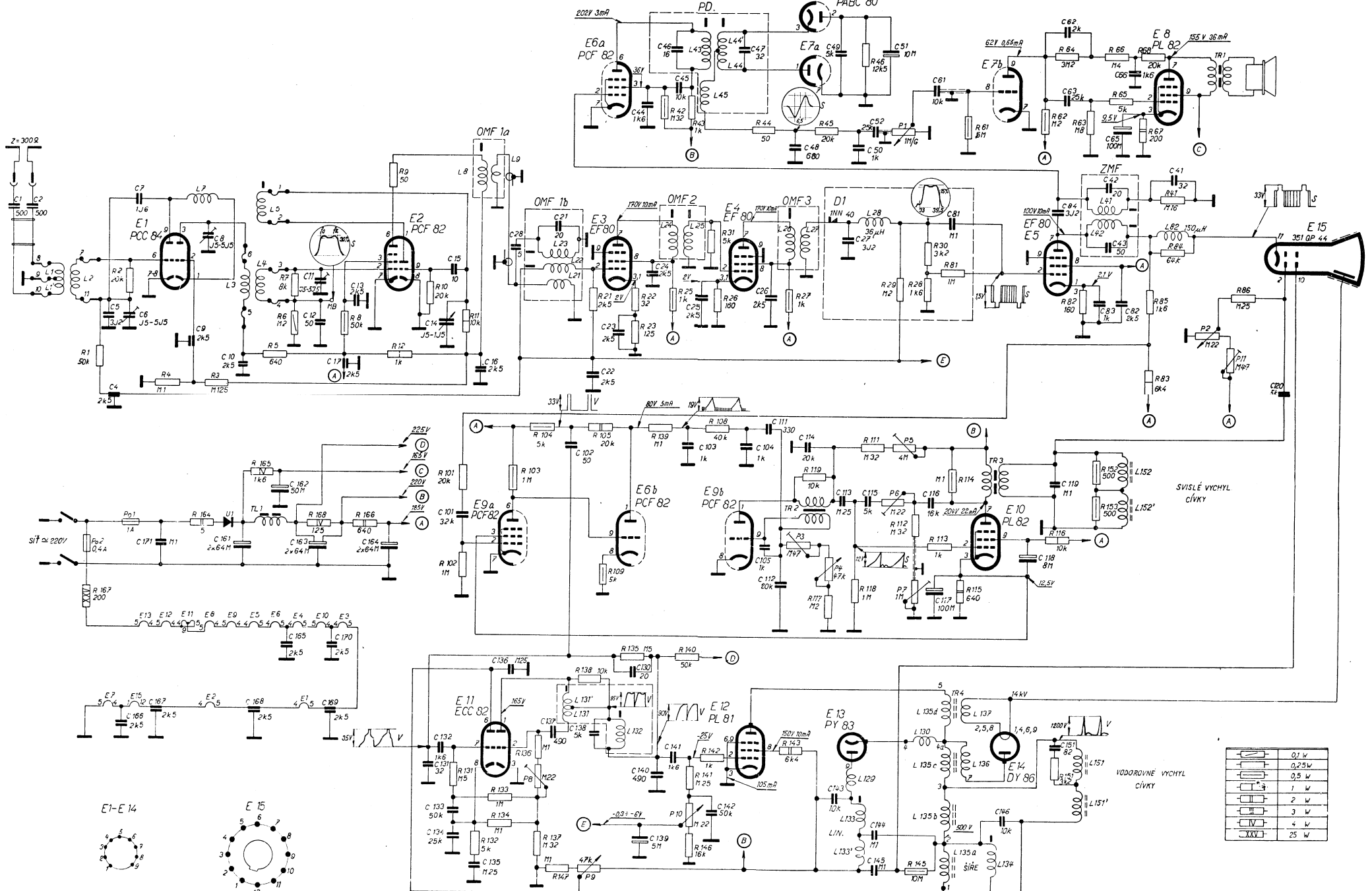
Obr. 69. Rozmístění součástí obrazového detektoru

## 15 ZÁVĚR

Pracovníci n. p. Tesla-Strašnice předkládají tento technický popis a návod k údržbě televizorů 4102 U a 4103 U oprávněným opravářům s přání, aby jim usnadnil jejich práci a v očekávání, že tím přispějí zejména k zkvalitnění opravářské služby.

Zkvalitnění se projevuje v poklesu závad a tím i ve spokojenosti majitelů televizorů tak, jak to žádá dobrá tradice televizorů i ostatních výrobků závodu.

R 1 2 4 3 5 7 8 9 10 11, 102 133, 104, 147, 21, 105, 22, 139, 42, 43, 141, 31, 146, 44, 27, 117, 46, 11, 20, 112, 28, 81, 61, 115, 62, 64, 63, 152, 66, 67, 68, 41, 88  
 C 5, 4, 7, 17, 9, 8, 10, 162, 163, 11, 13, 164, 132, 15, 133, 16, 136, 28, 21, 102, 28, 130, 131, 132, 134, 103, 136, 137, 138, 109, 23, 135, 25, 140, H2, 26, 108, 143, 119, 45, 118, 145, 30, 113, 114, 151, 116, 118, 152, 153, 65, 83, 84, 83  
 P, TR7L L1, L1P, L2, P2, P6, L7, L3, L5, L4, L8, L9, L23, L22, L21, L131, L131, L132, L24, L25, L43, L44, L44, L45, P63, L26, L27, P4, L133, L133, L28, P7, L135a, L135b, L135c, L135d, L134, L151, L152, L153, P2, P11



R { 1, 2, 4, 5, 7, 8, 9, 10, 11, 102, 133, 104, 109, 21, 105, 22, 107, 42, 43, 141, 31, 146, 147, 44, 27, 117, 46, 111, 29, 112, 28, 81, 61, 115, 62, 64, 63, 152, 66, 67, 41, 86  
 167, 5, 4, 7, 171, 9, 8, 10, 162, 163, 11, 13, 164, 132, 15, 133, 16, 106, 28, 21, 102, 23, 139, 103, 25, 160, 140, 142, 26, 108, 148, 24, 143, 119, 45, 118, 145, 30, 113, 114, 151, 116, 82, 153, 65, 85, 84, 83  
 C { 2, 166, 6, 104, 161, 168, 165, 169, 12, 170, 17, 172, 131, 14, 134, 101, 133, 137, 143, 24, 124, 145, 23, 139, 103, 46, 140, 142, 25, 104, 141, 111, 112, 114, 49, 113, 52, 50, 51, 144, 116, 61, 118, 119, 62, 83, 42, 65, 66, 41  
 P, TR, H, V1, L, Po { L1, L1', L2, Po2, Po1, L7, L3, L5, L4, L8, L9, L23, L28, L21, L131, L131', L152, L24, L25, L43, L44, L45, Po3, L26, L27, L133, L133', L28, Po6, P7, L135a, L135b, L135c, L135d, L134, L151, L152, L153, P2, P11

